

154207

**YILDIZ TEKNİK ÜNİVERSİTESİ  
FEN BİLİMLERİ ENSTİTÜSÜ**

**TAŞIT MOTORLARININ ÖZEL BEKLENTİLER  
DOĞRULTUSUNDA MODİFİKASYONU**

Mak. Müh. Metin DİNLER

154207

F.B.E Makina Mühendisliği Anabilim Dalı Enerji Makinaları Programında  
Hazırlanan

**YÜKSEK LİSANS TEZİ**

*Prof. İrfan YAVAŞLIOL*  
~~Tez Danışmanı~~

Tez Danışmanı : Prof. İrfan YAVAŞLIOL

*Prof. Dr. Hakan KALECİ*  
*H.K.*

**PROF. DR. H. DUTLUĞUL ARSLAN**

*Dej*

**İSTANBUL, 2004**

## **İÇİNDEKİLER**

	Sayfa
SİMGİ LİSTESİ .....	iv
ŞEKİL LİSTESİ .....	vi
ÇİZELGE LİSTESİ .....	viii
ÖNSÖZ.....	ix
ÖZET .....	x
ABSTRACT .....	xi
1. GİRİŞ .....	1
2. İÇTEN YANMALI MOTORLARIN TEMEL PARAMETRELERİ .....	3
2.1 Motorlarda Yakıt-Hava Karışımı.....	3
2.2 Karışım Karakteristikleri .....	4
2.3 Karışım Oranının Güç, Termik Verim Üzerine ve Egzos Emisyonlarına Etkisi....	5
2.4 Ateşleme Avansının Yakıt Tüketimine ve Egzos Emisyonlarına Etkisi .....	9
2.5 Motorda Vuruntu Olayı .....	13
3. MOTORLARDADA GÜÇ ARTTIRIMI.....	16
3.1 Motorda Gücü Etkileyen Parametreler .....	17
3.2 Strok Hacmi Sabit Kalması Koşuluyla Gücün Arttırılması.....	20
3.2.1 Sıkıştırma oranının artırılması .....	21
3.2.2 Motor hızının artırılması.....	21
3.2.3 Dolgu basıncının artırılması .....	21
3.2.3.1 Aşırı doldurmada kullanılan kompresörler:.....	22
3.2.3.1.1 Pistonlu tip kompresörler.....	22
3.2.3.1.2 Deplasmanlı kompresörler.....	23
3.2.3.1.3 Santrifüj kompresörler.....	24
3.2.3.2 Aşırı doldurma sınırları .....	25
3.2.3.3 Aşırı doldurma yöntemleri.....	26
3.2.3.3.1 Enerjisi dış kaynaktan sağlanan aşırı doldurma.....	26
3.2.3.3.2 Mekanik aşırı doldurma.....	26
3.2.3.3.3 Turboşarj.....	29
3.2.3.3.3.1 Turboşarj sisteminin termodinamik çevrimi.....	32
3.2.3.3.3.2 Turboşarj sisteminde vuruntunun engellenmesi.....	34
3.2.4 Volumetrik verimin artırılması.....	36
3.2.4.1 Süpab zamanlaması konusunda konstruktif uygulamalar.....	40
3.2.4.1.1 Kam mili açısının değiştirilmesi .....	41
3.2.4.1.2 Kam mili profili kontrolü .....	44
3.2.4.2 Volumetrik verimin hesaplanması.....	47
3.2.4.2.1 Kam mili profilinin belirlenmesi .....	48

3.2.4.2.2	Süpap serbest kesit alanının değişim .....	50
3.2.4.2.3	Süpap akış katsayısının değişimi .....	51
3.2.4.2.4	Silindir içi basıncının hesaplaması .....	52
3.2.4.2.5	Silindir hacmi ve değişim fonksiyonu .....	59
3.2.4.2.6	Elde edilen diferansiyel denklemlerin integrasyon yöntemiyle çözümü .....	60
3.2.4.2.7	Basınç değişiminin bilgisayarda hesaplanması .....	62
3.2.4.2.8	Volumetrik verimin Visual Basic programlama dili ile hesaplanması .....	65
3.2.4.2.8.1	Program ara yüzü ve programın kullanım özellikleri .....	65
3.2.4.2.8.2	Programın yazılımı .....	68
3.2.4.2.8.3	Yazılan program ile elde edilen sonuçlar .....	78
4.	SONUÇ .....	87
	KAYNAKLAR .....	96
	ÖZGEÇMİŞ .....	97

## SİMGE LİSTESİ

$\alpha$	kam milinin takip açısı
$\beta_{\text{sınır}}$	Kam mili sınır açısı.
$\beta$	Hız kayıp katsayısı
$\gamma$	Akışkanın yoğunluğu
$\Delta p_a$	Emmedeki basınç kaybı (MPa)
$\Delta T$	Taze dolgunun emme kanalından geçtiği sıradaki sıcaklık artışı
$\varepsilon$	Sıkıştırma oranı
$\eta_{ad}$	Adyabatik verimi
$\eta_m$	Mekanik verim
$\eta_t$	Türbin verimi
$\eta_{ts}$	Turbokompresör toplam verimi
$\theta$	Krank mili açısı (KMA°)
$\lambda$	Hava fazlalık katsayısı
$\lambda_b$	krank yan çapı, biyel boyu oranı
$\mu$	Süpap akış katsayısı
$\xi_{in}$	Kesit daralma katsayısı
$\rho_o$	Taze dolgunun özgül kütlesi ( $\text{kg}/\text{m}^3$ )
$\tau$	Motorun iki yada dört stroklu olmasına bağlı bir katsayı.
$\varphi$	Kam profili açısı
$\varphi_{ad}$	Süpapi açılma avansı
$\varphi_{ch}$	Doldurma katsayısı
$\varphi_{re}$	Süpap kapanma gecikmesi
$\varphi_r$	Basınç kayıp katsayısı
$\omega_{in}$	Emme manifoldundaki hava hızı
$A$	Mekanik işin ısıl eşdeğeri
$A_N$	Emme manifoldundaki hava hızını devrin fonksiyonu haline getiren katsayı
$B$	Silindir çapı
$C$	Akışkanın hızı
$C_p$	Sabit basınçdaki gazların özgül ısınma ısısı
$C_v$	Sabit hacimdeki gazların özgül ısınma ısısı
$D$	Süpap alt yüzeyi çapı (emme kanalı çapı)
$D_s$	Süpap sapı çapı
$F$	Serbest kesit alanı
$G$	Akışkan debisi
$g$	Yerçekimi ivmesi
$G_a$	Egzos süpabından geçen gazın ağırlığı
$G_h$	Hava kütlesi
$G_s$	Emme süpazından geçen gazın ağırlığı
$G_y$	Yakıt kütlesi
$G_z$	Silindir içindeki gazın ağırlığı
$h_{\max}$	Kam profili yüksekliği
$k$	Adyabatik üst
$k_l$	Egzos gazlarının adyabat üssü
$L_b$	Biyel boyu
$L$	Süpap stroku
$m_g$	Türbinden geçen egzos gazı miktarı
$m_h$	Hava debisi
$n$	Devir sayısı

$n_1$	Sıkıştırmada politropik üst katsayısı
$n_2$	Genişlemede politropik üst katsayısı
$N_e$	Efektif güç
$N_k$	Kompresörün tahrik gücü
$N_t$	Türbinin ürettiği güç
$P$	Akışkanın basıncı
$P_0$	Atmosfer basıncı
$P_a$	Emme sonu basıncı
$p_c$	Sıkıştırma sonu basıncı
$p_e$	Efektif basınç
$p_i$	Ortalama indike basınç
$p_i'$	Teorik ortalama indike basınç
$p_m$	Mekanik kayıplardan oluşan basınç düşüşü
$P_o$	Türbin çıkışındaki basınç
$P_r$	Egsoz sonu basıncı
$P_t$	Türbin girişindeki basınç
$P_z$	Silindir içindeki gazın basıncı
$p_z$	Yanma sonu teorik basıncı
$r_0$	Kam mili çapı
$r_2$	profil uç yarı çapı
$S$	Strok
$S_s$	Süpap oturma yüzeyi genişliği
$T_0$	Ortamda hava sıcaklığı
$T_1$	Emme kanalından geçen gazın sıcaklığı
$T_2$	Egsoz kanalından geçen gazın sıcaklığı
$T_t$	Türbin girişindeki sıcaklık
$T_z$	Silindir içindeki gazın sıcaklığı
$U$	Akışkanın iç enerjisi
$v_{pm}$	Ortalama piston hızı
$V_h$	Strok hacmi
$v_z$	Silindir içerisindeki gazın özgül hacmi
$V_O$	Kompresyon hacimi
$V_z$	Silindir hacmi
$W_{ad}$	Adyabatik sıkıştırma işi
$W_k$	Sıkıştırma için gerçekte harcanan iş
$W_{te}$	Türbin efektif işi
$x_p$	Piston yolu
$z$	Referans düzlemden yükseklik

## **ŞEKİL LİSTESİ**

Sayfa	
Şekil 2.1 Yüke bağlı karışım karakteristiklerinin değişimi (Yavaşlıol,1988) .....	5
Şekil 2.2 Fren gücünə bağlı belirli bir devirde özgül yakıt harcamının değişimi (Yavaşlıol,1988) .....	6
Şekil 2.3 Karışım oranı değişiminin kısmi yükte ve tam yükte termik verime ve güçе etkisi (Yavaşlıol,1988) .....	6
Şekil 2.4 Hava fazlalık katsayısunın güç ve verime etkisi (Robert Bosch GmbH,1995).....	8
Şekil 2.5 Hava fazlalık katsayısunın egzos emisyonlarına etkisi (Robert Bosch GmbH,1995)..	8
Şekil 2.6 Motor hızına veya maksimum emilen hava yüzdesine bağlı karışım oranı değişimi (Yavaşlıol,1988) .....	9
Şekil 2.7 Değişik ateşleme avanslarının yanma sonunda oluşan silindir basıncına etkisi (Robert Bosch GmbH,1995).....	10
Şekil 2.8 Ateşleme avansının ve hava fazlalık katsayısunın özgül yakıt harcamına etkisi (Robert Bosch GmbH,1995).....	11
Şekil 2.9 Ateşleme avansının ve hava fazlalık katsayısunın HC emisyonuna etkisi (Robert Bosch GmbH,1995) .....	11
Şekil 2.10 Ateşleme avansının ve hava fazlalık katsayısunın NO <sub>x</sub> emisyonuna etkisi (Robert Bosch GmbH,1995) .....	12
Şekil 2.11 Ateşleme avansının ve hava fazlalık katsayısunın CO emisyonuna etkisi (Robert Bosch GmbH,1995) .....	12
Şekil 2.12 Detonasyon sensörü (Robert Bosch GmbH,1995) .....	14
Şekil 2.13 Detonasyon sensörü sinyali (Robert Bosch GmbH,1995) .....	14
Şekil 2.14 Detonasyon sensörlerin motor üzerindeki konumları (Robert Bosch GmbH,1995) .....	15
Şekil 3.1 Pistonlu kompresör (Yavaşlıol,1988) .....	23
Şekil 3.2 Sarkaçlı kompresör (Yavaşlıol,1988) .....	23
Şekil 3.3 Roots tipi kompresör (Yavaşlıol,1988) .....	24
Şekil 3.4 Vidalı tip kompresör (Yavaşlıol,1988) .....	24
Şekil 3.5 Paletli tip kompresör (Yavaşlıol,1988) .....	24
Şekil 3.6 Santrifüj kompresör (Yavaşlıol,1988) .....	25
Şekil 3.7 Roots kompresörlü mekanik aşırı doldurma (Yavaşlıol,1988) .....	26
Şekil 3.8 Santrifüj kompresörlü mekanik aşırı doldurma (Yavaşlıol,1988) .....	27
Şekil 3.9 Turboşarj yöntemiyle aşırı doldurma prensibi (Yavaşlıol,1988) .....	29
Şekil 3.10 Aksial türbin ve radyal kompresörlü turboşarj ünitesi [7] .....	30
Şekil 3.11 Radyal türbin ve radyal kompresörlü turboşarj ünitesi [7] .....	30
Şekil 3.12 Radyal turboşarj grubu [7] .....	31
Şekil 3.13 Aşırı doldurma basıncı ve türbin giriş basınçlarının aynı olmaları halinde P-V diagramı (Yavaşlıol,1988) .....	32
Şekil 3.14 Ara soğutmalı aşırı doldurma sistemleri (Yavaşlıol,1988) .....	34
Şekil 3.15 Kompresör çıkış basınç kontrolu (Robert Bosch GmbH,1995) .....	35
Şekil 3.16 Emme kanalı uzunluğuna ve kanal / silindir çapına göre volumetrik verimin değişimi (Gülen,1981) .....	38
Şekil 3.17 Strok/çap oranı ve emme kanlı boyunun volumetrik verim üzerindeki etkisi (Gülen,1981) .....	39
Şekil 3.18 Krank mili açısına bağlı olarak süpab stroku (Robert Bosch GmbH,1995).....	41
Şekil 3.19 Fiat Bravo 2.0 20V motorunun performans grafiği (Tofaş Oto Ticaret A.Ş.,1998) .....	42
Şekil 3.20 Emme kam mili değiştiricisi sistem elemanları (Tofaş Oto Ticaret A.Ş.,1998) .....	43
Şekil 3.21 Emme kam mili zamanlama değiştiricisi (Tofaş Oto Ticaret A.Ş.,1998) .....	44
Şekil 3.22 Krank açısına göre değişken profilli kam miliyle süpab kalkışları (1) Minumum kalkış durumu (2) Maksimum kalkış durumu (Robert Bosch GmbH,1995) .....	45

Şekil 3.23 Hidrolik hareketli, değişken profilli kam milli süpab sistemi (a: Düşük devirde minimum kalkış durumu, b: Yüksek devirlerde maksimum kalkış durumu ) (Robert Bosch GmbH,1995).....	45
Şekil 3.24 Honda DOHC VTEC 1.6 lt motorunun performans eğrisi [3] .....	46
Şekil 3.25 Tanjansiyel kam profili .....	49
Şekil 3.26 Süpap kalkışına bağlı olarak, süpap serbest kesitinin değişimi.....	50
Şekil 3.27 Akiş katsayısının süpap kalkışı / kanal yarı çapın oranına göre değişimi (Gülen,1981).....	52
Şekil 3.28 Akiş serbest kesit alanının değişimi .....	52
Şekil 3.29 Silindir hacminin değişimi .....	59
Şekil 3.30 Volumetrik verim Hesabı Programı arayüzü .....	65
Şekil 3.31 Süpap mekanizması ve külbütor oranı (Kolchin ve Demidov,1984) .....	66
Şekil 3.32 F4R 730 motorunun KMA'na göre süpap kalkışları.....	79
Şekil 3.33 F4R 730 motorunun P-V diagramı (kam mili düşük devir pozisyonunda).....	79
Şekil 3.34 F4R 730 motorunun P-V diagramı (kam mili yüksek devir pozisyonunda) .....	80
Şekil 3.35 F4R 730 motorunun P-V diagramı (Colombo&Bariani marka, 280°lik yarış tipi eksantrik ile) .....	80
Şekil 3.36 F4R düşük devir pozisyonu; Emme : 9 / 49 ( 238° ), Egsoz : 41 / 8 (228°).....	81
Şekil 3.37 F4R yüksek devir pozisyonu; Emme : -7 / 65 ( 238° ), Egsoz : 41 / 8 (228°) .....	81
Şekil 3.38 F4R için yarış tipi eksantrik; Emme : 17 / 85 ( 282° ), Egsoz : 68/ 32 (280°).....	81
Şekil 3.39 Değişik Emme süpabı zamanlaması ile F4R 730 motorunun volumetrik verimi ...	82
Şekil 3.40 K4M 760 motorunun KMA'na göre süpap kalkışları .....	84
Şekil 3.41 K4M 760 motorunun P-V diagramı (kam mili düşük devir pozisyonunda) .....	84
Şekil 3.42 K4M 760 motorunun P-V diagramı (kam mili yüksek devir pozisyonunda) .....	85
Şekil 3.45 Değişik Emme süpabı zamanlaması ile K4M 760 motorunun volumetrik verimi..	86
Şekil 4.1 Superchip firmasının geliştiği enjeksiyon beyni yazılımın etkileri [6] .....	94
Şekil 4.2 Renault Clio Super 1600'un motor bölmesi [5] .....	95

## **ÇİZELGE LİSTESİ**

	Sayfa
Çizelge 3.1 Renault F4R 730 indisli $1998 \text{ cm}^3$ hacimli motorun özellikleri.....	78
Çizelge 3.2 Renault K4M 760 indisli $1598 \text{ cm}^3$ hacimli motorun özellikleri .....	83
Çizelge 4.1 Renault F4R motoru için üretilmiş Kent marka kam milleri özellikleri [2].....	93

## ÖNSÖZ

Motorlar üzerinde yapılan çalışmalar, günümüzde ekonomi ve yüksek güç üzerinde yoğunlaşmaktadır. Otomotiv üreticileri, müşterilerine ekonomik aynı zamanda güçlü motorlara sahip arabalar sunmaya çalışmaktadır. Hem ekonomik hem güçlü motor üretmenin tek yolu verimi yükseltmektir.

Motor sporlarına ilgi gün geçtikçe artmaktadır. Bütçesi çok da yüksek olmayan yarış takımları kurulmakta, yarışlara bir çok bireysel katılım olmaktadır. Bu araçların motorlarında değişiklikler yapılarak daha fazla güç elde edilmeye çalışılmaktadır. Yarış ortamında yakıt ekonomisinden çok elde edilen güç önem kazanmaktadır. Burada esas konu litre başına elde edilen güçdür.

Güçün arttırılması konusu; motor devrinin, sıkıştırma oranının, dolgu basincının ve volumetrik verimin yükseltilmesi başlıklarını altında incelenmelidir.

Bu çalışmam sırasında bana yardımcı olan değerli hocam Sayın Prof. İrfan Yavaşlıol'a ve Renault MAİS çalışma arkadaşlarımı, benden desketlerini eksik etmeyen aileme teşekkür ederim.

## ÖZET

Bir motorun bazı elemanlarını ve temel sistemlerin tasarımlarını değiştirerek farklı beklenilere cevap verecek hale getirilmesi için yapılan uygulamalar modifikasyon başlığı altında toplanabilir. Modifikasyon yönünden güç artışı temel bekleni olarak seçilmiştir.

Bir motorun performansı yakıt ekonomisi ve elde edilen güç ile belirlenir. Ancak yarış ortamında motor gücü ön planda olup yakıt ekonomisinin pek de önemi kalmamaktadır. Bu amaca dayalı motorlarda esas kriter motor birim hacmi başına elde edilen güç fazlalığıdır. Motor hacmi ve ağırlığı sabit kalmak koşulu ile gücün arttırmanın yolu, silindirde daha fazla enerjinin aşağı çıkarılması diğer bir deyişle daha fazla yakıtın yakılabilmesidir.

Bu çalışmada öncelikle motor gücünü etkileyen dizayn kriterleri ve gücün belirleyen temel parametreler ayrı ayrı irdeleinip, değerlendirilmiştir. Gücün artırılması konusu; motor devrinin, sıkıştırma oranının, dolgu basıncının ve volumetrik verimin yükseltilmesi olmak üzere dört ayrı başlık altında incelenmiş ve değerlendirilmeleri yapılmıştır. Motor hızının ve sıkıştırma oranının artırılmasının motoru nasıl etkileyeceği, sınırları ve alınması gereken önlemler açıklanmıştır. Dolgu basıncının artırılması konusunun prensipleri anlatılmış, kullanılan kompresörlere ve aşırı doldurma yöntemlerine örnekler verilmiştir. Bu yöntemler arasında en yaygın olarak kullanılan turboşarj yöntemi termodinamik esaslar altında incelenmiş ve vuruntunun engellenmesi konusunda alınması gereken önlemler açıklanmıştır. Bu dört başlık arasında en çok öne çıkan volumetrik verimin artırılmasıdır. Motor üzerinde yapılan araştırmaların en yaygın konularından birisi de dolgu değişiminin incelenmesidir. Dolgu değişiminin iyileştirilmesi konusunda günümüzde uygulanan yöntemler tanıtılmıştır. Volumetrik verimin hesaplanması için geometrik ve termodinamik yöntemler kullanılmıştır. Dolgu değişimin etkileyen tüm parametreler ortaya çıkarılmış ve hesaplama yöntemleri açıklanmıştır. Bu hesaplamaları yapabilmek için bir bilgisayar programı geliştirilmiştir. Program kullanılarak, iki ayrı motorun volumetrik verimlerindeki değişim, farklı süpap zamanlamaları ile incelenmiş ve alınan sonuçlar değerlendirilmiştir.

**Anahtar kelimeler :** Modifikasyon, güç artışı, dolgu değişimi, aşırı doldurma, volumetrik verim.

## **ABSTRACT**

The applications by changing some of the elements and the designs of the main systems of engine to meet the different needs are called as "modification". The increase of power has been chosen as the basic expectation.

The values of the performance of an engine may be determined by the fuel economy and the power that is achieved. But for the race engines the priority is given to the power and the fuel economy is insignificant. In these kind of engines, the principle is the power increase obtained per a unit volume of the engine. In the condition that the stroke volume and the weight of the machine is constant, the way of increasing the power of the engine is to carry out more energy in the cylinder, in other words to ignite more fuel.

In this study, the design critics which effect to the engine power and the main parameters which determine the power are separately examined and evaluated. This is examined and evaluated under four main headlines which are: increasing the engine speed, the compression value, the pressure of the filling and the volumetric efficiency. The effects of speed increase of the engine and the compression ratio to the engine, the precautions and the limits are explained. The principles for increasing the pressure of the filling are explained and examples are given for the compressor and for the methods of supercharging which are being used. The most well known method "turbocharge" is examined under the thermodynamic bases and the precautions are explained to prevent the knocking. In these four headlines the most important is the "increasing the volumetric efficiency". The most common subject of the researches on the engine is "examining the gas-exchange". The methods that are being used to improve the gas-exchange are explained. Geometric and thermodynamic methods are used to calculate the volumetric efficiency. All the parameters that effect the gas-exchange are exposed and the calculation methods are explained. For these calculations a computer program is developed. With this program, the variation of the volumetric efficiency of two engines using the different valve timings has been examined and the outputs have been evaluated.

**Keywords :** Modification, power increase, gas-exchange, supercharge, volumetric efficiency.

## 1. GİRİŞ

İçten yanmalı motorların taşıtlar üzerinde kullanılmaya başladığı yıllarda üreticilerin hedefi hep daha fazla güç üreten motorlar olmuştur. Günümüzde ise yüksek güç elde etmenin yanında çevre kirlilik normlarına uygun, yoğun kullanılan devirlerde ekonomik motor arayışına gidilmektedir. Araçlar günümüzde çoğunlukla şehir içlerinde, sıkışık trafik koşullarında kullanılmaktadır. Bu nedenle aracın ekonomik ve çevreyi mümkün olduğunca az kirletmesi gerekmektedir. Otomotiv üreticileri, müşterilerine ekonomik aynı zamanda güçlü motorlara sahip taşıtlar sunmaya çalışmaktadır. Hem ekonomik hem güçlü motor üretmenin tek yolu verimi yükseltmektir. Üreticiler çevre kirlilik normlarına uymak adına silindir hacmi başına elde edilebilecek maksimum güçten ödün vermek durumunda kalmaktadırlar.

Bir motorun bazı elemanlarını veya çalışma parametrelerini değiştirmek farklı beklenilere cevap verecek hale getirilmesi için yapılan uygulamalar modifikasyon başlığı altında toplanabilir. Bu bekleniler, genelde güç artışı ile ilgilidir.

Motor sporlarına ilgi gün geçtikçe artmaktadır. Bütcesi çok da yüksek olmayan yarış takımları kurulmakta, yarışlara bir çok bireysel katılım olmaktadır. Bu araçların motorlarında değişiklikler yapılarak daha fazla güç elde edilmeye çalışılmaktadır. Yarış ortamında yakıt ekonomisinden çok, elde edilen güç önem kazanmaktadır. Burada esas konu litre başına elde edilen güçdür. Standart motorların ekonomik adına kısıtlanmış potansiyelleri, yapılan değişiklikler ile ortaya çıkartılmaya çalışılmaktadır. Yarışlarda araç sınıfları motor hacmine göre değiştiğinden yapılan işlemlerin motor hacmini değiştirmemesi amaçlanır. Aşırı doldurma uygulamalı araçların sınıfı, motor hacmi belli katsayılarla çarpılarak belirlenir. Birinci aşırı doldurmada motor hacmi 1.7 ile ikinci aşırı doldurmada ise 1.3 ile çarpılır. Bunun anlamı; 2 lt motor hacmine sahip bir araca aşırı doldurma uygulaması yapıldığında 3.4 lt motor hacmine sahip atmosferik bir motora sahip bir araçla aynı sınıfda olmasıdır. Bu nedenle standardında aşırı doldurma olmayan bir motor modifiye edilirken, yapılan uygulamalar arasında aşırı doldurma en son sıradadır. Ancak standardında turbo olan motorlarda, turbo basıncı yükseltilerek veya daha yüksek kapasiteli turbo kullanılarak aracın sınıfının değişmeden daha fazla güç elde etme yoluna gidilmektedir.

Motor üzerinde yapılan ilk işlem genelde motora hava girişinin rahatlatılması yönünde olur. Geçtiğimiz on yıl içinde hava filtresi üreticileri hava filtreleri, direkt emiş kitleri üretip, motor sporlarına yeni ürünler geliştirmiştir. Standart hava filtreleri bir kutu içerisinde, boru ile motora bağlı bir şekilde bulunur. Önden aldığı taze havayı, içindeki tozları tutarak, motora

gönderir. Motorun performansı, aldığı hava miktarı ile doğru orantılı olduğundan hava filtresinin geçirgenliği çok önemlidir. Performansa yönelik hava filtreleri standart hava filtrelerine göre çok daha geçirgendir. Buna rağmen en az standart hava filtreleri kadar başarılı şekilde havayı temizler. Motora daha fazla taze dolgu girer ve motorun verimi artar.

Emme sisteminin iyileştirilmesi tek başına pek fayda getirmeyeceğinden egzoz sisteminde iyileştirilmesi gereklidir. Standart motorlarda egzoz gazının çıkıştı gürültüye karşı alınan tedbirler nedeni ile kısıtlanmaktadır. Bunun sonucu egzoz hattında yüksek değerde karşı basınç oluşturmaktadır. Egzoz sisteminde yapılan değişikliklerle gaz çıkıştı rahatlatılır ve karşı basınç azaltılır. Karşı basıncın çok azaltılması düşük devirlerde performans düşüklüğüne sebep olduğu unutulmamalıdır.

Yapılan bu uygulamaları enjeksiyon beyninin kartografisinin değiştirilmesi ve motor devrinin yükseltilmesi izler. Dolgu değişimi iyileştirilmiş motor, yüksek devirlere daha rahat çıkabilmektedir. Bu aşamada enjeksiyon beynine yeni bir program yüklenmesi ile motor gücü artırılabilir. Bu yeni programda, güç artışı için ateşleme zamanları ve yakıt enjeksiyonunun haritası değiştirilmekte ve üst devir performansı için devir sınırlayıcı yoğunlukla standarttan daha yüksek devirlere alınmaktadır.

Buraya kadar yapılan modifikasyonlar motorun standardından fazla uzaklaşmadan yapılan işlemlerdir ve motorun sökülmesini gerektirmezler. Yakıt tüketimi ve çalışma gürültüsündeki artışa karşı motor ömründe belirgin bir azalmaya sebep olmazlar. Bunun ilerisindeki işlemler daha yüksek maliyetlidir ve motor ömrüne belirgin etkileri vardır.

Silindir kapağından söküllerken yapılan eksantrik mili uygulamaları genelde emme kanallarının pürüzsüzleştirilmesi ile birlikte gerçekleştirilir. Silindir kapakları taşınarak yanma odası yüksekliği azaltılarak sıkıştırma oranı yükseltilir. Bu aşamada yapılacak olan tüm modifikasyonlar özel uygulamalar olup, mühendislik hesapları ile desteklenmeli ve uygulama sınırları belirlenmelidir. Yapılan fiziksel değişiklikler, yine enjeksiyon beyni kartografisi ile desteklenmelidir. Bu seviyede modifikasyonlar gerekiğinde özel piston, biyel, süpap ve süpap yayları kullanılması gibi bir çok yan işlemere gereksinim duyulmasına sebep olabilmektedir. İşlemlere başlamadan önce amacın iyi belirlenmesi gereklidir.

Güçün artırılması konusu; motorun temel parametrelerinin belirlenmesi ve motor devrinin, sıkıştırma oranının, dolgu basıncının ve volumetrik verimin yükseltilmesi başlıklar altında incelenmelidir.

## 2. İÇTEN YANMALI MOTORLARIN TEMEL PARAMETRELERİ

### 2.1 Motorlarda Yakıt-Hava Karışımı

Otto motorlarında, emme strokunda silindire alınan yakıt hava karışımı, sıkıştırma strokunun sonuna doğru uygun bir zamanda bujinin yarattığı kivilcimla ateşlenerek yakılır. Açıga çıkan enerji, pistonu iterek mekanik işin oluşmasını sağlar. Silindirin dışında yakıtlı havanın belirli oranlarda karıştırılma işlemi genel anlamda “karbürasyon” olarak tanımlanır. Otto çevrimiyle çalışan motorlarda yaygın olarak kullanılan yakıt benzindir. Bunun yanında, metanol, benzon, alkol-benzin karışımı ve sıvılaştırılmış petrol gazı “LPG” de yakıt olarak kullanılabilirler. Yakıt cinsi değiştiği zaman, yakıtın içerdiği yanabilir maddelerin cins ve oranlarına bağlı olarak gerekli hava miktarında farklılık olacaktır.

Yaygın olarak kullanılan benzin-hava karışımının tutuşabilirlük sınırları yaklaşık  $M_y/M_h=1/18 \div 1/9$  arasında değişmektedir. Diğer bir deyişle 1/18'den daha fakir ve 1/9 oranından daha zengin yakıt hava karışımı tutuşma sınırlarının dışında olduğundan yakılamaz. Karbürasyon sistemlerinde ortalama değer olarak karışım oranı yaklaşık 1/15 (stokiométrik oran) mertebesinde gerçekleşir. Fakat, bu oranın, ilerde değişimeceği gibi ortam ve motorun çalıştırılma şartlarına bağlı olarak daha farklı değerlerde olması gereklidir.

Genel çalışma şartları olarak değişken yük, devir sayısı ve ortam göz önüne alındığında, karbürasyon sisteminden gerçekleme beklenen özellikler aşağıdaki şekilde sıralanabilir.

- 1) Soğukta ilk hareket kolaylığı
- 2) Hertürlü çalışma aralığında istenilen oranda yakıt-hava karışımının temini
- 3) Yakıtın tamamen pülverize olarak emme havasına karışmasının sağlanması, böylelikle homojen bir karışımın elde edilmesi
- 4) Ani hızlanmalarda gerekli olan karışım oranının sağlanması
- 5) Motor boşta çalışırken mümkün olduğu kadar ekonomik olmasının sağlanması

Karbürasyon sisteminde sağlanan karışımın çok zengin veya çok fakir olması motorda bazı olumsuzluklar yaratır. Hava fazlalık katsayısı  $\lambda > 1,15$  şartındaki karışımlar çok fakir karışım olarak tanımlanır ve aşağıdaki olumsuzluklar ortaya çıkar.

- 1) Yanma süresi fakir karışımlarda uzayacağından, silindirde yanmanın tamamlanması sonucu egzosda alev tepmesi başlar.
- 2) Egzos periyodu başladığında, yanmanın sürmesi egzos süpablarının oturma yüzeylerinin aşırı sıcaklık nedeniyle tahrip olmasına sebep olur.

- 3) Özellikle egzos süpabı bölgesinde sıcaklıkların artmasına, vurunu veya ön ateşleme gibi kontolsuz ateşlemelerin ortaya çıkmasına sebep olabilir.

Karışımın çok zenginleşmesi, yaklaşık  $\lambda < 0,84$  şartlarına uyan karışımında motorun çalıştırılmasında aşağıdaki olumsuzlukların ortaya çıkmasına sebep olur.

- 1) Piston üst yüzü ve yanma odası cidarı kurulanır. Silindir, segman ve piston yüzeylerindeki aşınmalar hızlanır.
- 2) Kurulanma, diğer bir deyişle karbon tabakasının yanma odası cidarlarında birikmesi kontolsuz ateşlemenin ortaya çıkmasına sebep olur.
- 3) Tam yanmanın sağlanamaması, egzos gazı emisyonlarından sağlığa zararlı CO ve yanmamış HC yüzdesinin artmasına sebep olur. Bu da hava kirliliğini artırır.
- 4) Silindire giren fazla benzin, özellikle motorun ısınma periyodunda silindir cidarlarındaki yağlama yağıının viskozitesini düşürür. Bozulan yağlama sonucunda silindirlerdeki aşınmalar artar.
- 5) Yanma verimi düşeceğinden motorun yakıt harcamı fazlalaşır.

Otto motorlarının çalışma şartlarına bağlı olarak gerekli karışım oranları farklı mertebelerde olmalıdır. Karışım karakteristikleri olarak bilinen, karışım oranının farklı işletme şartlarındaki değişim sınırlarının incelenmesinde yarar vardır.

## 2.2 Karışım Karakteristikleri

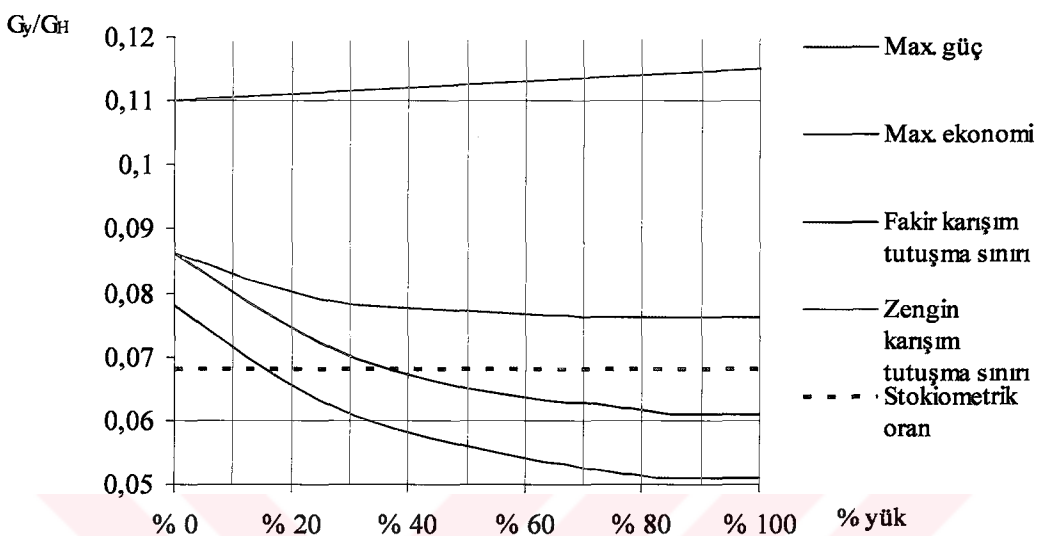
Kararlı çalışmada karışım oranının değişimini, işletme şartlarından olan motor hızı ve motor yükü belirler.

Motorun boşta (ralantide) çalıştırılmasında ve çok düşük yüklemelerde zengin karışımı gereksinim vardır. Çok zengin karışımın kullanılmasını gerektiren motorun ilk harekete geçirilme şartlarının dışında, bütün çalışma aralığında en zengin karışım oranı ralantide çalışma sırasında sağlanmalıdır. En geniş çalışma aralığını kapsayan kısmi yüklerdeki çalışmada maksimum ekonomi etkin olmalıdır.

Karışım oranı parametre alındığında, belirli yük kademeleri için 4 ayrı karakteristik eğri elde edilir. Bunlar; zengin karışım tutuşma sınırı eğrisi, maksimum güç gerçekleyen karışım oranı değişim seyri, maksimum güç gerçekleyen karışım oranı değişim seyri, maksimum ekonomi gerçekleyen karışım oranı değişim seyri ve fakir karışım tutuşma sınırı eğrisidir.

Tutuşma, silindirdeki karışımın homojenlik düzeyini birinci derecede etkilendığından, zengin ve fakir karışım tutuşabilirlik sınırlarının saptanmasında pek kesinlik yoktur. Özellikle, çok silindirli motorlarda silindirler arası karışım oluşumunun düzensizliği bu sınırların

belirlenmesini de güçleştirir. Daha fakir karışım alan silindirlerde tutuşabilirlik, zengin karışım alan silindirlere göre daha erken ortadan kalkar. Çalışmadaki ekonomiklik ve maksimum güç, birinci derecede göz önünde bulundurulması gereklili etkenler olduğundan zengin karışım tutuşabilirlik sınırı uygulamada pek önemli değildir.



Şekil 2.1 Yüze bağlı karışım karakteristiklerinin değişimi (Yavaşlıol, 1988)

Şekil 2.1 de kesik çizgi stokiometrik karışım oranını göstermektedir. Uygulamada sadece bu karışım oranında çalışmamasının nedeni de şekilde açık olarak gözükmektedir. Stokiometrik oran, maksimum güç sağlanması için fakir, maksimum yakıt ekonomisi için ise zengindir. Ayrıca, yük azaldıkça, silindir içerisindeki artık egzos gazı yüzdesindeki artışın sebep olduğu yanma hızındaki azalma, karışımın zenginleşmesini gerektirmektedir.

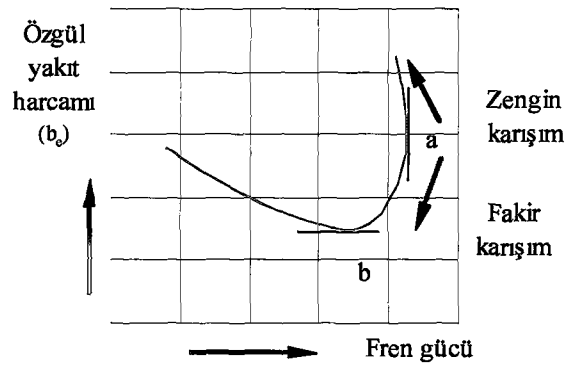
### 2.3 Karışım Oranının Güc, Termik Verim Üzerine ve Egzos Emisyonlarına Etkisi

Belirli bir devir sayısında çalıştırılan motorun, fren gücü veya  $P_{me}$  fren ortalama efektif basıncı değişimine bağlı olarak özgül yakıt harcamı  $b_e$  ( $^{gr}/kW.h$ )'nin değişim seyri, Şekil 2.2 de görülmektedir. Şekilde görülen "a" noktasının maksimum fren gücünü, "b" noktası ise maksimum ekonomikliği karakterize etmektedir.

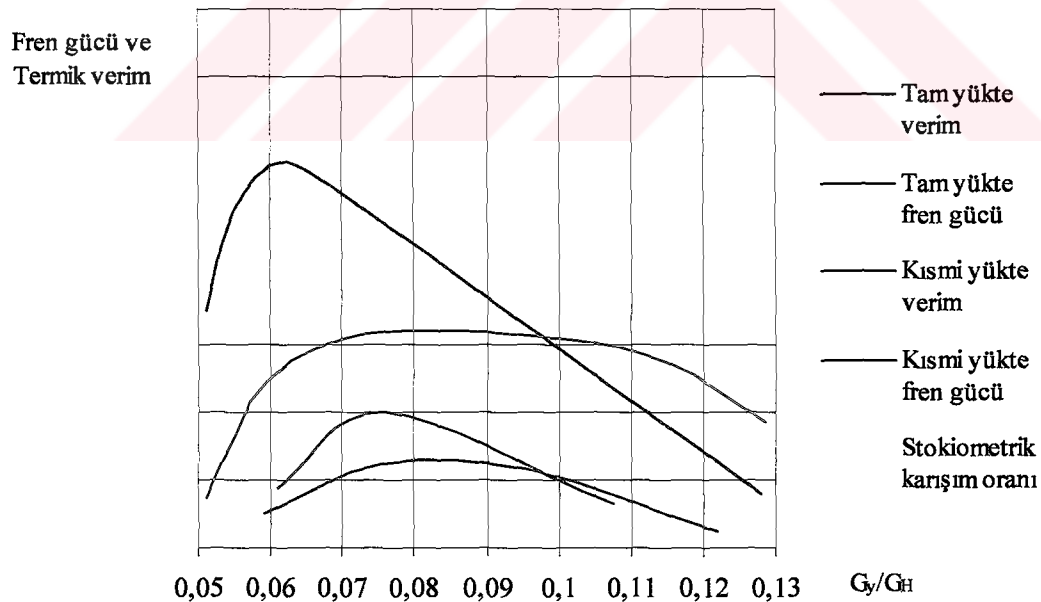
Belirli bir devir sayısında “a” noktası şartlarda çalışan motorun sarfettiği yakıt, gaz kelebeğinin konumu değiştirilmeksızın azaltılırsa eğriden de görülebileceği gibi fren gücü veya  $P_{me}$ ’de düşme ortaya çıkar. Bunun tam tersi olarak “a” noktasındaki çalışma şartlarında motora sevk edilen yakıt miktarı artırılırsa (karışım zenginleştirilirse) övgül yakıt harcamının

artmasına karşın güçte de azalma ortaya çıkmaktadır.

“a” noktasından itibaren karışımın fakirleştirilmesiyle birlikte özgül yakıt harcamındaki azalma “b” noktasına kadar sürer. Bu noktadan sonra fakirleşmenin sürdürülmesi, güçteki düşme nedeniyle özgül yakıt harcamını arttırmır. Bu eğrilede görülen “a” noktası tam güç şartlarındaki karışım karakteristisini, “b” noktası ise maksimum ekonomiyi sağlayan karışım karakteristisini belirler



Şekil 2.2 Fren gücüne bağlı belirli bir devirde özgül yakıt harcamının değişimi  
(Yavaşlıol, 1988)



Şekil 2.3 Karışım oranı değişiminin kısmi yükte ve tam yükte termik verime ve güce etkisi  
(Yavaşlıol, 1988)

Şekil 2.3 de ise ise belirli bir devir sayılarındaki karışım oranı değişimine bağlı güç ve toplam

verim ( $\eta_t$ ) değişiminin seyri görülmektedir.

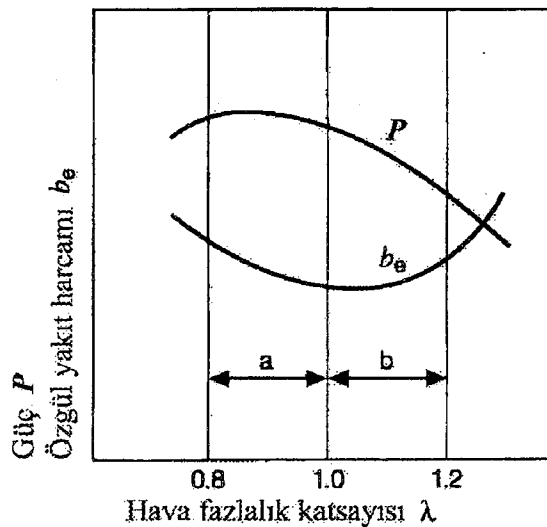
Bu eğrilerde görünen birinci konu, fakir karışım bölgesindeki çalışma aralığının, zengin karışım bölgesindekine göre daha dar sınırlar içerisinde olduğunu.

İkinci konu; maksimum fren gücünü sağlayan karışım oranı zengin bölgededir ve belirli bir devir sayısında motor yükü değişikçe, maksimum fren gücünü sağlayan karışım oranında pek fazla bir değişim ortaya çıkmamaktadır.

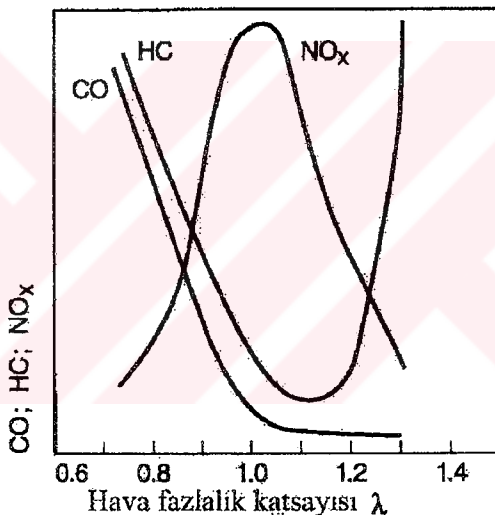
Üçüncü konu; belirli bir devir sayısında fren yükü azaldıkça, herbir yük kademesinde sağlanabilecek maksimum verim için daha zengin karışım gerekmektedir. Belirtilen özelliklerin dışında, farklı devir sayısı kademelerinde çalışmada, herbir devir sayısı kademesinde maksimum fren gücünü sağlayan karışım oranı pek değişmemektedir. Bu yakıt/hava oranı 0,078 mertebesindedir.

Hidrojen (H) ve karbondan (C) oluşan benzinin yanması sonucu karbon dioksit ( $CO_2$ ) ve su buharının ( $H_2O$ ) egzos gazı olarak çıkması beklenir. Ancak bunun yanında karbon monoksit (CO), azot oksitler ( $NO_x$ ) ve hidrokarbon (HC) egzos gazı bünyesinde bulunurlar. Karbon monoksit yakıtın iyi yanmaması yani eksik yanma durumunda ortaya çıkar. Renksiz ve kokusuzdur. Özellikle ralanti devirlerinde ortaya çıkarlar. Karbon monoksitin öldürücü derecede zehirleyici etkisi vardır. Azot oksitler havada %78 oranında bulunan zehirsiz ve zararsız azot ( $N_2$ ) gazının silindir içerisinde yanma odasının yüksek sıcaklığı nedeni ile oksijenle ( $O_2$ ) birleşmesi sonucu ortaya çıkar. Daha sonra havadaki  $H_2O$ 'ile birleşerek nitrik asit haline gelir. Bu asitin zararları dışında  $NO_x$  kahverengi renkte kokulu ve insan vücuduna zararlı bir gazdır. Akciğerlere zarar verir ve felce neden olur. Hidrokarbonlar yakıtın iyi yanmaması ve dolum sırasında veya depodaki buharlaşma sonucunda ortaya çıkar. Hidrokarbonlar deride tahişe yol açar ve kanser yapar.

Şekil 2.4 ve Şekil 2.5'de hava fazlalık katsayısının ( $\lambda$ ) güç, verim ve egzos emisyonlarına etkisi görülmektedir. Şekil 2.4'de de görülebileceği gibi en iyi sonuç hava fazlalık katsayısının  $0,9 \pm 1,1$  değerleri arasında olduğu bölgede elde edilir. Motor normal çalışma sıcaklığına gelmeden önce  $\lambda=1$  şartlarındayken egzos emisyonlarının iyileştirilmesi üç yolu bir katalikit dönüştürücü ile sağlanabilir. Ancak bu şartların sağlanması doğru ve hassas bir ölçüm sistemine bağlıdır. Bunun yanında yakıtın tamamen pülverize olması ve karışımın homojenliği, HC emisyonlarının azaltılabilmesi açısından önemlidir.



Şekil 2.4 Hava fazlalık katsayısının güç ve verime etkisi (Robert Bosch GmbH, 1995)



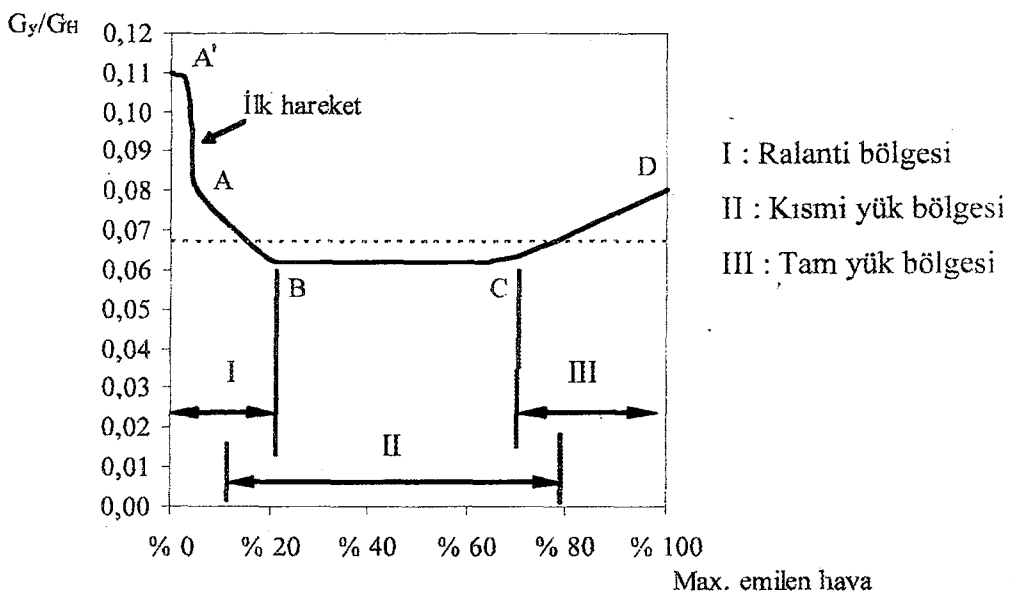
Şekil 2.5 Hava fazlalık katsayısının egzos emisyonlarına etkisi (Robert Bosch GmbH, 1995)

Farklı devir sayısı kademelerinde maksimum verimi gerçekyen karışım oranları ise, her bir devir sayısı kademesinde motorun yüksüz (ralantide), kısmi yükte ve tam yükte çalıştırılma şartlarına bağlı olarak değişmektedir. Buna göre, maksimum verimi gerçekleyen karışım oranları aşağıdaki gibidir:

Ralantide çalışmada :  $G_y/G_h = 0,830 \approx 1/12$

Kısmi yükte çalışmada :  $G_y/G_h = 0,068 \approx 1/14,7$

Tam yükte çalışmada :  $G_y/G_h = 0,060 \approx 1/16,6$



Şekil 2.6 Motor hızına veya maksimum emilen hava yüzdesine bağlı karışım oranı değişimi (Yavaşlıol, 1988)

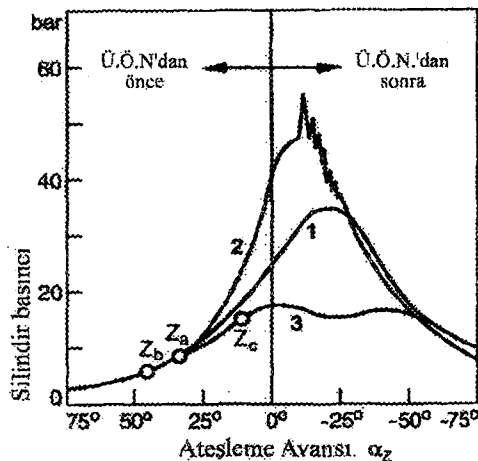
Şekil 2.6'da değişik motor devir sayısı şartlarında çalışmada, sağlanması gereklili karışım oranı değişimi görülmektedir. Buna göre; ralantide çalışma (A-B) zengin karışımı, kısmi yükde (B-C) sabit karışım oranına, tam yükte ise (C-D) daha zenginçe bir karışımı gereksinim vardır. Yüke göre karışım değişimi yakın zamana kadar karbüratör sistemleriyle sağlanmıştır. Basit karbüratore eklenen ekonomi düzenleri "B-C" arasına mudahale ederken, "C-D" arasına tam güç düzenleri mudahale etmekteydi. Ayrıca ilk hareketde ve ralantide gereken zengin karışımı sağlayan "ilk hareket" ve "ralantide düzenleri" de eklenmiştir. Günümüzde tüm bu işlemler elektronik kontrollü enjeksiyon sistemleriyle büyük bir hassasiyetle gerçekleştirilmektedir.

Kısımlı yük bölgesinde önemli olan motorun minimum şekilde yakıt harcamasını sağlamaktır. Şekil 2.4'de de görüldüğü gibi bu koşulu  $\lambda=1$  sağlamaktadır. Tam yük bölgesinde ise motordan maksimum güç çekilmektedir. Bunun için karışımı zenginleştirmek ve  $\lambda$  değerini  $0,85 \div 0,90$  arasında tutmak gerekmektedir. Ani hızlanmalarda da aynı şekilde karışımı zenginleştirmek gerekmektedir.

## 2.4 Ateşleme Avansının Yakıt Tüketimine ve Egzos Emisyonlarına Etkisi

Ateşleme avansı motorun gücüne etki eden çok önemli faktörlerden biridir. Dolayısıyla motorun çalışma şartlarına göre ateşleme avansının doğru düzenlenmiş olması gerekmektedir. Ateşlemenin gereğinden erken veya geç yapılmasının olumsuz etkisi, motorun gücünde, yakıt

harcamında veya vurunu nedeni ile termik zorlamaların artmasında, belirgin olarak kendisini gösterir.



Şekil 2.7 Değişik ateşleme avanslarının yanma sonunda oluşan silindir basıncına etkisi  
(Robert Bosch GmbH, 1995)

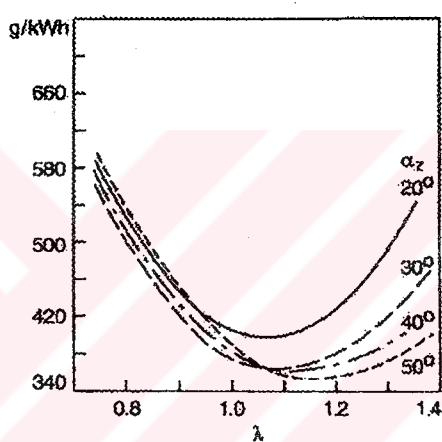
Ateşlemenin çok önce yapılması durumunda, ateşlemenin yapıldığı andan başlayarak alevin yayılması ile silindir içerisindeki basınç artacaktır. Öte yandan piston, yanmış gazları sıkıştırmaktadır, dolayısı ile silindir basıncı çok hızlı artış gösterecektir ve genişleme işi ile sıkıştırma işi arasındaki fark yani indike iş azalacaktır. Basıncın çok hızlı artış göstermesi silindir içerisindeki sıcaklığı da ani olarak yükseltecek ve vurunu nedeniyle mekanik ve termik zorlamalar artacaktır. Bu durum Şekil 2.7'de 2 numaralı çizgiyle gösterilmiştir.

Ateşlemenin geç olmasında ise piston A.Ö.N.'ya doğru hareketine başlamış olacaktır. Dolayısı ile hacim genişlemekte basınç düşmektedir. Öte yandan, yanma nedeni ile basınç yükselmektedir. Fakat hacim genişlemesi dolayısı ile basınç artışı pek fazla olmayacağından kayıp iş artacak dolayısı ile motor gücü düşecektir. Bu durum Sekil 1.7'de 3 numaralı çizgiyle gösterilmiştir.

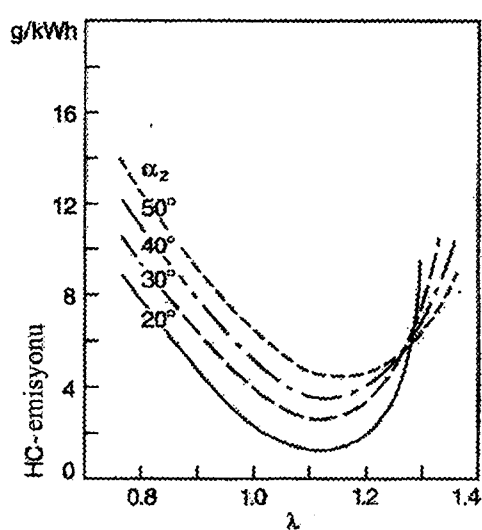
Şekil 2.8'de görüldüğü gibi zengin karışım bölgesinde özgül yakıt harcamı yüksektir.  $\lambda=1$  şartına doğru yaklaşıldıkça özgül yakıt harcamının düştüğü gözlenmektedir. Bu aralıkta optimum ateşleme avansı  $30^\circ$  olarak görülmektedir. Ateşleme avansının azaltılması yada çoğaltıması yakıt harcamını yükseltmektedir. Hava fazlalık katsayıısının fakir bölgeye girmesiyle avansın artırılması uygun olmaktadır. Minimum yakıt harcamı ateşleme avansının  $50^\circ$  değerini aldığı durumdur. Bu nokta  $\lambda=1,1 \div 1,2$  değerleri arasında elde edilir. Bu durum hava fazlalık katsayıısının yükseltilmesi durumunda ateşleme avansının da yükseltilmesi

gerektiğini göstermektedir. Çünkü daha önce de degenildiği gibi hava fazlalık katsayısunun arttırılması durumunda yanma hızında yavaşlama gözleniyordu. Bu yüzden ateşleme avansının arttırılması egzosda yaşanabilecek alev tepmesi olayını engelleyebilir.

Ancak Şekil 2.9, Şekil 2.10 ve Şekil 2.11'e dikkat edilecek olursa ateşleme avansının bu derece de büyük olması egzos emisyonlarını kötü şekilde etkilemektedir. HC emisyonunun en düşük tutulabildiği nokta  $20^\circ$ lik ateşleme avansı ve  $\lambda=1,1$  noktasıdır. Bu noktadayken hava fazlalık katsayısi düşürülür yada arttırılırsa HC emisyonunda dikkat çeker bir artış gözlenmektedir. Hava fazlalık katsayısunın 1,25 değerinden daha düşük olduğu durumlarda ateşleme avansının artırılması durumu da HC emisyonunu artırmaktadır. Ateşleme avansları  $\lambda=1,25$  değerinde iken HC emisyon değerleri eşitlenmektedir.

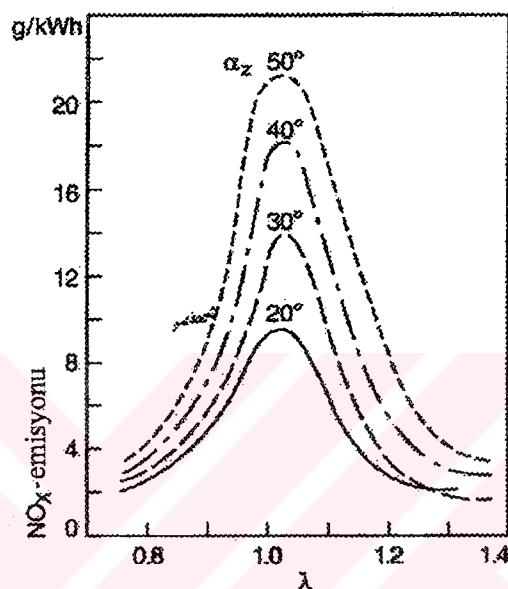


Şekil 2.8 Ateşleme avansının ve hava fazlalık katsayısunun özgül yakıt harcamasına etkisi  
(Robert Bosch GmbH, 1995)

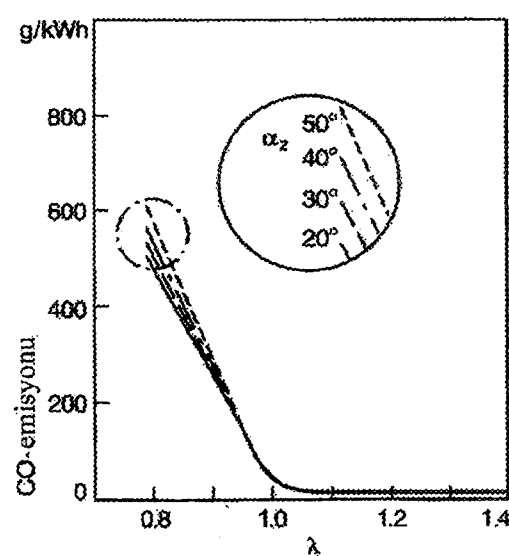


Şekil 2.9 Ateşleme avansının ve hava fazlalık katsayısunun HC emisyonuna etkisi (Robert Bosch GmbH, 1995)

$\text{NO}_x$  konsantrasyonu ise farklı bir karakter göstermektedir,  $\lambda=1,05$  değerinde herhangi bir ateşleme avansı için maksimum noktaya ulaşmaktadır. Karışım bu noktadan daha zengin yada daha fakir karışım bölgесine yaklaşıldığında  $\text{NO}_x$  emisyonunda düşüş görülmektedir. Ateşleme avansının azaltılması  $\text{NO}_x$  emisyonunu düşürmektedir. Ateşleme avansının  $20^\circ$  değerinde olduğunda ve  $\lambda=1,25$  değerinin üzerine çıktığında  $\text{NO}_x$  emisyonu diğer ateşleme avanslarına göre daha yüksek bir değer almaktadır.



Şekil 2.10 Ateşleme avansının ve hava fazlalık katsayısının  $\text{NO}_x$  emisyonuna etkisi (Robert Bosch GmbH, 1995)



Şekil 2.11 Ateşleme avansının ve hava fazlalık katsayısının CO emisyonuna etkisi (Robert Bosch GmbH, 1995)

CO emisyonu  $\lambda < 1$  olduğu durumda ortaya çıkar ve yanmanın tam olmadığını gösterir. Doğal olarak hava fazlalık katsayısının düşmesiyle CO emisyonu artmaktadır.  $\lambda > 1$  şartında CO emisyonundan bahsedilemeyecegi için ateşleme avansında bir etkisi yoktur.  $\lambda < 1$  şartında emisyon değerleri her avans değeri için lineer olarak artmaktadır. Bu koşullar dahilinde ateşleme avansının arttırılması CO emisyonunun artmasına sebep olmaktadır.

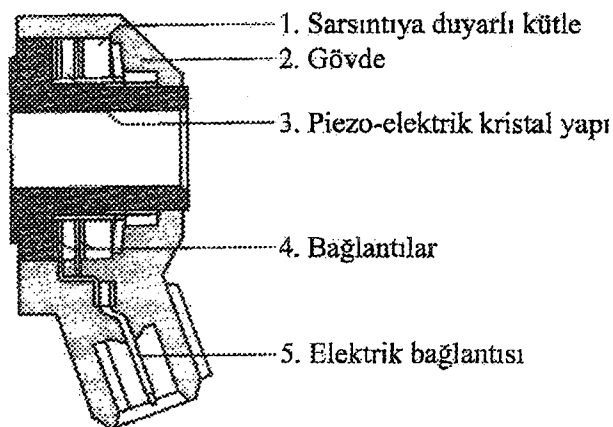
## 2.5 Motorda Vuruntu Olayı

Bazı durumlarda yanma hızı normal değerin çok üstüne çıkabilir. genellikle alev cephesi önünde bulunan hünüz yanmamış taze dolgunun yüksek hızlı yanmaya karşı eğilimi daha fazladır. Yanma hızının artmasıyla ısının açığa çıkış hızında yükselir. Basınç daha hızlı artmaya başlar ve pistonun genişlemesiyle dengelenemez hale gelir. Yüksek yanma hızlarında basınç ve sıcaklık ani artış gösterir. İşte bu koşullarda otto motorlarında “vuruntu” adı verilen anormal çalışma durumu ortaya çıkabilir. Bu istenmeyen durum motorun verimini düşürdüğü gibi motor parçalarını mukavemet açısından limitlere kadar zorlar.

Bu olay, piston genişleme strokuna geçmeden, sıkıştırma esnasında hava-yakit karışımının basıncının ve sıcaklığının yükselmesi ve karışımın kendi kendine tutuşma sıcaklığına ulaşmasıyla başlayabileceği gibi normal yanmanın olduğu durumda alev cephesinin yanmamış taze dolguyu sıkıştırması sonucu basınç ve sıcaklığın yükselmesi ve alev cephesi önündeki taze dolgunun kendi kendine tutuşma sıcaklığına ulaşıp yeni alev çekirdekleri oluşturulması sonucunda da ortaya çıkabilir. Alev hızının 2000 m/s'ye çıktığı bu durumda, basınç dalgaları silindir çeperlerine çarparak titreşim yaratırlar. Bu titreşimler birleşerek ağır mekanik yüklerse sebep olurlar.

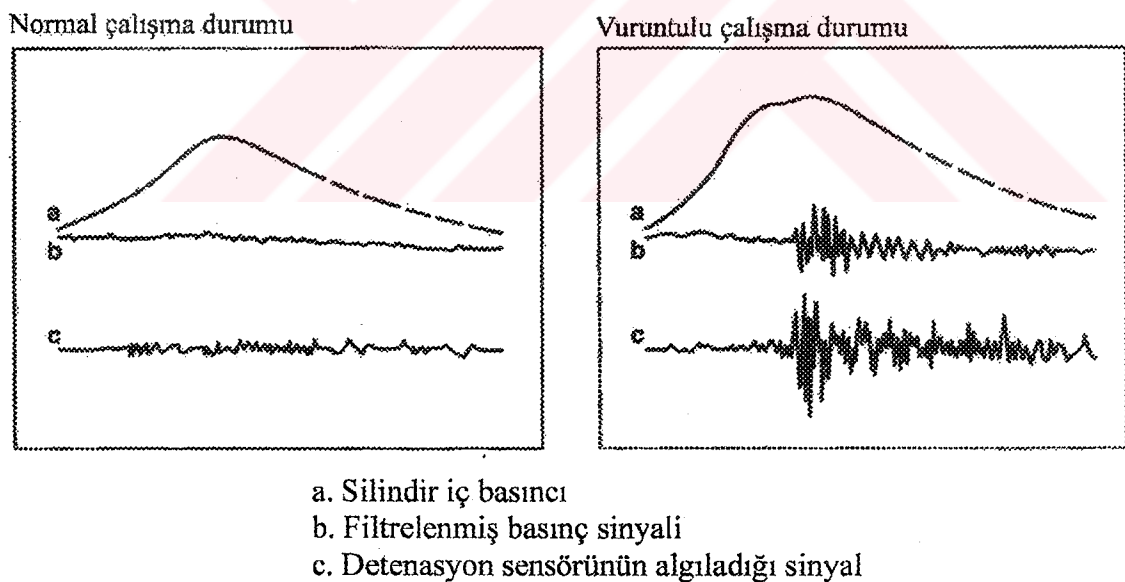
Vuruntu termik zorlamaları arttırmır. Vuruntu esnasında yanma odası çeperlerine olan ısı iletimi artar. Çeper sıcaklıkları çok yükselir. Motor elemanlarının ömürleri azalır veya tahrip olurlar. Buna ilaveten motor gücü düşer. Dolayısıyla özgül yakıt harcamı yükselir. Vuruntu esnasında meydana gelen yüksek basınç tüm motor elemanlarına dağıılır. Mekanik zorlamalara ve malzeme yorulmalarına neden olur. Motor ömrü azalır.

Vuruntunun en önemli sakincası etkisini kendi kendine artırmacı özelliğe sahip olmasıdır. İlk vuruntu meydana geldiğinde çeper sıcaklıkları bir miktar artar. Vuruntu olayı devam ettikçe çeper sıcaklıkları daha da yükselir. Bunun sonucu olarak taze dolgu sıcaklıkları gittikçe artmaya başlar dolayısı ile kimyasal hazırlık daha kısa sürede tamamlanır ve yanma hızı yükselir. Sonuç olarak da vuruntu gittikçe artar.



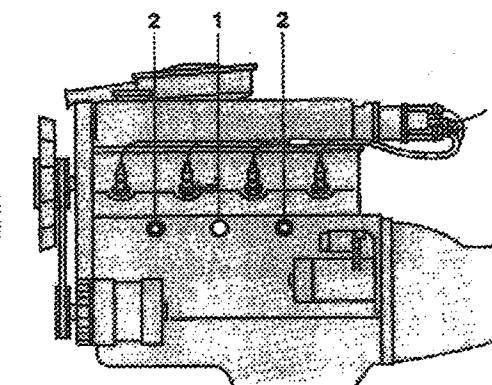
Şekil 2.12 Detonasyon sensörü (Robert Bosch GmbH, 1995)

Bu titreşimler motor bloğu üzerine yerleştirilen piezo-elektrik kristal yapısına sahip olan detonasyon sensörleri ile elektrik sinyallerine dönüştürülerek injeksiyon sisteminin elektronik kontrol ünitesine bildirilir. Elektronik kontrol ünitesi belli stratejilerle vuruntuyu engeller. Elektronik kontrol ünitesi vurunu ortadan kalkıncaya kadar ateşleme avansını  $3^{\circ}$  ile  $7^{\circ}$  azaltır.



Şekil 2.13 Detonasyon sensörü sinyali (Robert Bosch GmbH, 1995)

Sensörlerin vurunu olayını doğru algılayabilmeleri için motor üzerindeki yerlerinin iyi belirlenmiş olması gereklidir. Sensör yada sensörler tüm silindirleri denetim altında tutabilmelidir. 4 silindirli motorlarda bir sensör yeterli olmasına rağmen 5 veya 6 silindirli motorlarda iki adet sensör kullanımı uygun olmaktadır. 8 ile 12 silindirli motorlarda en az iki sensör gerekmektedir.



Şekil 2.14 Detonasyon sensörlerin motor üzerindeki konumları (Robert Bosch GmbH, 1995)

Şekil 2.14'de 1 numara ile gösterildiği gibi bir sensör kullanılma durumunda sensör 2. ve 3. silindirler arasına yerleştirilir. İki sensör kullanılma durumunda 2 numara ile gösterildiği gibi bir tanesi 1. ile 2. arasında, bir tanesi 3. ile 4. silindirler arasına yerleştirilir.

### 3. MOTORLARDA GÜÇ ARTTIRIMI

Son zamanlarda benzinli motorlar, litre başına elde edilebilecek güçlerin hemen hemen optimum seviyesine ulaşmıştır. Bu, araçlara yüksek hız, iyi dinamik karakteristikler getirmektedir. Motor konstrüktörlerinin öncelikli amacı, özgül yakıt sarfiyatını azaltmak ve egzos gazlarının zehirli etkisini minumuma indirmektir. Ancak bazı araçlar için özgül yakıt sarfiyatının yüksek olması, motor gücünün yükseltilmesi söz konusu olduğunda ikinci planda kalmaktadır. Şu anda üretilen benzinli motorlar  $48,5 \text{ kw/lit}$  güç ve  $5500 \div 6500 \text{ d/d}$  arasında ve  $9,5 \div 10,5$  arası sıkıştırma oranlarında çalışabilmektedir. Daha fazla güç artırımı çalışmada sık sık aksamalara yol açması ve motor ömrünün azalması açısından tavsiye edilmemektedir.

Bir motorun gücü silindirde birim zaman içinde oluşan iş çevriminin sayısıyla orantılıdır. Bu devirleri istediğimiz şekilde yükseltmemiz mümkün değildir. Devir artıkça emme sistemindeki hız artmaktadır. Bu nedenle emme manifoldundaki sürtünmeler hızın karesi şeklinde artmaktadır. Bu sürtünme kayıplarının artması motor maksimum devre yaklaşlığında güç eğrisinin yatay duruma gelmesine, devir daha da yükseltilirse parabolik şekilde düşüşe geçmesine neden olur. Motor gücünün arttırılmasında uygulanan ilk yöntem silindire gönderilen karışım hacminin yükseltilmesidir. Fakat birim zamanda silindire gönderilen karışım miktarının yükseltilmesi ve krant devir sayısının yüksek tutulması motorun mekanik ve termik zorlanması neden olur. Karışım miktarının artması ile birlikte silindir içi gaz basıncı artmakta ve biyel yataklarına gelen kuvvet büyümektedir. Krant milinin devir sayısının yükseltilmesi ise atalet kuvvetlerinden dolayı piston silindir ikilisinin yüklerini arttırmır. Devir sayısının artması, hareketli yüzeylerde artan sürtünmeden dolayı termik yüklemelerin artmasına neden olmaktadır. Bazı bölgelerde ise yağ filminin yırtılmasından dolayı kuru sürtünme ortaya çıkmaktadır.

Motor gücünü artırma yollarından bir diğeri ise sıkıştırma oranının yükseltilmesidir. Sıkıştırma oranının bir mertebe yükseltilmesi motor gücünün  $\%8 \div 12$  arasında artmasına neden olur. Bu sayede özgül yakıt sarfiyatı da azalır ama motor daha sert çalışma bölgесine girer.

Ayrıca emme manifoldunun dimamik şekli düzenlenerek  $\%4 \div 6$  güç artışı elde dilebilir. Amaç volumetrik verimin yükseltilmesidir. Özellikle yakın geçmişte karbüratörlü motorlarda uygulanan bu modifikasyon çift difüzörlü iki karbüratörle birlikte uygulandığında  $\%35$ 'lere varan güç artışı elde edilmiştir.

Cok silindirli motorlarda emme manifoldundaki karışımın akış yönünün silindirlerin çalışma

sırasına göre değişmesi akustik dalgalar oluşturmaktır, bu da bazı silindirlerin fazla, bazı silindirlerin ise az dolmasına neden olmaktadır. Emme manifoldunda karışım belli bir hızda sahiptir. Bu akış süpab kapanana dek sürmektedir. Süpab kapandığında karışım moleküllerinin kinetik enerjisi potansiyel enerjiye dolayısıyla hız, basınca dönüşmekte ve süpabın önünde bir basınç bölgesi oluşmaktadır. Bunun anlamı bir darbe dalgasının oluşmasıdır. Böylece hava yakıt karışımı yön değiştirir ve başka silindire yönelir. Bu dalgalar var olduğu sürece emme süpabının açılma zamanı önem kazanır. Emme süpabının açılması bu dalga vuruş anına denk getirilmeye çalışılır. Böylelikle daha fazla dolgu silindire sokulabilir. Motor gücü %20'ye varan oranlarda arttırılabilir.

Motorda açığa çıkan enerjinin %35'i egzos gazlarıyla dışarı atılır. Bu sistemde gaz turbini bir merkezkaç kompresörünü harekete geçirerek silindirlere basınç altında karışım gönderir. Benzinli motorlarda turbo kompresörlerin kullanılmasında bazı güçlüklerle karşılaşılmaktadır. Turbo kompresör tarafından gönderilen yüksek basınçlı karışım yanma esnasında basınçların daha da yükselmesine neden olur. Böylece yüksek oktanlı yakıt ihtiyaç duyurur. Çok silindirli motorlarda kompresör ile silindir arasına bir ara soğutucu konur

Motorun gücü birim zamanda silindir içerisinde yakılan yakıtla doğru orantılıdır. Silindire giren hava miktarının artmasıyla yakıt miktarının da artmaktadır. Atmosferik doldurmalı motorlarda emilen hava basıncı yaklaşık 0,1 MPa iken turbo şarjlı motorlarda bu değer 0,2 MPa'a çıkmaktadır. Buna bağlı olarak motor gücünün iki katına çıkması gereklidir. Gerçekte ise güç daha fazla artmaktadır. Bunun nedenleri ise;

- 1) Turbo şarjlı doldurmadada yanma daha iyi olmaktadır.
- 2) Soğutma sisteminde ısı kayıpları azalmaktadır

Şu anda kullanılmakta olan turbo kompresörlerde elde edilen basınç  $0,14 \div 0,2$  Mpa arasında değişmektedir. Bu basıncın üzerine çıkmak motorun mekanik ve termik yüklenmesini arttırmamak amacıyla tavsiye edilmemektedir. Buna rağmen motor gücünün  $1,5 \div 2$  arasında bir oranda artması sağlanmaktadır. Ancak motor üzerinde bazı önlemler alınması gerekmektedir. Bunlardan biri maksimum momentte detonasyon olayının meydana gelmesini engellemek için sıkıştırma oranının  $1,5 \div 2$  birim düşürülmüşdür. Ayrıca soğutma sisteminin kapasitesinin yükseltilmesi için özel önlemler alınmalıdır.

### **3.1 Motorda Gücü Etkileyen Parametreler**

Motorda gücü etkileyen parametrelerin başında strok hacmi gelir. Motor dizaynına bağlı bu

parametre artırıldığında motor gücü de artar. Devir sayısının yükseltilmesi de motor gücünü artırır. Ancak yukarıda bahsedilen nedenlerden dolayı bu değer fazla yükseltilemez. Motorda esas çalışma rejimini karakterize eden parametre efektif basınçdır.

- V<sub>1</sub> : Toplam silindir hacmi (lt)
- N<sub>e</sub> : Efektif güç (kW)
- n : Devir sayısı (d/d)
- p<sub>e</sub> : Efektif basınç (MPa)
- $\tau$  : Motorun iki yada dört stroklu olmasına bağlı bir katsayı. İki stroklu motorda  $\tau=1$ , dört stroklu motorda  $\tau=2$ 'dir.

$$N_e = \frac{p_e \cdot V_1 \cdot n}{30 \cdot \tau} \quad (3.1)$$

Efektif basınç motorda elde edilen indirek basınçdan, mekanik kayıplardan dolayı ortaya çıkan basınç düşüşünün çıkarılmasıyla elde edilir.

- p<sub>i</sub> : Ortalama indirek basınç (MPa)
  - p<sub>m</sub> : Mekanik kayıplardan oluşan basınç düşüşü (MPa)
- $$p_e = p_i - p_m \quad (3.2)$$

Mekanik kayıpları basınç düşüşü cinsinden belirleyen empirik formüller aşağıda verilmiştir. Bu formüllerde görülen ortalama piston hızı m/s cinsinden aşağıdaki gibi hesaplanabilir

- v<sub>pm</sub> : Ortalama piston hızı (m/s)
- S : Strok (m)
- N : Devir sayısı ( $d/d$ )
- B : Silindir çapı (m)

$$v_{pm} = \frac{S \cdot n}{3 \cdot 10^4} \quad (3.3)$$

Altı silindire kadar ve S/B > 1

$$P_m = 0,049 + 0,0152 \cdot v_{pm}$$

Sekiz silindirli ve S/B < 1

$$P_m = 0,039 + 0,0132 \cdot v_{pm}$$

Altı silindire kadar S/B ≤ 1

$$P_m = 0,034 + 0,0113 \cdot v_{pm}$$

Yukarıda da görüldüğü gibi devrin yükselmesi piston hızını yükseltmekde, bu da mekanik kayıpların artmasına sebep olmaktadır.

Ortalama indike basıncı, teorik ortalama indike basıncın bir düzeltme katsayısıyla çarpılmasıyla elde edilmektedir. Bu katsayı otto motorlarında  $0,94 \div 0,97$  arasında bir değer almaktadır.

$p_i$  : Ortalama indike basıncı (MPa)

$p_i'$  : Teorik ortalama indike basıncı (MPa)

$\varphi_r$  : Basınç kayıp katsayısı ( $0,94 \div 0,97$ )

$$p_i = p_i' \cdot \varphi_r \quad (3.4)$$

Teorik ortalama indike basıncın belirlenmesinde en etkili parametreler sıkıştırma sonu basıncı ve sıkıştırma oranıdır. Bunun yanında sıkıştırma ve genişleme politropik üstleri ile yanma sonu teorik basıncıyla, sıkıştırma sonu basıncının oranını veren  $\lambda$  parametreleri,  $p_i'$  değerini etkiler. Yanma sonu teorik basıncı yanma prosesinin incelenmesi sonucu ortaya çıkar. Bu basınç değeri yanma olayı sonucunda açığa çıkan ısı ve yanma ürünlerinin özgül ısınma ısılارının bir sonucu olarak silindir içerisindeki sıcaklık artışı ve yanma olayındaki molekül artışına bağlı olarak ortaya çıkan basınçtır.

$\lambda$  : Basınç oranı

$p_z$  : Yanma sonu teorik basıncı (MPa)

$p_c$  : Sıkıştırma sonu basıncı (MPa)

$$\lambda = p_z / p_c \quad (3.5)$$

$n_1$  : Sıkıştırmada politropik üst katsayısı

$n_2$  : Genişlemede politropik üst katsayısı

$\varepsilon$  : Sıkıştırma oranı

$$p_i' = \frac{p_c}{\varepsilon - 1} \cdot \left[ \frac{\lambda}{n_2 - 1} \cdot \left( 1 - \frac{1}{\varepsilon^{n_2-1}} \right) - \frac{1}{n_1 - 1} \cdot \left( 1 - \frac{1}{\varepsilon^{n_1-1}} \right) \right] \quad (3.6)$$

Sıkıştırma politropik üstü emme sonu sıcaklığı ( $T_a$ ) ve sıkıştırma oranının fonksiyonu olarak ortaya çıkar. Sıkıştırma oranının azalması  $n_1$  değerini yükseltirken, emme sonu sıcaklığının yükselmesi  $n_1$  değerini düşürür. Değeri  $1,35 \div 1,4$  arasında değişir. Genişleme politropik üstü ise yanma sonu teorik sıcaklığı, sıkıştırma oranı ve hava fazlalık katsayısının fonksiyonu

olarak elde edilir. Değeri  $1,25 \div 1,28$  arasında değişir. Sıkıştırma sonu basıncını aşağıda görüldüğü gibi sıkıştırma oranı, politopik üst ve emme sonu basıncı karakterize eder. Emme sonu basıncı atmosferik motorlarda, atmosferik basınçdan emmedeki basınç kaybı çıkartılarak bulunur.

$p_a$  : Emme sonu basıncı (MPa)

$\Delta p_a$  : Emmedeki basınç kaybı (MPa)

$$p_c = p_a \cdot \varepsilon^n \quad (3.7)$$

$$p_a = p_0 - \Delta p_a \quad (3.8)$$

$\beta$  : Hız kayıp katsayısı

$\xi_{in}$  : Kesit daralma katsayısı

$$(\beta^2 - \xi_{in}) = 2,5 \div 4 \quad (3.9)$$

$A_N$  : Emme manifoldundaki hava hızını devrin fonksiyonu haline getiren katsayı

$\rho_0$  : Taze dolgunun özgül kütlesi ( $\text{kg/m}^3$ )

$\omega_{in}$  : Emme manifoldundaki hava hızı ( $50 \div 130 \text{ m/s}$ )

$$A_N = \omega_{in} / n_n \quad (3.10)$$

$$\Delta p_a = (\beta^2 - \xi_{in}) A_N^2 \cdot n^2 \cdot \rho_0 \frac{10^{-6}}{2} \quad (3.11)$$

Burada da görülebileceği gibi motor hızının artması yine kayıpları artırmaktadır.

Tüm bu parametreler göz önünde bulundurulduğunda sıkıştırma sonu ve yanma sonu basıncının yüksek tutulması sonucu güç artışı elde edilebilmektedir. Ayrıca strok hacmini büyütmek elde edilebilecek gücü doğrudan etkileyebilmektedir.

### 3.2 Strok Hacmi Sabit Kalması Koşuluyla Gücün Arttırılması

Motorlarda boyut ve ağırlık artışı olmadan daha fazla güç elde edebilmek temel beklenenlerden biridir. Bir motorda, strok hacmi sabit kalmak koşuluyla gücün artırılması için uygulanabilir yöntemler şunlardır;

- 1) Sıkıştırma oranının artırılması
- 2) Motor hızının artırılması,
- 3) Dolgu yoğunluğunun artırılması,

#### 4) Volumetrik Verimin Arttırılması

##### 3.2.1 Sıkıştırma oranının arttırılması

Sıkıştırma oranı arttıkça motorlarda termik verim artar. Otto motorlarında sıkıştırma oranı artışı sınırlayan faktör yuruntudur. Dizel motorlarda ise artan sıkıştırma oranıyla birlikte yanma sonu basıncı da artacağından motordaki gaz kuvvetleri artar, dolayısıyla daha dayanıklı bir dizayn gereklidir. Dizel motorlarında sıkıştırma oranı artışı yurutuyu hafifletme, kolay ilk hareket ve termik verim artışı gibi olumlu özellikler sağlamakla birlikte, gittikçe artan sürtünme kayıpları sonucu termik verimde gözlenen artış, sıkıştırma oranı arttıkça azalmaya yol açar. Artan sıkıştırma oranı nedeniyle daha dayanıklı yapının ortaya çıkaracağı kütle artıları, atalet kuvvetlerinin artması olumsuzluğunu da beraberinde getirir. Dizel motorlarında belirli sınırın üstündeki sıkıştırma oranlarında, verim ve dolayısıyla güç artışı yönünde sağlanan kazanç, beraberinde getirdiği olumsuzluklar nedeniyle sınırlandırılır; güç artışı için bu yol uygulama yönünden kısıtlıdır.

Yukarıda de濂ilen sınırlayıcı faktörlerin belirlediği sıkıştırma oranı değişimi otto motorlarında  $7 \div 12$ , dizel motorlarında ise,  $14 \div 22$  mertebeleri arasındadır.

##### 3.2.2 Motor hızının arttırılması

Motor gücü  $P_{me}$  değişimi dikkate alınmadığı takdirde, hız artışına lineer bağlıdır. Teorik olarak hız artışı motorun gücünü lineer olarak artırır. Gerçekte ise, hız artışıyla kişılma kayıpları artarak volumetrik verim azaldığından, sürtünme kayıpları arttığından, dolgu değişimi ve karışım teşkili ile yanma bozulduğundan,  $P_{me}$  de azalma gözlenir. Bu azalma, hız artışına paralel olarak gittikçe motor gücünü düşürür.

Yüksek motor hızlarında, artan atalet kuvvetlerinin karşılanması yönünde dizayn önlemlerinin alınması, karşılaşılan bir diğer problemdir. Günümüz şartlarında otto motorları için rastlanan maksimum hız mertebesi 12000 d/d, dizel motorlarında ise, 5500 d/d değerlerindedir.

##### 3.2.3 Dolgu basıncının arttırılması

Emme sürecinde bir kompresör yardımıyla dolgunun silindirlere sevki, silindirlere sokulan dolguya ve dolayısıyla yanma sonu açığa çıkan enerji seviyesini artırır. Motor gücü, birim zamanda tüketilen yakıt enerjisinin teorik verimle çarpılması sonucu elde edilen değere bağlıdır. Bu değer, hacmi ve hızı sabit bir motorda, dolgunun basınç altında silindirlere

sevkedilmesi yoluyla arttırılabilir.

Aşırı dolduma yoluyla silindirde kalan artık egzos gazlarının sıkıştırılması ve bunun sonucu daha fazla taze, dolgunun silindire sokulabilmesi, ayrıca dolgu değişiminin positif gerçekleşmesi sonucu elde edilen kazanç iş alanı, silindirdeki dolgu yoğunluğunun artışıyla birlikte, daha fazla güç alınabilmesinin temel nedenlerini oluşturur.

Kompresör çıkışında, sıcaklık artışı, artan basıncın yarattığı havanın yoğunluğundaki fazlalaştırmayı zayıflatır. Bununla birlikte, kompresör çıkışında ölçülen aşırı doldurma basıncı değeri, silindirdeki dolgu yoğunluk artışını gösteren önemli bir değerdir.

Aşırı doldurmada, artan ortalama gaz basıncının yarattığı daha fazla sürtünme kaybı ortaya çıkmasına rağmen, mekanik verim net güç artışı nedeni ile daha yüksek olur.

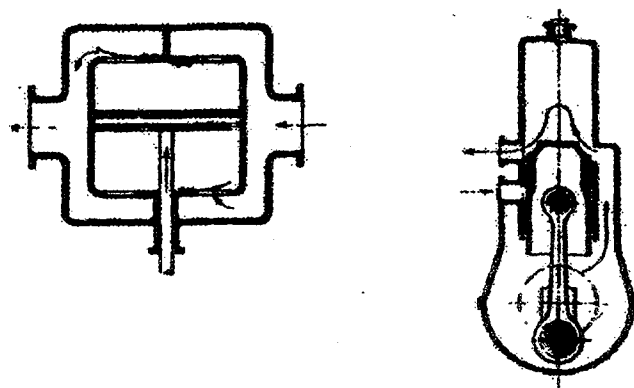
Otto motorlarında aşırı doldurma, sıkıştırma sonu basınç ve sıcaklığını artırdığından vuruntu eğilimi ortaya çıkar. Özel güç artırma amaçları yanında, yüksek irtifalarda çalıştırılan otto motorlarındaki güç kayibinin önlenmesi için, aşırı doldurma yaygın kullanım alımına sahiptir. Motorun vuruntulu çalışma şartına girmesini engellemek için, dolgunun su veya alkol püskürtülerek soğutulması, sıkıştırma oranı, hava fazlalık katsayısı ve aşırı doldurma basıncı değerlerinin isabetli seçimleri, otto motorları için önem taşır.

Aşırı doldurma yoluyla dizel motorlarında sağlanan güç artışı, otto motorlarında olduğundan daha fazladır. Otomotiv alanında kullanılan motorların güç mertebelerinden başlamak üzere, daha büyük güçlerdeki tüm uygulama alanlarında, dizel motorlarının aşırı doldurulması yaygın olarak uygulanmaktadır.

### **3.2.3.1 Aşırı doldurmada kullanılan kompresörler:**

#### **3.2.3.1.1 Pistonlu tip kompresörler**

Pistonlu tip kompresörlerle yapılan aşırı doldurma, motor pistonunun alt yüzünden yarananlarak çalışan veya öteleme hareketi yapan pistonlu kompresörlerle yapılmaktadır. Dengesiz öteleme atalet kuvvetleri ve çıkış basıncında büyük periyodik dalgalanma oluşması nedeniyle, yüksek hızlı motorlar için uygun değildir. Çift etkili pistonlu kompresörlerde periyodik basınç değişimi farkı daha azdır. Düşük ve orta hızlı motorlarda yüksek aşırı doldurma basıncı sağlama ve % 70-75 mertebesinde verimle çalışmaları önemli üstünlükleridir.

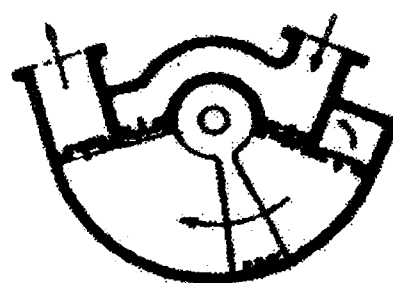


Şekil 3.1 Pistonlu kompresör (Yavaşlıol, 1988)

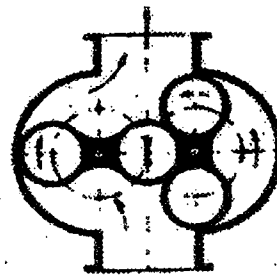
İşgal ettikleri hacmin türboraj ünitesine göre daha fazla olması ve yaklaşık 2.2 kat daha ağır olması, taşıt motorlarında uygulanmamasının belli başlı sebepleridir.

### 3.2.3.1.2 Deplasmanlı kompresörler

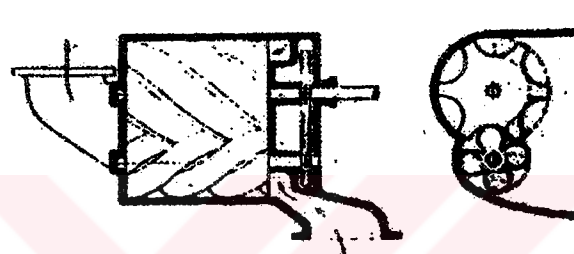
Roots tipi kompresörler aşırı doldurma uygulamasında yaygın olarak kullanılır. İki rotor zit yönde dönecek şekilde aynı hızda tahrik edilirler. Rotorlarla muhafaza arasında  $0.08 \div 0.1$  mm mertebesinde boşluk vardır. Rotorların profilleri trokoidal eğrilerden oluşur.  $\varepsilon_k = 1,2 \div 3,0$  değerleri arasında sıkıştırma oranı sağlanabilir. Az yer işgal etme, ucuz malivet gibi avantajlarının yanında, gürültülü çalışma  $\%45 \div 55$  gibi düşük toplam verim, sıkıştırma oranı arttıkça adyabatik ve volumetrik verimde azalma gibi mahsurlu yanları vardır.



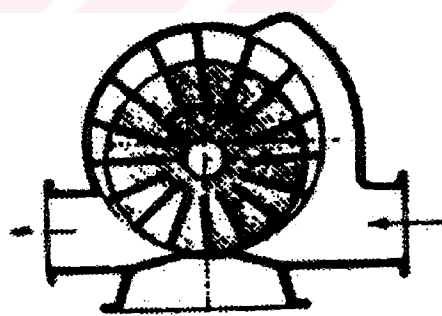
Şekil 3.2 Sarkaçlı kompresör (Yavaşlıol, 1988)



Şekil 3.3 Roots tipi kompresör (Yavaşlıol,1988)



Şekil 3.4 Vidalı tip kompresör (Yavaşlıol,1988)

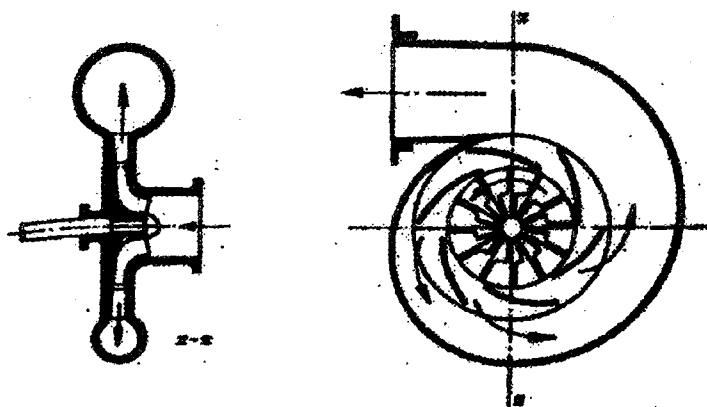


Şekil 3.5 Paletli tip kompresör (Yavaşlıol,1988)

### 3.2.3.1.3 Santrifüj kompresörler

Aşırı doldurma uygulamasında yaygın kullanım alanı vardır. 80000 d/d mertebesine varan yüksek hızlarda çalıştırılırlar. Tek kademe ile sağlanan  $\varepsilon_K = 2,0/1$  sıkıştırma oranı iki veya üç kademe ile daha da artırılabilir. Dişli ile tahrik edilmesi, gürültülü çalışma, ve düşük mekanik

verim gibi olumsuzlukları da beraberinde getirir, Motor hızının en az 8÷12 katı hızda döndürülürler. % 65÷75 mertebesinde adyabatik verim ve % 90÷95 mertebesinde mekanik verimle çalışırlar. Yüksek hızla tahrık edilmelerinin esas nedeni, geçici rejimlerde çalışmada fazla atalet gösterilmesini önlemek için rotor çapının küçültülmesi yoluna gidilmesidir.



Şekil 3.6 Santrifüj kompresör (Yavaşlıol, 1988)

### 3.2.3.2 Aşırı doldurma sınırları

Dizel motorlarında aşırı doldurma üst sınırı, silindirdeki maksimum gaz basıncı seviyesiyle sınırlıdır. Aşırı doldurmasız motorların dizayn emniyet sınırlarının imkan verdiği ölçüde, aşırı doldurma uygulanması yoluyla güçlerini artırmak mümkündür.

Aşırı doldurma basıncı, izin verilen maksimum yanma sonu basıncını sağladıkten sonra, sabit basınç çevrimine göre çalışma sağlanacak şekilde, sınırlanır. Bunun için sıkıştırma oranının azaltılması ve gerekse sabit basınç çevrimine yönelik motorun termik veriminin azalmasına neden olur. Bu durum aşırı doldırmanın avantajını kısmen zayıflatır.

Silindirdeki maksimum gaz basıncının artması, segman ve silindirdeki aşınmaları artırır, krant milinde, biyelde, ana ve kol yataklardaki zorlanmaları artırır, silindir kafası saplamalarında kafa contası sızdırmazlığı bozulacak derecede elastikiyete yol açabilir.

Aşırı doldurmada bir dizel motorda güvenilir çalışma şartları için, maksimum silindir gaz basıncı 85 bar, sıkıştırma oranı 15/1, ve aşırı doldurma basınç oranı 2 değerleri örnek olarak verilebilir. Bununla birlikte; aşırı doldurma basınç oranı  $p_k/p_a = 3,5 \div 4$  maksimum gaz basıncı  $100 \div 120$  bar ve  $P_{me} = 10 \div 20$  bar mertebelerine ulaşan aşırı dolduma uygulamaları mevcuttur.

### 3.2.3.3 Aşırı doldurma yöntemleri

Aşırı doldurma enejisinin elde edilmesine bağlı olarak uygulanan aşırı doldurma yöntemleri şunlardır:

- 1) Enerjisi dış kaynaktan sağlanan aşırı doldurma
- 2) Mekanik aşırı doldurma
- 3) Turboşarj

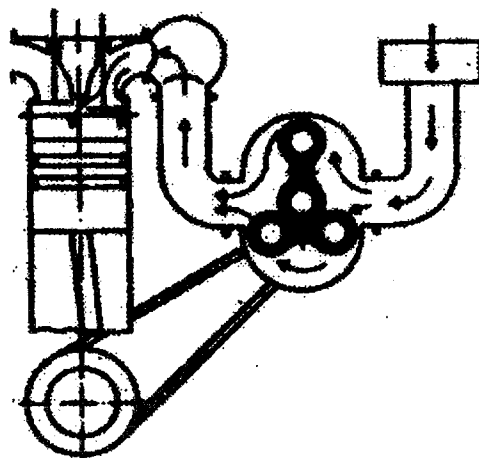
Emmedeki basınç dalgalarının enerjisinden yararlanılarak yapılan KOMPEX sistemini, mevcut problemleri nedeniyle yaygın kullanım alanı bulmuş durumdadır.

#### 3.2.3.3.1 Enerjisi dış kaynaktan sağlanan aşırı doldurma

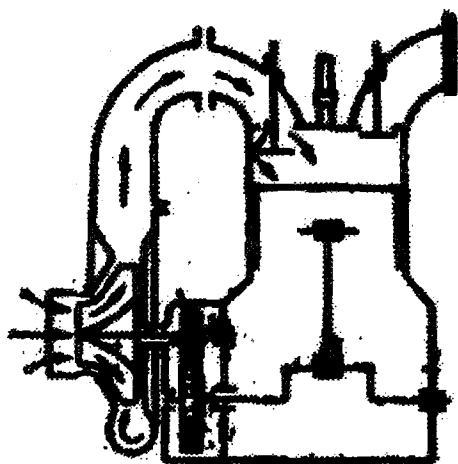
Kompresör enerjisi, motorun dışındaki bir kaynaktan sağlanır. Örneğin, şebekeden enerji alan bir elektrik motorunun tahrif ettiği kompresörle, motorun işletme hızı ve yükünden bağımsız olarak aşırı doldurma yapılabilir. Küçük bir içten yanmalı motorun gücüyle kompresör tahrif edilebilir. Ancak, yapım maliyetinin fazlalığı nedeniyle bu yöntemin yaygın uygulama alanı yoktur. Turboşarj performansının motor hızı değişiminden aşırı etkilenmesi nedeniyle bazı iki stroklu turboşarj yöntemlerinde bu yöntem uygulanmaktadır

#### 3.2.3.3.2 Mekanik aşırı doldurma

Bu yöntemde kompresör motor tarafından doğrudan zincir, kayış veya dişli vasıtasyyla tahrif edilir. Santrifüj ve roots tipi koopresörlerle yapılan mekanik aşırı doldurma basit ve ucuz oluşu nedeniyle, küçük, güçlü motorlarda yaygınla uygulanır.



Şekil 3.7 Roots kompresörlü mekanik aşırı doldurma (Yavaşlıol, 1988)



Şekil 3.8 Santrifüj kompresörlü mekanik aşırı dolduruma (Yavaşlıol, 1988)

Sıkıştırma etkisiyle kompresör çıkışında dolgunun sıcaklığı artar. Dolgu sıcaklığının artması silindire giren dolgu miktarını azaltacağından bunun önlenmesi için, bazı motorlarda kompresörle emme manifoldu arasına soğutucu yerleştirilir. Soğutucu kullanımını yoluna genellikle  $\varepsilon_k = p_k/p_0 > 2$  ve kompresör çıkışındaki sıcaklık  $t_k = 110^{\circ}\text{C}$  şartlarında gidilir. Dolgunun soğutulması, silindire sevk edilen dolgu miktarını artırmadan yanında, motor elementlerinin soğutulmalarına da yardımcı olarak maruz kaldıkları ternik zorlanmaları hafifletir. Normal olarak, sürekli çalışmada egzos gazı sıcaklığının üst sınırı  $600^{\circ}\text{C}'\text{l}$ , kısa süreli çalışmalarda ise  $650^{\circ}\text{C}'\text{yi aşmamalıdır.$

Karbüratörlü motorlarda, kompresör karbüratörden önce veya sonra sisteme yerleştirilir. Karbüratörden önce yerleştirilmesi halinde sabit seviye kabından yakıt sızmaması için gereken önlemin alınmasına özen gösterilmelidir. Karbüratörden sonra kompresörün yerleştirilmesi halinde ise, yanma odasından emme sistemine kaçması muhtemel yanma gazlarının emme sistemindeki karışımı tutuşturmasını ve kompresörde alev tepmesi olmasını önlemek için kompresörden sonra sisteme emniyet valfi yerleştirmek gereklidir.

Kompresörleri tanımlayan temel parametreler; kompresör sıkıştırma oranı  $\varepsilon_k = p_k/p_0$ , kompresör gücü, debi ve kompresör adyabatik verimidir. Sıkıştırmanın adyabatik olduğu varsayılsa, kompresör 1 kg havanın  $p_0$  basıncından  $p_k$  basıncına çıkarılabilmesi için gerekli iş:

$W_{ad}$  : Adyabatik sıkıştırma işi

$c_p$  : Havanın özgül ısınma ısısı

$T_o$  : Havanın sıcaklığı

$\varepsilon_k$  : Sıkıştırma oranı

$k$  : Adyabatik üst

$$W_{ad} = c_p \cdot T_o \cdot \left( \varepsilon_k^{\frac{k-1}{k}} - 1 \right) \quad (3.12)$$

formülüyle belirlinir. Gerçekteki sıkıştırmada, ısı alışverişi ve sızdırmazlık kayıpları nedeniyle adyabatik kompresör işi fazlalaşır. Bu durum, kompresörün adyabatik verimiyle dikkate alınır ve 2.13 ifadesiyle tanımlanır

$\eta_{ad}$  : Adyabatik verimi

$W_k$  : Sıkıştırma için gerçekle harcanan iş

$$\eta_{ad} = \frac{W_{ad}}{W_k} \quad (3.13)$$

Gerçekte 1 kg havanın kompresörde sıkıştırılması için harcanan iş; 2.14 formülüyle belirlenir

$$W_k = \frac{c_p}{\eta_{ad}} \cdot T_o \cdot \left( \varepsilon_k^{\frac{k-1}{k}} - 1 \right) \quad (3.14)$$

Kompresör tahrik gücü ise; 2.15 formülünde görüldüğü gibi hesaplanır.

$N_k$  : Kompresörün tahrik gücü

$\eta_m$  : Mekanik verim

$m_h$  : Hava debisi

$$N_k = \frac{W_k}{\eta_m} \cdot m_h \quad (3.15)$$

$$N_k = \frac{c_p \cdot T_o \cdot m_h}{\eta_{kt}} \cdot \left( \varepsilon_k^{\frac{k-1}{k}} - 1 \right) \quad (3.16)$$

$$N_k = \frac{R \cdot T_o \cdot m_h}{\eta_{kt}} \cdot \left( \frac{k}{k-1} \right) \cdot \left( \varepsilon_k^{\frac{k-1}{k}} - 1 \right) \quad (3.17)$$

$$\eta_{kt} = \eta_{ad} \cdot \eta_m \quad (3.18)$$

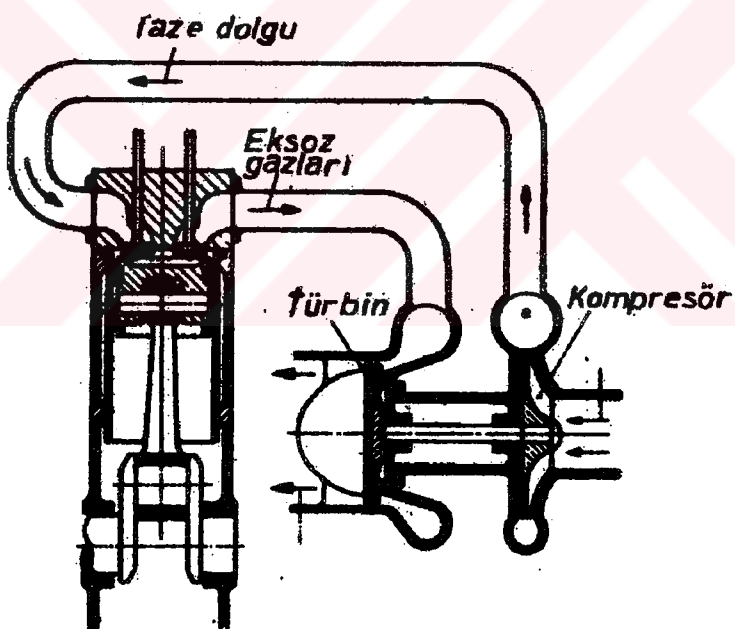
Düşük kompresör sıkıştırma oranıyla aşırı doldurmada daha yüksek adyabatik verim sağlandığı için, roots tipi kompresörler daha uygundur. Roots tipi kompresörlerde  $\varepsilon_k=1,3$  için

$\eta_{ad}=0.65$  mertebesinde iken,  $\epsilon_k=2$  olması halinde  $\eta = 0.5$  mertebesine düşmektedir.

Yüksek sıkıştırma oranlarında paletli tip kompresörler yüksek verimle çalışma sağlamaktır, yüksek hızlı motorlarda ise, santrifüj veya aksiyal tip kompresörler daha yüksek adyabatik verime ulaşmaktadır.

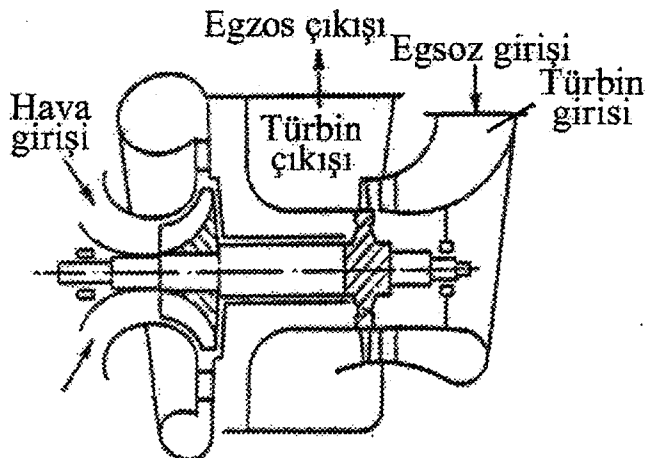
### 3.2.3.3.3 Turboşarj

Silindirden atılan egzos gazlarının genişleme sonundaki enerjileri bir gaz turbini vasıtasıyla mekanik işe dönüştürülür. Gaz turbininin mekanik enerjisi, miline bağlı bir kompresörü tahrif ederek, aşırı doldurma havasının sıkıştırılması sağlanır. Bu şekilde türbin ve kompresör ünitesiyle sağlanan aşırı doldurma "Turboşarj" olarak tanımlanır. Türbin ve kompresör ünitesinin toplam kütlesi motor kütlesinin %8'ini geçmez. Turboşarjlı motorlarda birim güç maliyetinin daha az olması ve %50' nin üstünde güç artışı sağlama nedeniyle, otomotiv dahil geniş uygulama alanı vardır.



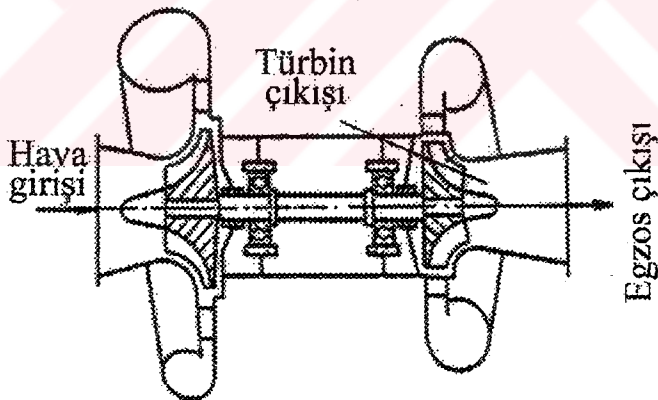
Şekil 3.9 Turboşarj yöntemiyle aşırı doldurma prensibi (Yavaşlıol, 1988)

Aşırı doldurmada yanma daha çok hava fazlalık katsayısıyla gerçekleştiğinden egzos gazlarındaki zararlı emisyon yüzdeleri azalır. Ancak yüksek yanma sonu sıcaklığı  $NO_x$  oluşumunu artırrır. Turboşarjlı motorlarda hız azalması, çevrim başına silindirden atılan egzos gazlarının fazla değişmediği göz önüne alındığında, türbine giren egzos gazlarının sıcaklıklarının düşmesine yol açar.



Şekil 3.10 Aksial türbin ve radyal kompresörlü turboşarj ünitesi [7]

Bu durum, türbin gücünü düşürür ve daha düşük güçle tahrik edilen kompresörün çıkış basıncı  $p_k$ 'yı azaltır. Turboşarj yönteminde aşırı doldurma basıncının motor hızına bu şekilde bağımlılığı, reserv moment sağlanamaması nedeniyle motorun ivmelenmesini kötülestirir.

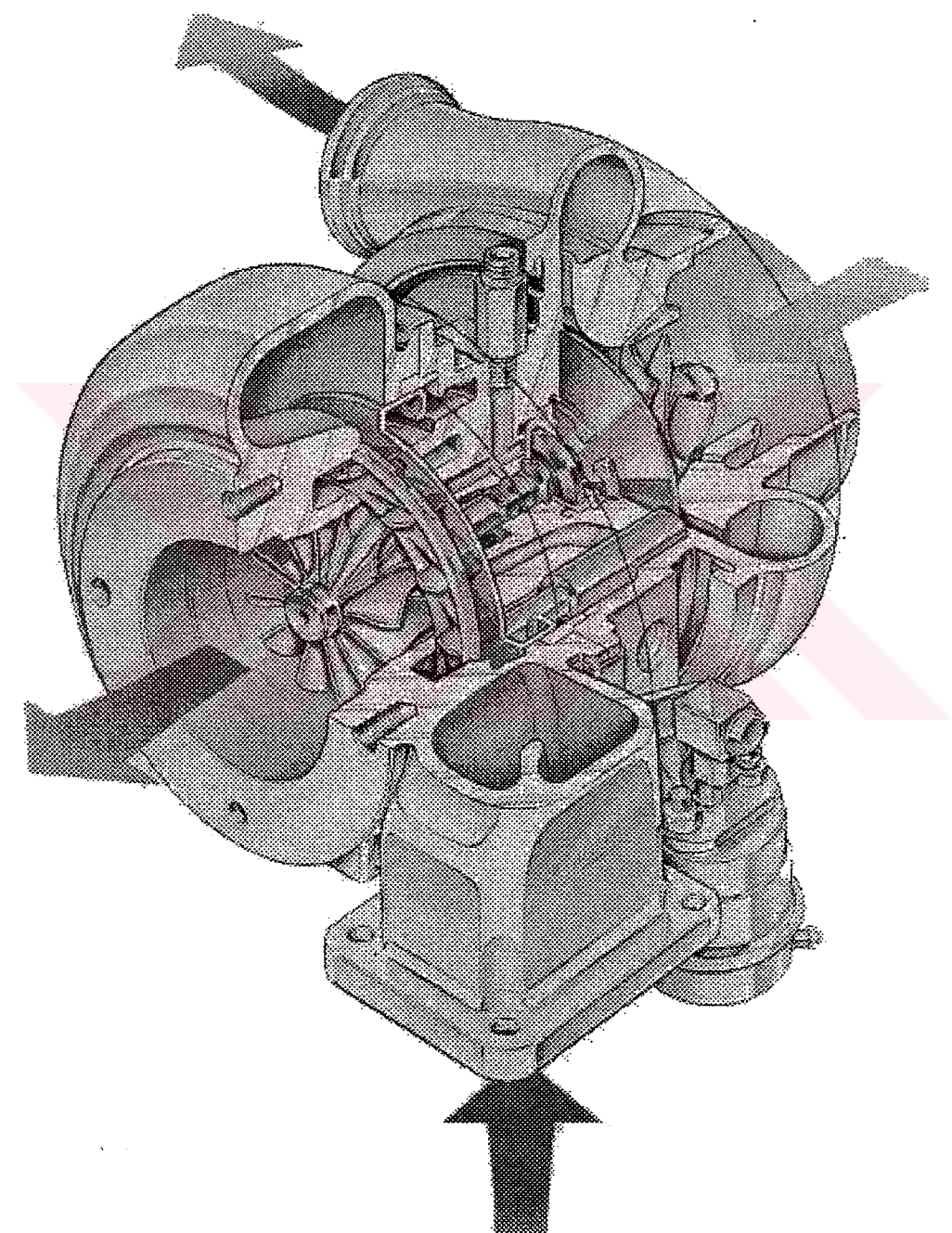


Şekil 3.11 Radyal türbin ve radyal kompresörlü turboşarj ünitesi [7]

Aşırı doldurmanın etkinleştirilmesi için, egzos süpabı serbest kesitinin zamana göre değişim değerinin artırılması için dizaynda özen gösterilmesi gereklidir.  $\varepsilon_k > 2$  şartlarında turboşarj yöntemiyle aşırı doldurma için genelde iki egzos ve iki emme süpabı uygulası yoluna gidilir. Mekanik ve termik zorlanmaların makul sınırlarda tutulabilmesi için  $1,6 \div 1,8$  sınırlarında tutulmalıdır.  $\varepsilon_k > 2 \div 2,2$  şartlarında, kompresör çıkışında hava soğutucu kullanılması yoluna gidilir. Yaklaşık olarak hava sıcaklığı  $10^{\circ}\text{C}$  düşürülmesi yoğunluğu %3, aynı özgül yakıt

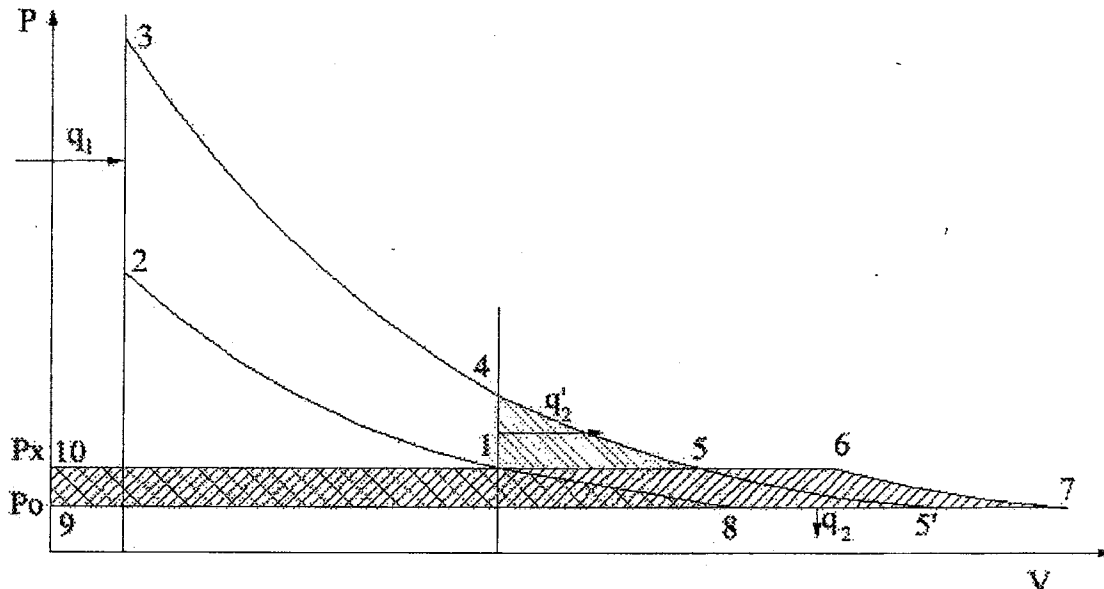
sarfiyatı için gücü %3 arttırmaktadır.

Türbin çevresel hızı taşıt motoru uygulamasında  $250 \div 380$  m/s arasındadır. Türbin rotor çapının artması türbin ünitesinin ataletini artıracagından, bu durum motorun ivmelenmesini olumsuz etkiler. Bu nedenle türbin rotoru dış çapı küçük tutulur. Nominal işletme şartlarında, türbin hızları  $50.000 \div 80.000$  d/d arasında değişir.



Şekil 3.12 Radyal turboşarj grubu [7]

### 3.2.3.3.3.1 Turboşarj sisteminin termodinamik çevrimi



Şekil 3.13 Aşırı doldurma basıncı ve türbin giriş basınçlarının aynı olmaları halinde P-V diagramı (Yavaşlıol, 1988)

8.1.10.9.8 :Kompresör işi (-)

4.5.1.4 :Silindirde genişleme olsa kazanılacak alan egzos hacimde 4-1 arasında silindirden atılan egzos gazlarının  $p_k = \text{sabit}$  şartında 6'ya kadar genişlemesinde sıcaklığı, adyabatik genişlemeyle erişilen 5 noktasındaki sıcaklıktan  $200 \div 350^\circ\text{C}$  kadar daha fazladır.

6.7.9.10.6 :Egzos türbinde kazanılan iş (+)

$P_6$  : Türbin kanatları önündeki basınç

$P_1$  : Kompresör çıkışındaki basınç

$q_2'$  : 4 - 1 genişlemesinde silindirden atılan ısı, 1 - 6 arasındaki türbine verilerek, türbinde kullanılır.

$q_2$  : Türbinde 7 - 8 arasında dış ortama atılan ısı.

Silindirdeki yanma gazlarından dışarı süpürülmeleri için gerçekte kompresör çıkışındaki  $p_k$  basıncının, türbin girişindeki  $P_6$  basıncından daha büyük olması sağlanır. Kompresörde elde edilmesi istenen  $\varepsilon_k$  basınç oranı için gerekli güç ifadesi belirlenmiştir.

Gaz türbininde 1 kg gazın genişlemesinden sağlanacak adyabatik genişleme işi:

$$W_{ad} \cdot T = \frac{k_1}{k-1} \quad (3.19)$$

$$R_{ex} \cdot T_t \cdot \left( 1 - \frac{1}{\varepsilon_t^{\frac{k_1-1}{k_1}}} \right) \quad (3.20)$$

$$\varepsilon_t = \frac{P_6}{P_0} = \frac{P_t}{P'_0} \quad (3.21)$$

$P_b, T_t$  : Türbin girişindeki basınç ve sıcaklık

$P'_0$  : Türbin çıkışındaki basınç

$k_1$  : Egzos gazlarının adyabat üssü

$\eta_t$  : Türbin verimi

$$\eta_t = \eta_{adt} \cdot \eta_{mt}$$

$W_{te}$  : Türbin efektif işi

$$W_{te} = \eta_t \cdot W_{adt}$$

$N_t$  : Türbinin ürettiği güç

$$N_t = m_g \cdot W_{adt} \cdot \eta_t$$

$m_g$  : Türbinden geçen egzos gazi miktarı

$$m_g = m_h + m_y \text{ (kg/s)}$$

Türbin verimi, ( $\eta_t$ )  $0.65 \div 0.70$  mertebelerindedir

Türbinin ürettiği güç ile, istenen  $\varepsilon_k$ 'yı sağlamak için gereken kompresör gücünün eşitlenmesinde türbinde sağlanması gereken  $\varepsilon_t$  türbindeki genişleme oranı hesaplanır. Buna göre;

$$\frac{k}{k-1} \cdot R \cdot T_0 \cdot \left( \varepsilon_k^{\frac{k-1}{k}} - 1 \right) \cdot \frac{m_h}{\eta_{kt}} = \frac{k_1}{k_1-1} \cdot R_{ex} \cdot T_t \cdot \left( 1 - \frac{1}{\varepsilon_t^{\frac{k_1-1}{k_1}}} \right) \cdot m_g \cdot \eta_t \quad (3.22)$$

$\eta_{ts}$  : Türbokompresör toplam verimi

$$\eta_{ts} = \eta_t \cdot \eta_{kt}$$

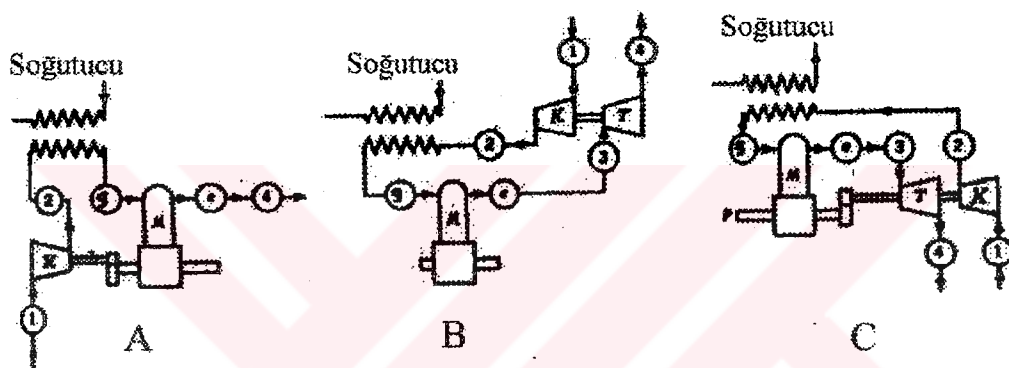
Turbo kompresör verimi  $0,4 \div 0,6$  mertebeleri arasındadır.

Kompresörde sıkıştırılırken hava ısınacaktır. Isınan havanın özgül hacmi artacaktır. Motorda silindire alınan havanın miktarı olduğu için böyle bir durumda motorun volumetrik verimi

düşecektir. Bu yüzden yüksek sıkıştırma ve ağır çalışma şartlarında ara soğutucu kullanmak uygun olacaktır.

Şekil 3.14'de A ile gösterilen şema ara soğutmalı mekanik aşırı doldurma sistemini göstermektedir. B ile gösterilen şema ise ara soğutmalı turboşarj sistemini göstermektedir. C ile gösterilen şema da ise ara soğutmalı kompaund aşırı doldurma sistemini göstermektedir.

İki stroklu motorlarda yeterli süpürme sağlanabilmesi için silindire gönderilen fazla havanın bir kısmı egzos gazlarıyla birlikte egzosdan dışarı atılır. Egzos gazlarına karışan süpürme havası gaz sıcaklığının düşmesine yol açar. Bu durum, kompresör tahrik gücünü azaltır ve problem yaratır.



Şekil 3.14 Ara soğutmalı aşırı doldurma sistemleri (Yavaşlıol, 1988)

Türbin gücünün azalması, geçici rejimde çalışmayı bozma ve motor maksimum performansını düşürme aksaklılarını beraberinde getirir. Eşit türbin ve komprsör güç şartları için, ara soğutmalı mekanik veya turboşarj sistemleri uygunudur. Süpürme sağlanabilmesi için  $p_k > p_t$  şartı elde edilmelidir. Türbin basıncının atmosferik basınçca oranı ( $p_t/p_0$ ) aşırı doldurma derecesini tanımlar.

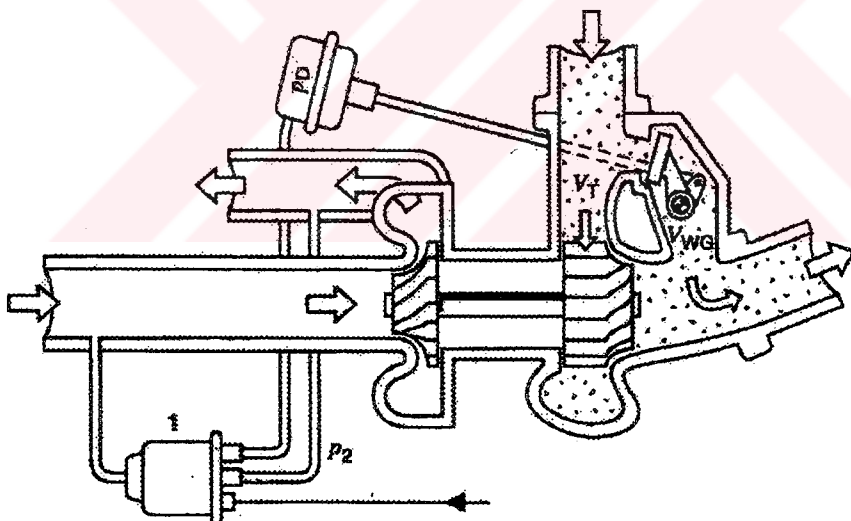
Bu aksaklılığın giderilmesi ve istenilen aşırı doldurma seviyesinin sağlanabilmesi için, ihtiyacı karşılayacak şekilde sisteme mekanik tahrikli kompresör eklenir.

### 3.2.3.3.3.2 Turboşarj sisteminde vuruntunun engellenmesi

Turboşarj ile aşırı doldurulan sistemler düzenlenirken aşırı doldurmaya ihtiyaç olan devirler belirlenir. Kompresörün ve turbinin dizaynı buna göre yapılır. Sonuç olarak sisteme müdahale sınırlıdır. Vuruntu oluşumu sırasında ateşleme avansı azaltılarak önlem alınır. Ancak sisteme yine aşırı yüklenmektedir.

Otomobillerde genellikle düşük devirde yüksek tork elde etmek için turboşarj ile aşırı doldurma uygulamasına gidilmektedir. Devir yükseldikçe, düşük devirdeki aşırı doldurma miktarı motorun yapısını zorlamaya başlayacaktır. Yüksek devirlere çıkıldıkça aşırı doldurma ihtiyacı ortadan kalkacaktır. Bu nedenle yüksek devirlerde aşırı doldurma sisteminin devreden çıkarılması gerekmektedir.

Sistemin devreye sokulup çıkartılmasında pnömatik-mekanik sistem kullanılmıştır. Sistemde turbine giden egzos gazlarının turbine girmeden dışarı atılabileceği bir by-pass kanalı vardır. Bu kanal kompresör çıkış basıncı düşükken ve gaz kelebeğinin yarattığı kısırlama etkisi azken açılır. Gaz kelebeğinin kısırlama etkisi gaz kelebeği açık ve motor yüksek devirde çalışırken azdır. Kompresör basıncının düşük olması motorun ralanti devrine yakın çalıştığını göstermektedir. Ancak sistemin özelliği verimi düşürmektedir. Bunun yanında düşük devirden başlayan ani hızlanma isteğinde turboşarj sisteminde bir tepki geçikmesi görülmektedir, yani sistem geçikmeyle devreye girmektedir. Bu dezavantajlar kompresör çıkış basınc kontrolünün elektronik olarak yapılmasını gündeme getirmiştir.



- $P_1$  : Kontrol valfi
- $P_D$  : Diafram basıncı
- $P_2$  : Kompresör çıkış basıncı
- $V_T$  : Tübine giren gaz hacmi
- $V_{WG}$  : By-pass gaz hacmi

Şekil 3.15 Kompresör çıkış basıncı kontrolu (Robert Bosch GmbH, 1995)

Şekil 3.15'de görülen sistem elektronik kontrol ünitesinden aldığı sinyalle türbine giden egzos gazının debisini ayarlamakta, dolayısıyla da kompresör çıkış basıncına müdahale etmektedir. Elektronik kontrol ünitesi şekilde "1" ile gösterilen kontrol valfinde gönderdiği sinyalle by-pass hattını kontrol eden diafram arkasına bir basınç gönderir. Kontrol valfinde bu diafram basıncı emme manifoldu basıncı ve kompresör çıkış basıncı kullanılarak ayarlanır. Dolayısıyla kompresör çıkış basıncı düşük olduğunda by-pass hattı kapalı olmak durumundadır. Kompresör basıncının aşırı arttığı ya da motorda vuruntu söz konusu olduğunda diafram basıncı arttırılarak egzos gazlarına by-pass yaptırılır. Turbine giden gaz debisi düşünce kompresör basıncı da düşecektir. Diafram basıncının hassas bir şekilde ayarlanabilmesi sayesinde istenilen kompresör çıkış basıncı elde edilir.

### **3.2.4 Volumetrik verimin arttırılması**

Motorlarda dolgu değişimi, yakıtın yanması sonucu silindirde oluşan egzos gazlarının egzos süpabının açılması ile silindirden dışarı atılması ve emme süpabının açılarak yerine taze dolgunun silindire alınması olayı olarak tanımlanır. Dolgu değişiminin esas amacı mümkün olduğu kadar fazla sıcak egzos gazlarını dışarı atıp, yerine taze dolgu emmektedir. Motorlarda tüm çalışma şartları silindirin içine alınabilen taze dolgu miktarıyla ilgilidir. Böylece silindir hacmi sabit kaldığı halde daha fazla yakıtlararak daha fazla güç elde edilebilir. İster atmosferik ister aşırı doldurmalı olsun silindir içerisinde doldurulabilen taze dolgu miktarı güç açısından önemlidir. Volumetrik verim kavramı atmosferik motorlarda daha da önem kazanmaktadır. Çünkü tanım olarak volumetrik verim; emme esnasında silindir içerisinde emilen taze dolgu miktarının, silindir içerisinde emilebilecek maksimum dolgu miktarına oranıdır. Aşırı doldurmalı motorlarda silindire emilebilecek maksimum dolgu miktarının üzerinde kompresör yardımıyla rahatlıkla çıkışılabilir.

Egzos, süperpozisyon ve emme proseslerinden oluşan dolgu değişimine etki eden faktörler ve bunların etkileme yönleri belirtilmek istendiğinde ilk sırayı dolgu değişimi aralığının birinci aşaması olan egzos işleminin alacağı gayet açıkta. Egzos süpabının belirli bir avansla değil de alt ölü noktası açıldığı düşünüldüğünde egzoz gazlarının dışarı atılması için yeterli zaman olmayacağından, süperpozisyondan beklenen özellikler ters yönde gerçekleşecektir. Bunun nedeni, süperpozisyon prosesinin başında silindir içindeki basıncın yüksek olması nedeniyle içeriye taze dolgu giremeyecek olmasıdır. Silindir içerisinde kalan egzos gazları yanmada da olumsuz etki yaratacaktır. Egzos süpabının açılma avansının çok büyük olması ise yanmış gazların enerjisinden uygun bir şekilde yararlanılamamasına sebep olur.

Yanma kalitesi karışım mükemmelliği ile ilgilidir. İyi bir karışım oluşması ise gaz hareketlerinin yeterli bir düzeyde olması sonucu ortaya çıkacaktır. Gaz hareketlerinin iyi olması egzos prosesinin yeterli olması ile gerçekleşeceğinden esas amaç olan, emme prosesinde mümkün olan en fazla dolguyu emmenin ön koşulu, egzos prosesinin yeterli bir düzeyde olmasıyla mümkündür. Bu da egzos süpabının belli bir avansla açılmasını gerektirmektedir. Egzoz prosesinin yeterli bir düzeyde olması süperpozisyondan beklenen özellikleri gerçekleştirecektir.

Bilindiği gibi emme süreci egzos sürecinden hemen sonra gelir ve egzos süreci sonunda egzos sisteminin gösterdiği dirence bağlı olarak atmosfer basıncından daha yüksek basınçta bir miktar egzos gazı silindir içerisinde kalır. Sıkıştırma hacminde kalan bu egzos gazına art gaz denir. Piston Ü.O.N.'dan A.O.N.'ya giderken önce artgazların basıncı düşer. Pistonun yoluna devam etmesiyle taze dolgu emilmeye başlar. Bu durumda silindir içerisindeki basınç emme sisteminin direncine bağlı olarak atmosfer basıncının altına düşer. Sonuç olarak silindir içeresine doğru akış oluşur. Bu sırada gerek art gazlar gerekse silindir çeperlerinin sıcaklığı nedeniyle taze dolgu ısınır ve basıncı yükselir. Silindir içi basıncı ortam basıncına ulaştığında akış durur. Bu nedenlerden ötürü silindir içeresine alınabilen taze dolgu miktarı azalır. Motorda bu durum düzeltilmeye çalışıldıkça güçte artış görülecektir.

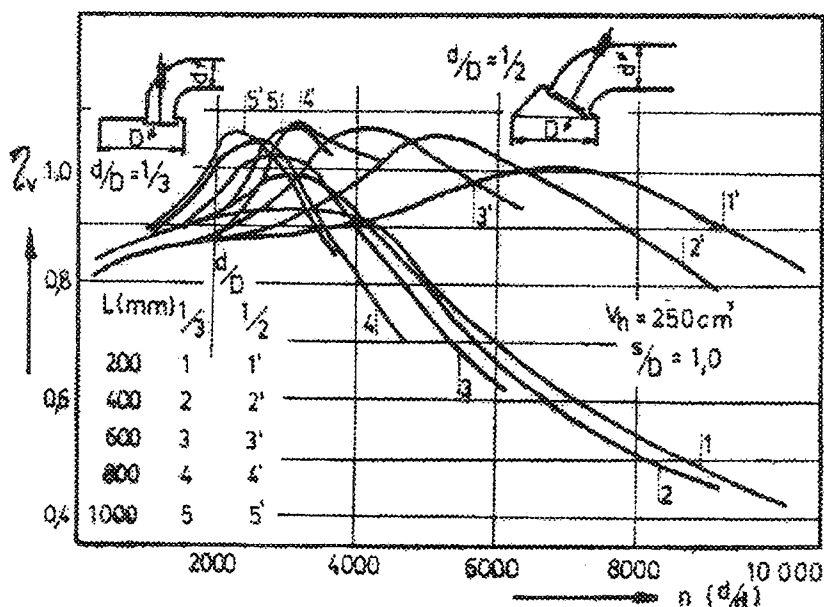
Motordaki hız artışının emme sistemindeki hidrolik kalıplara direk etkisi olduğu daha önce açıklanmıştır. Aynı zaman devir atrışıyla egzos sistemindeki kayıplar da artmaktadır. Böylece silindir içerisinde daha fazla art gaz kalır ve volumetrik verim düşer denebilir. Ancak dolgu değişsinde emme ve egzos manifoldundaki basınç dalgalarının da etkisi vardır. Bu nedenle belli bir devir sayısına kadar volumetrik verim artar. Motor daha da hızlandıktan sonra volumetrik verimde düşme gözlenir. Otto motorlarının güçlerinin belli bir devirden sonra düşme eğilimine girmesinin ana nedenlerinden biride budur.

Yukarıda belirtilen durumları ortadan kaldırmak amacıyla bazı konstrüktif tedbirler alınabilir. Bunlardan bir tanesi süpab kesitlerinin genişletilmesidir. Hem emme hem egzos süpabının kesitini büyütülmesi hidro mekanik dirençleri azaltacaktır. Emme süpabı genişletildiğinde dolgu daha az kısılmaya ugrayacaktır ve rahat akacaktır. Süpab kesitlerinin büyülüüğü süpab kalkış mesafesiylede ilgilidir. Kalkış mesafesini artırmakla da akış rahatlatılabilir. Ayrıca süpab sayısı artırılarak silindir başı daha verimli kullanılabilir. Günümüzde silindir başına 4 süpablı motorlar standartlaşmış durumdadır. Yeni dizayn edilen tüm motorlar çok süpablıdır. Silindir kafasına yerleştirilmiş süpapların çapları büyütüldükçe süpaplar arasında kalan yer azalacaktır. Süpaplar birbirlerine yaklaşacak aralarında kalan et kalınlığı azalacaktır. Bu kısım

yüksek ıslı gerilmelere maruz kalmaktadır. Bir tarafından sıcak egzos gazları geçerken bir tarafından soğuk taze dolgu geleceğinden bu arada kalan et kalınlığını oluşturan ıslı gerilmelere dayanacak şekilde dizayn etmek gerekir.

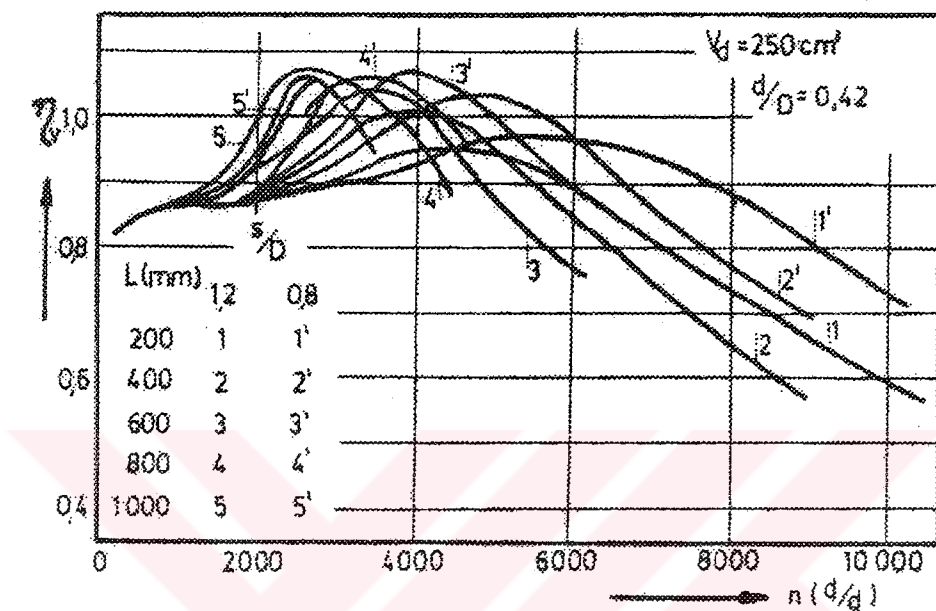
Volumetrik verimin yükseltilmesinde bir diğer önlem süpabların avansla açılıp, geçikmeyle kapanmasıdır. Emme süpabının avansla açılıp, geçikmeyle kapanması sayesinde emme süreci uzamiş olur. Aynı durum egzos süpabı ve egzos süreci için de geçerlidir. Böylelik de daha fazla egzos gazı dışarı atılır ve daha fazla taze dolgu içeri alırmış. Sonuç volumetrik verimin artması ve gücün yükselmesi olarak karşımıza çıkar. Ancak süpabın avansla açılması sırasında piston da üst ölü noktaya yaklaşmaktadır. Süpap zamanlaması ve süpap kalkışını sınırlayan en büyük etken de budur. Süpapların hareketleri, atalet kuvvetleri sebebiyle istediği kadar hızlı olamamaktadır. Süpap hareketlerini keskinleştirmek süpap üzerine binen yükleri artırmaktadır. Yüksek devirlerde süpabın kam mili profilini tam olarak takip edebilmesi için süpap yaylarının sertleştirilmesi gerekir. Bu durum mekanik kayıpları artıracak ve kam mili tahrik sisteminde zorlamalara sebep olacaktır.

Motorun volumetrik veriminin mümkün olduğu kadar yüksek olması için motorun çalışma hızına uygun emme kanalı kesiti ve boyunun belirlenmesi gereklidir. Emme kanalındaki kayıpları en düşük seviyede tutmak için düşünülmeli gereken ana unsurlar, emme kanal çapının mümkün olduğu kadar büyük ve yüzey pürüzlülüğünün mümkün olduğu kadar az olmalıdır.



Şekil 3.16 Emme kanalı uzunluğuna ve kanal / silindir çapına göre volumetrik verimin değişimi (Gülen, 1981)

Küçük çaplı emme kanalları düşük devirlerde büyük çaplı emme kanallarından daha iyi bir volumetrik verim sağlarken, devir yükseldikçe küçük emme kanalları, volumetrik veriinde hızlı bir düşüşe sebep olur. Yüksek devirlerde büyük çaplı emme kanalları daha iyi bir performans gösterirler. Büyük emme kanalı çapları daha geniş bir devir aralığında yüksek volumetrik verim sağlarlar.



Şekil 3.17 Strok/çap oranı ve emme kanlı boyunun volumetrik verim üzerindeki etkisi  
(Gülen, 1981)

Öte yandan, özellikle yüksek devir sayılarında emme kanalı boyunun volumetrik verime önemli miktarda etki ettiğini de gözden uzak tutmamak gereklidir. Düşük devirlerde uzun emme kanalları artı performans getirirken yüksek devirlerde kısa emme kanalları volumetrik verimin daha yüksek olmasını sağlarlar.

Ayrıca vuruntu olayının motora zarar verdiği ve gücü düşürdügünden bahsedilmişti. Süpab bindirmesi yada süpabların süper pozisyon durumu egzos ve emme süpablarının aynı anda açık olma durumudur. Bu süre uzarsa vuruntu olasılığı da azalır. Bu durumda egzos gazları silindir içerisinde emme havasıyla tamamen süpürülür. Silindir içerisindeki art gaz miktarı azalır. Aynı zamanda taze dolgu art gazlar tarafından ısıtılmadığı için sıcaklığı düşük olur. Böylece vuruntu olasılığı da azalır. Ancak bu durum otto motorlarında süpürücü gaz hava-yakıt karışımı olduğundan bir miktar yakıtın yanmadan dışarı atılmasına sebep olur. Bu durum yakıt harcamını arttırır. Dizel motorlarında böyle bir problem yoktur, çünkü süpürücü gaz sadece havadır.

### **3.2.4.1 Süpab zamanlaması konusunda konstruktif uygulamalar**

Volumetrik verimin arttırılması konusunda yapılan çalışmalar sonucu günümüzde kullanılan yüksek devirli ve geniş çalışma aralığına sahip motorda bazı uygulamalar yapılması ihtiyacı doğmuştur. Bu uygulamalar “değişken süpab zamanlaması sistemleri” adı altında toplanmaktadır. Bu sistemlerde motordaki süpabların zamanlaması devirlere göre değişir. Havanın silindire giriş ve çıkışı devirlere göre farklılık gösterir. Normal motorlarda daha çok kullanılan orta devirlere göre süpab zamanları belirlenirken, yarış otomobillerinde de yüksek devirlere göre zamanlamalar kullanılır. Binek otomobilinmotorları bu nedenle motor orta devirlerde verimli çalışırken ralanti gibi çok düşük devirlerde ve çok yüksek devirlerde yeterince verimli değildir. Aynı şekilde yüksek devirlerde performans sağlayacak şekilde hazırlanan motorlar da düşük devirlerde verimli çalışmaz. Bunun sonucu olarak çok yakıt tüketirler. Değişken süpab zamanlaması bu iki farklı ayarın motora aynı anda uygulanmasına olanak tanıyor. Motor işletim sistemi devire göre hangi süpab zamanlamasının kullanılacağını belirliyor ve her devirde en verimli çalışmayı sağlıyor. Böylece motor düşük devirlerde az yakıt tüketirken yüksek devirlerde de iyi bir performans sunuyor. Değişken süpab zamanlamasına sahip motorlarda motor hacminin litresi başına elde edilen güç yüksektir.

Kam mili zamanlaması değişik yollardan otto motorlarında şu etkileri gösterir;

- Düşük yakıt harcamı ve egzos emisyonlarına karşı yüksek tork ve güç çıkışı
- Hava yakıt karışım kontrolü
- Gelişmiş yada tamamiyle değiştirilebilir emme ve egzos ayarlaması

Emme süpabinin kapamışı, motor devrine bağlı olarak silindirin doldurulmasında kesin rol oynar. Eğer emme valfi erken kapanırsa düşük devirlerde maksimum dolgu alınabilir, çünkü emme süreci zaman olarak uzundur. Yüksek devirlerde ise emme strokuna denk gelen zaman azalacağından emme aynı başarıyla yapılamaz.

Ayrıca süpabları süper pozisyonu silindir içerisinde kalan artık gazların miktarını belirler.

Emme zamanını artırmak için emme süpabı açılış avansı çok artırırsa, piston içerisinde basıncı yüksek olan artık gazlar emme manifolduna geçmeye çalışacaktır. Bu durum bir sonraki çevrimdeki artık gaz oranını artırırken, taze dolgu miktarını azaltacaktır. Dolayısıyla volumetrik verim düşecek, bunun sonucu olarak da elde edilen güç düşecek yakıt harcamı artacaktır.

Emme sürecinin geç bitmesi durumunda silindire alınabilecek taze dolgu miktarı artacağından artık gaz oranı azalacaktır. Bunun sonucu olarak özgül yakıt harcamı düşecek ve yumuşak bir

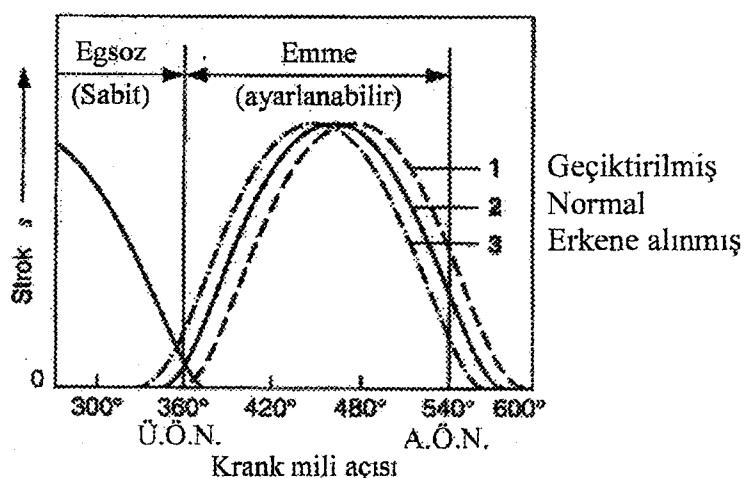
çalışma şartı elde edilecektir.

### 3.2.4.1.1 Kam mili açısının değiştirilmesi

Hidrolik yada elektronik aktivatörler kam milini motor devrine karşılık geldiği kadar çevirirler. Bu sistem egzos ve emme süpabına ayrı ayrı uygulanır. Ayrıca uygulanan süpabın açılma-kapanma süresini etkilemeden, açılma avansını öne aldığı kadar kapanma geçikmesinin azaltır.

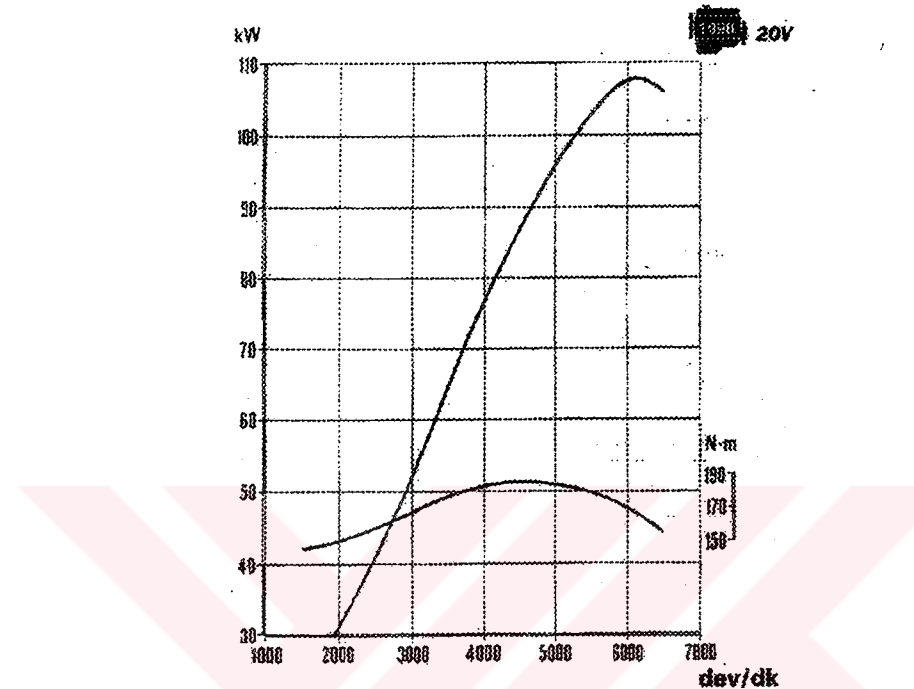
Orta devirlerde emme süpabı açılma avansının arttırılması ve emme süpabı kapanma geçikmesinin azaltılması egzos gazlarının süpürülmesi ve maksimum dolgu değişimi seviyesine ulaşılmasını sağlamaktadır. Bu durum orta devirlerde yanmanın iyileşmesine dolayısıyla düşük yakıt harcamı ve egzos emisyonuna ulaşılmasını sağlamaktadır. Böylece orta devirlerde güç artacaktır.

Emme süpabı açılma avansının azaltılması ve emme süpabı kapanma geçikmesinin artırılması ralanti devrinde silindir içerisindeki artık gazların hızı süpürme etkisi yapamayacak kadar düşük olan taze dolguya karışmasını engelleyecektir. Yüksek devirlerde ise artık gaz basıncı yüksek olduğu için taze dolgunun silindir içerisinde girmesini engelleyeceğinden emme süpabı açılma avansını küçük tutmak gereklidir. Bu durumda emme süpabı kapanma geçikmesi de artacağından taze dolgunun kinetik enerjisinden yararlanılır. Piston hızının yüksek olması nedeniyle taze dolgu hızı yüksektir. Silindir emme strokunu bitirdikten sonra belli bir süre taze dolgunun hızından dolayı sahip olduğu kinetik enerjinin basıncı dönüşmesi sonucu akışkanın basıncı silindir içi basıncından büyük olacaktır ve bu sürede basınçlar dengeleninceye kadar silindir içerisinde taze dolgu girişi devam edecektir.



Şekil 3.18 Krank mili açısına bağlı olarak süpab stroku (Robert Bosch GmbH, 1995)

Yüksek hızdaki güç ve yüksek hızdaki tork için; yüksek performans sağlama amacıyla, emme kam mili üzerinde ve kam mili dışlisine göre açısal konumunu değiştiren bir kısımdan oluşan emme kam mili zamanlama değiştiricisi Fiat tarafından Bravo adlı modelin 5 silindirli  $1998 \text{ cm}^3$ 'luk motorunda kullanılmıştır.



Şekil 3.19 Fiat Bravo 2.0 20V motorunun performans grafiği (Tofaş Oto Ticaret A.Ş., 1998)

Zamanlama değiştiricisi; elektronik kontrol ünitesi tarafından, motor yükü koşullarına göre emme manifoldu üzerine yerleştirilmiş debimetre, Ü.O.N. ve devir sensöründe alınan sinyaller ile emme zamanını öne almaktadır. Bu işleme "tork operasyonu" denilmektedir.

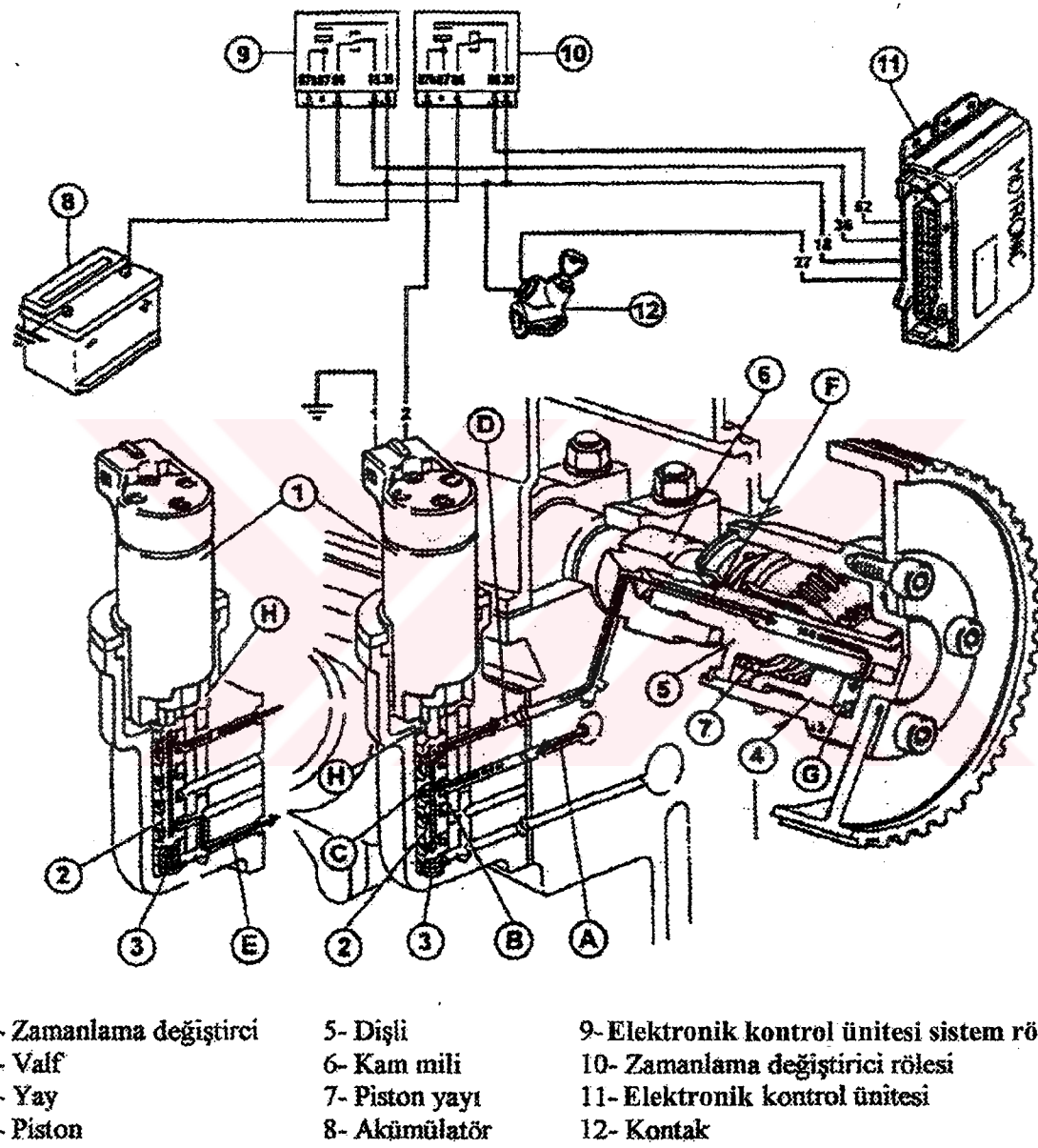
Motor ralanti devrinde ve motor soğutma suyu sıcaklığı  $40^\circ\text{C}$ 'nin altında iken veya motorun devri  $4800 \text{ d/d}$ 'yı geçtiğinde zamanlama değiştiricisinin akımı kesilir.

Sistem şu şekilde çalışmaktadır. Valf Şekil 3.19'da gösterilen "A" kanalından gelen yağın; yay basıncı karşısında kalkık durumda kalarak, zamanlama değiştiricisine gelmesini engeller. Bu durumda; emme süpablarının zaman ayarı, aynı durumda kalır.

Motor devri  $4800 \text{ d/d}$ 'nın altında, motor suyu sıcaklığı  $40^\circ\text{C}$ 'nin ve gaz kelebek açılığının  $8^\circ$ 'nin üstünde iken, zamanlama değiştiricisine akım verilir ve valf aşağı doğru iner.

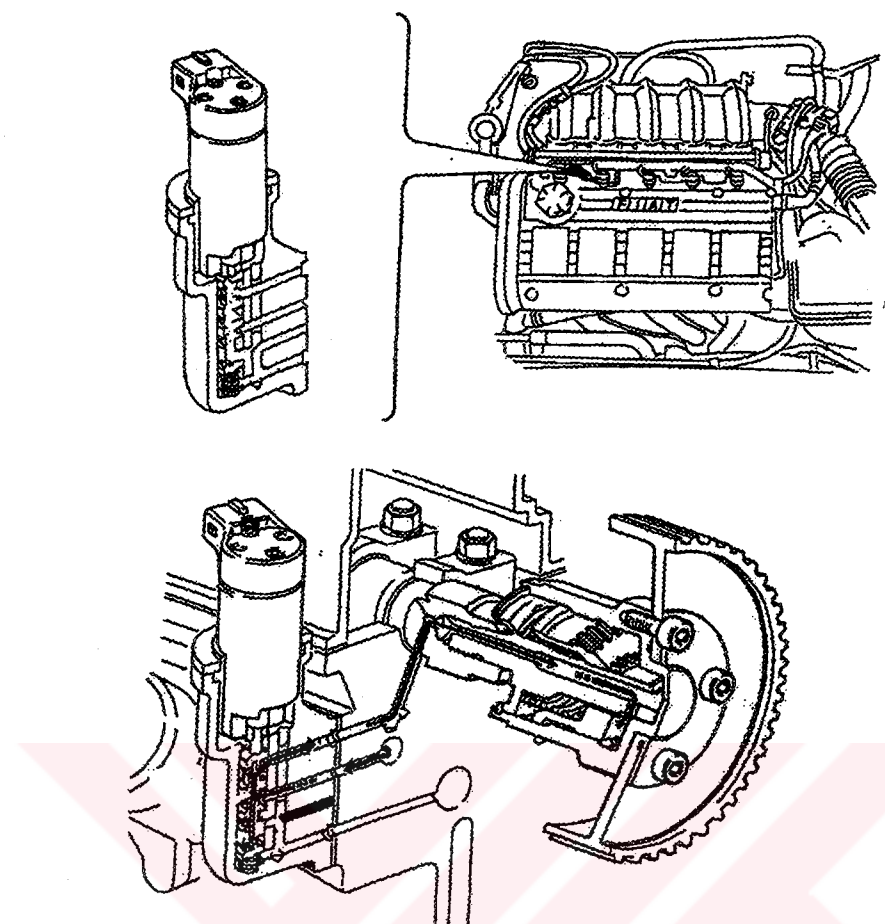
"A" kanalından gelen yağ; pistonun "B" haznesine ve özel bir aralık yoluyla haznenin içinde bulunan "C" kanalının içine akar. Yağ "G" haznesine "D" ve "F" kanalları aracılığıyla erişir.

Pistonu; eksenel şekilde motora doğru hareket ettirerek pistonun dış kısmında helisel dişler bulunduğu için bu eksenel hareket kendisinin saat yönünde dönmesini sağlar. Bu dönüş ile düz dişli aracılığıyla kam milinin dış açılmış tarafına vidalanmış olan helisel dişliye aktarılıp hareketini kam miline ileter. Böylece emme süpabların açılma avansı  $9^\circ$  artmış, kapanma geçikmesi  $9^\circ$  artmış olur.



Şekil 3.20 Emme kam mili değiştiricisi sistem elemanları (Tofaş Oto Ticaret A.Ş., 1998)

Zamanlama değiştiricisinin akımı kesilince valf başlangıçtaki konumuna dönerek, basınç altındaki yağın "G" haznesine akmasını sağlar. Ancak; karşı koyan piston yayı kuvvetiyle geriye dönmesine izin verilir. Yağ; "H" haznesinden, "E" boşaltma kanalı aracılığıyla kartere geri döner.



Şekil 3.21 Emme kam mili zamanlama değiştiricisi (Tofaş Oto Ticaret A.Ş., 1998)

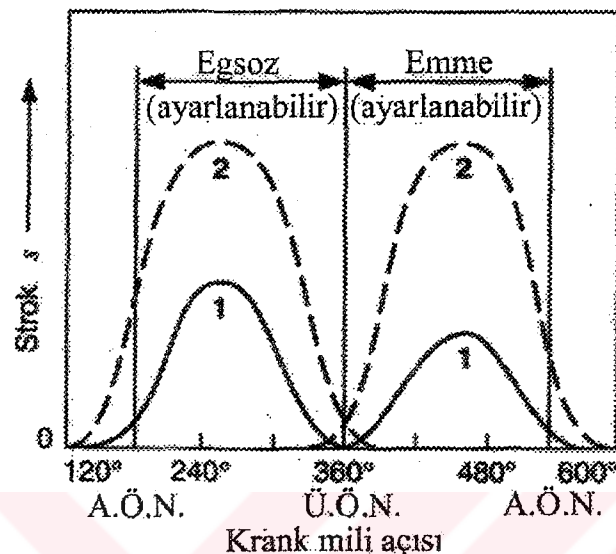
### 3.2.4.1.2 Kam mili profili kontrolü

Kam mili üzerindeki profiller kübütörler vasıtasıyla ya da direk olarak süpablara temas halinde çalışırken, üzerlerindeki profil gereği süpabları hareket ettirirler. Kam mili üzerindeki profiller süpabin açılış ve kapanış zamanını, ne kadar açık kalacağını ve hangi hızda açılıp kapanacağının belirlerler. Bunun yanında süpabin strokunu da belirlediklerinden taze dolgunun veya egzos gazının geçeceği kesiti de belirlemiş olurlar.

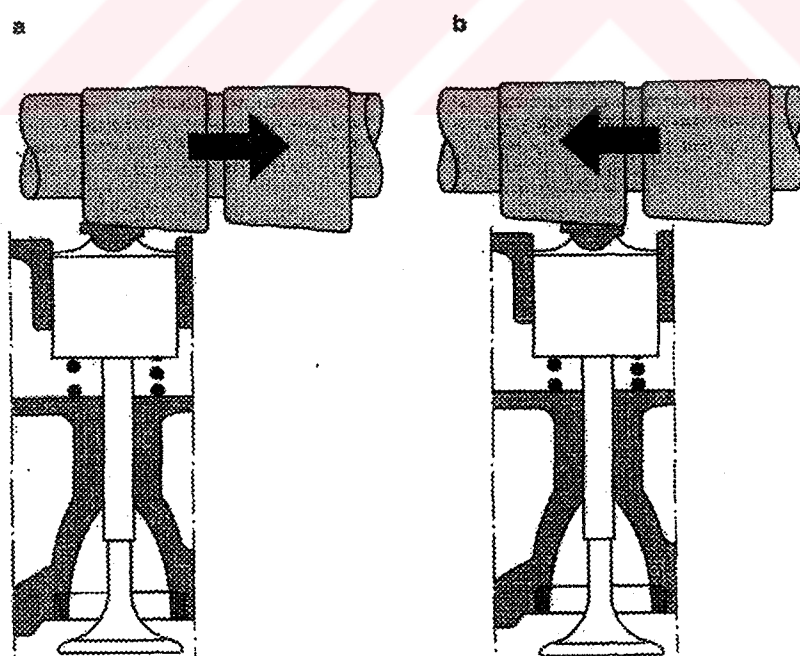
Süpab çevresinden geçen akışkanın debisi ve hızı geçeceği kesitle ilişkilidir. Taze dolgu veya egzos gazi süpab yüzeyi ile silindir üst kesimi arasında kalan boşluktan geçer. Süpabin kalkış mesafesi değiştirildiğinde akış kesidi de değiştirilmiş olmaktadır. Yüksek hızlarda hidrodinamik kayıplar artığından kesit genişletilerek bu kayıplar azaltılabilir.

Şekil 3.22'de görülen sistemde kam mili elektronik kontrol ünitesi kontrolünde hidrolik bir piston yardımıyla eksenel olarak kaydırılıyor. Bu durumdan tüm süpablar etkilenmektedir. "a" durumu düşük devirler için uygun olmaktadır. Devir yükseldikçe hidrolik pistonun baskısıyla

kam mili hareket ettirilir ve "b" durumu elde edilir. Böylece süpab stroku büyümüş olur, ancak aynı zamanda süpablaların açılma-kapanma hızı da artmış olmaktadır. Bu durumda sürekli çalışma süpablara zarar verebilir. Bu nedenle düşük devirlerde kısa strok ve yavaş kalkış uygun olmaktadır.



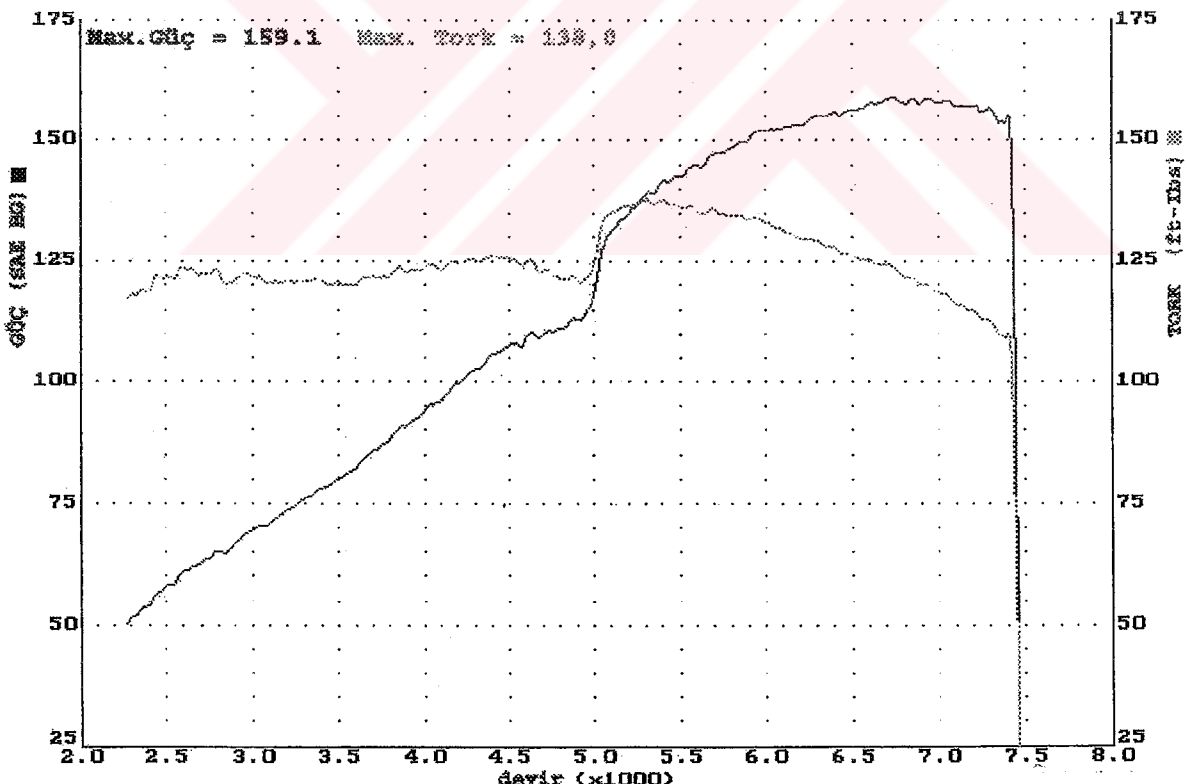
Şekil 3.22 Krank açısına göre değişken profilli kam miliyle süpab kalkışları (1) Minumum kalkış durumu (2) Maksimum kalkış durumu (Robert Bosch GmbH, 1995)



Şekil 3.23 Hidrolik hareketli, değişken profilli kam mili süpab sistemi (a: Düşük devirde minumum kalkış durumu, b: Yüksek devirlerde maksimum kalkış durumu ) (Robert Bosch GmbH, 1995)

Kam profiline konik olarak genişletilmesiyle sadece süpab stroku değiştirilir. Kalkışın artması çok az da olsa süpab zamanlamalarının da değiştirir. Ancak gelişmiş üretim teknikleri ile profiline genişlerken geometrik eliptikliğinde de değişim yapılmasıyla zamanlama da değiştirilebilir.

Japon Honda firması VTEC ismini verdiği sisteminde daha farklı bir yöntem uygulamıştır. VTEC sisteminde her süpab çifti için 3 adet kam mili profili ve bunların külbütləri bulunmaktadır. Süpabların hizalarında kendi külbütləri ve buların takip ettiği kam mili profilleri vardır. Bu külbütlərin arasında hiç bir süpaba basmayan sadece kam mili profili takip eden bir üçüncü külbütlər vardır. Dıştaki kam mili profilinin dizaynını motor orta ve düşük devirlerde ekonomik çalışacak şekilde dizayn edilmişdir. Ortadaki profil ise yüksek devirlerde yüksek güç elde edilecek şekilde dizayn edilmişdir ve stroku daha fazladır. Bu profil düşük devirlerde çalışsaydı yüksek yakıt harcamına sebep olacaktı. Diğer iki profil yüksek devirde çalışmaya zorlansa düşük güç ve motor verimi elde edilecekti, zaten bu sebeplerden dolayı motor yüksek devire çıkamayacaktı.



Şekil 3.24 Honda DOHC VTEC 1.6 lt motorunun performans eğrisi [3]

Sistem motor 4500 d/d'ya ulaştığında, motor sıcak ve araç hareketli iken profil değiştirme

işlemiini yapar. 4500 d/d'nin altında düşük hız profilini kullanırken, bu devrin üzerinde yüksek hız profilini kullanılır. Motorun devre göre moment grafiğinde ayrı iki kam mili profili kullanımından dolayı iki ayrı maksimum moment noktası bulunur. Şekil 3.24'de verilen performans eğrisinde de profil değişim devrinde torkda ve güçteki değişim görülmektedir.

Şartlar uygun olduğunda elektronik kontrol ünitesi düşük devirlerde kullandığı profillerin karşılığı olan külbütləri ortada bulunan ve yüksek devirler için dizayn edilmiş profili külbütlərə hidrolik pistonlarla kilitler. Böylece diğer iki profil boşta kalır. Yüksek hız profilinin stroku diğerlerinden yüksek olduğundan esas külbütlər bu profile deymezler ve hareketlerini ortadaki külbütlərdən alırlar.

Yüksek hızdan düşük hız bölgesine geçerken birbirine kilitlenmiş külbütləri üzerindeki piston ve basınçlı yağ baskısını kaldırarak birbirlerinden ayırır ve ilk konumlarına gelir. Bu durumda külbütlər ve süpab sistemi geleneksel motorlardaki gibi çalışır.

Motorda herhangi bir arıza olduğunda yada motor kapatıldığında yağ basıncı düşeceğinden, otomatik olarak külbütlər yay etkisiyle normal şartlarına yani düşük devir kam profiline döner.

Bu sistem bu günlerde üretimi süren Honda'nın S2000 tipli aracının 2000 cm<sup>3</sup>'luk motoruna uygulandığında 8300 d/d'da 240 B.G.'ne ulaşan ve maksimum torku 7500 d/d'da 204 Nm (151 lbf-ft) olan bir motor ortaya çıkmıştır.

### 3.2.4.2 Volumetrik verimin hesaplanması

Volumetrik verimin hesaplanması en önemli parametreler ortamdaki hava sıcaklığı, taze dolgunun emme kanalından geçtiği sıradaki sıcaklık artışı, sıkıştırma oranı, atmosfer basıncı, emme sonu basıncı, egzoz sonu basıncıdır.

Motor devri arttıkça;

Emme kanalındaki hız ve debi artacağından dolgunun sıcaklık artışı azalacaktır.

Yanma sonu basıncı yükseleceğinden egzos basıncı da yükselir.

$$\eta_v = \frac{T_0}{T_0 + \Delta T} \cdot \frac{1}{\varepsilon - 1} \cdot \frac{1}{P_0} \cdot (\varphi_{ch} \cdot \varepsilon \cdot P_a - P_r) \quad (3.23)$$

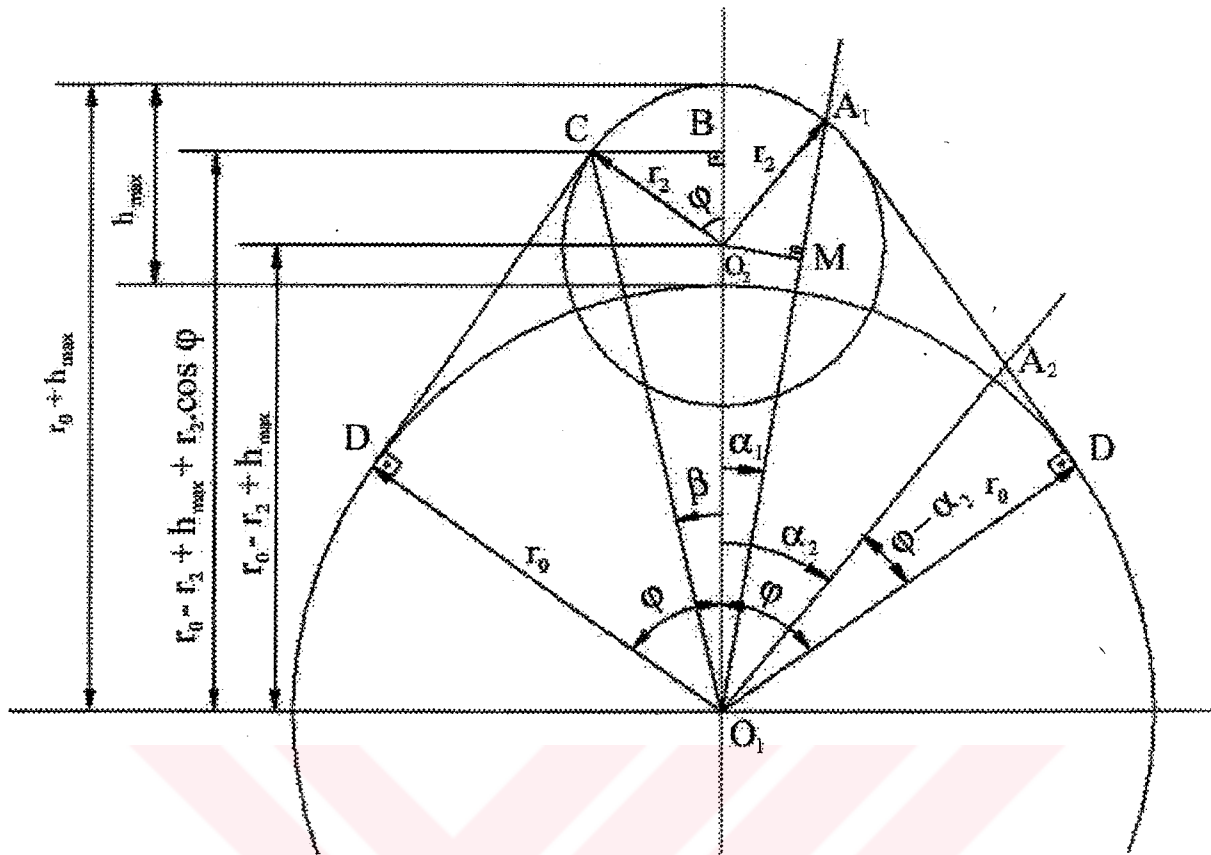
T<sub>0</sub> : Ortamda hava sıcaklığı

$\Delta T$	: Taze dolgunun emme kanalından geçtiği sıradaki sıcaklık artışı
$\varepsilon$	: Sıkıştırma oranı
$P_0$	: Atmosfer basıncı
$P_a$	: Emme sonu basıncı
$P_r$	: Egsoz sonu basıncı
$\varphi_{ch}$	: Doldurma katsayısı

Burada etken değer, emme sonu sonu basıncıdır. Volumetrik verimin belirlenmesi için silindir içerisindeki basınç değişiminin ve emme sonu basıncının belirlenmesi gerekir. Emme prosesinin incelenmesi için dolgu değişimini etkileyen fiziksel ve termodinamiksel bir çok olayın incelenmesi gerekir. Fiziksel ve mekanik olaylar kam mili profilinin geometrik özelliklerinin belirlenmesi, süpap serbest kesit alanının ve süpap akış katsayısının değişimini hesaplanması ve krank hareketi ile silindir hacmi değişim fonksiyonu ortaya çıkartılmasıdır. Bu konularla birlikte termodinamik bağıntılar kullanılarak silindir içi basıncı hesaplanabilir. Hesaplamların hepsi krank mili açısının fonksiyonu olarak ortaya konmalıdır. Böylece basınç değişimi krank milinin fonksiyonu olarak belirlenebilir ve emme prosesi sırasındaki basınç değişimi hesaplanabilir. Hesaplama yöntemi; krank mili açısı kademe kademe arttırarak her durum için hesapların tekrarlanmasıdır. Bu tekrarlar hesaplamayı çok uzatacağından bu hesaplamların bilgisayara yaptırılması gereklidir.

### 3.2.4.2.1 Kam mili profilinin belirlenmesi

Günümüzde kam mili profili üretiminde üç değişik profil şekli kullanılmaktadır. Bunlar; konveks, tanjansiyel ve harmonik olarak adlandırılmaktadır. Harmonik kam profili geometrik olarak en karmaşık olanıdır. Tanjansiyel ve konveks kam profillerinde bir tepe yarıçapı vardır. Konveks kam profiline bu tepe dairesinin merkezi profil ana dairesi üzerindedir ve yarı çapı profiline itme yüksekliğine eşittir. Bu iki daire büyük yarı çaplı bir yay ile birbirlerine bağlanır. Tanjansiyel kam profiline ise profil ana dairesinden süpap açılma ve kapanma noktalarından iki teğet çıkarılır. Profilin en yüksek noktasından geçen ve bu iki doğuya teğet bir daire çizilir. Bu profil çeşitleri arasında geometrik olarak en basit tanjansiyel kam profildir. Ancak bu tip profillerde süpap ivmeleri yüksek olmaktadır. Hesaplama konusu süpap ve süpap yaylarının mukavemeti olmadığı için aralarında çok önemli bir fark kalmamaktadır. Hesaplamanın basitleştirilmesi açısından tanjansiyel kam profili kullanılmıştır.



Şekil 3.25 Tanjansiyel kam profili

- $r_0$  : Kam mili çapı  
 $r_2$  : profil uç yarı çapı  
 $h_{\max}$  : Kam profili yüksekliği  
 C : Takip açısının DC doğrusunu bırakıp  $r_2$  yarıçaplı daireyi takip etmeye başladığı nokta.  
 $\beta_{\text{sinir}}$  : C noktasının merkezle yaptığı açı.  
 $\alpha$  : kam milinin takip açısı  
 $\phi = (\varphi_{\text{ad}} + 180^\circ + \varphi_{\text{re}}) / 4$  (3.24)  
 $\varphi$  : Kam profili açısı  
 $\varphi_{\text{ad}}$  : Süpapi açılma avansı  
 $\varphi_{\text{re}}$  : Süpap kapanma gecikmesi

$$r_2 = r_0 - h_{\max} \frac{\cos \varphi}{1 - \cos \varphi} \quad (3.25)$$

$$\beta_{\text{sum}} = \arctan \left( \frac{r_2 \cdot \sin(\varphi)}{r_0 + h_{\max} - r_2 + r_2 \cos(\varphi)} \right) \quad (3.26)$$

$$\alpha = \left| \frac{\text{KMA}^\circ + \varphi_{\text{ad}} - 360}{2} - \varphi \right| \quad (3.27)$$

$\alpha \geq \beta_{\text{sum}}$  ise;

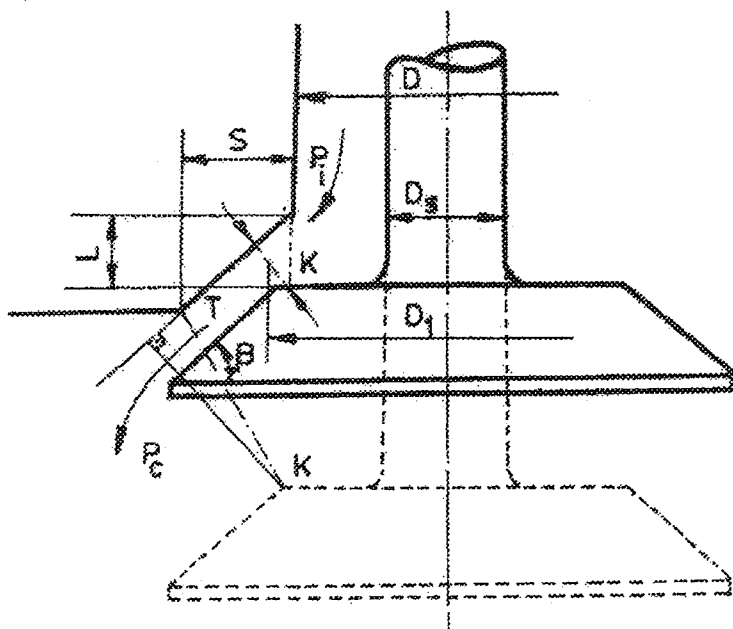
$$h_i = \frac{r_0}{\cos(\varphi - \alpha)} - r_0 \quad (3.28)$$

$\alpha < \beta_{\text{sum}}$  ise;

$$h_i = (r_0 - r_2 + h_{\max}) \cdot \cos(\alpha) + \sqrt{r_2^2 - ((r_0 - r_2 + h_{\max}) \cdot \sin(\alpha))^2} - r_0 \quad (3.29)$$

### 3.2.4.2.2 Süpap serbest kesit alanının değişim

Süpap serbest kesitine giriş ve çıkıştaki basınçlar bilinirse, her bir süpap kalkış pozisyonunda silindire geçen akışkan kütlesini belirlemek mümkündür. Süpap serbest kesitinin büyüklüğü, süpap kalkış miktarına, süpabın ve oturma yüzeyinin geometrik boyutlarına bağlıdır. Şekilde süpap kalkış oranına bağlı olarak süpap serbest kesitinin değişimi görülmektedir. Süpap serbest kesitini hesaplamak için üç farklı süpap kalkış pozisyonunun dikkate alınması gereklidir.



Şekil 3.26 Süpap kalkışma bağlı olarak, süpap serbest kesitinin değişimi

- S : Süpap oturma yüzeyi genişliği  
 L : Süpap stroku  
 $\beta$  : Süpap oturma yüzeyinin yatayla yaptığı açı  
 D : Süpap alt yüzeyi çapı (emme kanalı çapı)  
 D<sub>s</sub> : Süpap sapi çapı

Süpap serbest kesitinin süpap ve süpap oturma yüzeyi arasında olduğu durumda A<sub>1</sub> Formulu kullanılmalıdır. Bunun bir başka ifadesi de;  $s / (\sin\beta \cdot \cos\beta) \geq L > 0$  'dır. Bu durumda süpap serbest kesit alanı süpap oturma yüzeyi ile süpap arasında kalan süpap oturma yüzeyi dikmesinin yanal yüzeyini oluşturduğu kesik koninin yanal yüzey alanıdır.

$$A_1 = \pi \cdot L \cdot \cos \beta (D + L \cdot \cos \beta \cdot \sin \beta) \quad (3.30)$$

Süpap üst yüzeyi süpap oturma yüzeyinin alt noktasını geçtiği andan itibaren A<sub>2</sub> formulu kullanılır. Bunun bir başka ifadesi de;  $L > S / (\sin\beta \cdot \cos\beta)$ 'dır. Süpap kesit alanı [KT] doğrusunun yanal alanını oluşturduğu, D ve (D+2S) çaplı dairelerin tavan ve tabanı oluşturduğu kesik koninin yanal alanını ifade eder.

$$A_2 = \pi \cdot (D + s) \sqrt{\frac{S^2}{\cos^2 \beta} + L^2 - 2 \cdot S \cdot L \cdot \tan \beta} \quad (3.31)$$

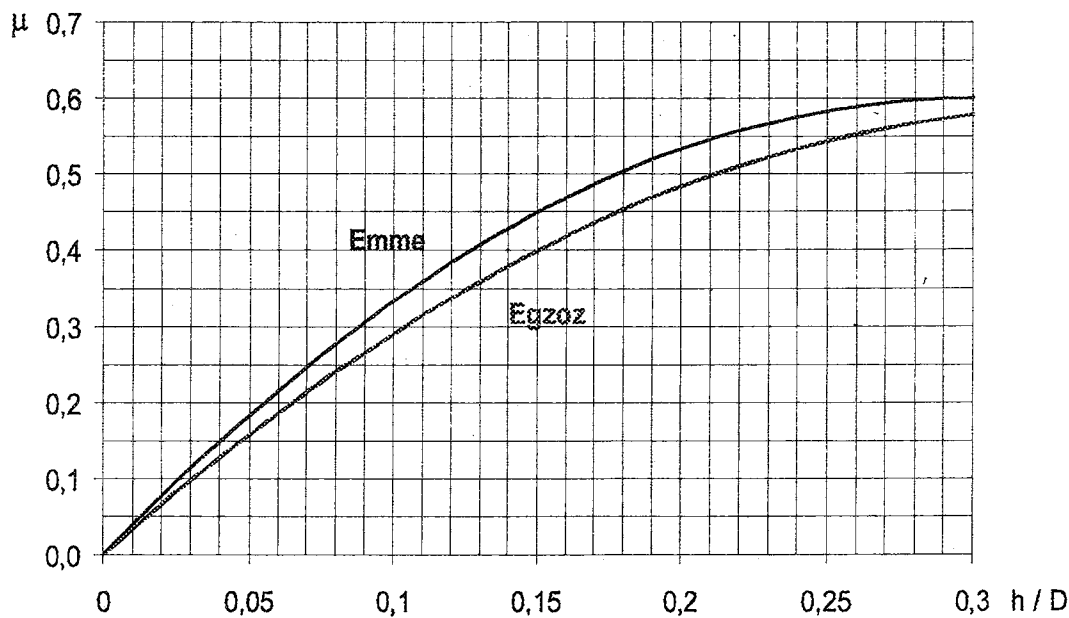
Yüksek süpap kalkışlarında ise emme kanalı ile süpap sapi arasında kalan alan serbest süpap kesit alanını oluşturur. Bu durumda A<sub>3</sub> formülü kullanılmalıdır. Kesit alan iki daire arasında kalan alana eşittir. Bu süpap kalkış pozisyonu  $A_2 > A_3$  durumu gerçekleştirir.

$$A_3 = \frac{\pi}{4} (D^2 - D_s^2) \quad (3.32)$$

Bir başka değişle yukarıda bahsedilen üç formülün en küçük sonuç verenini kullanmak gereklidir. Çünkü heseplarda en dar kesit kullanılmalıdır.

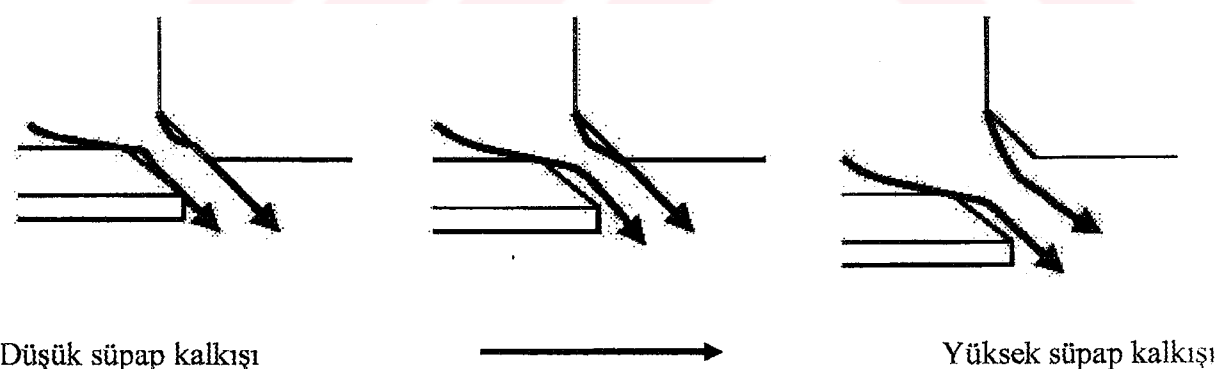
### 3.2.4.2.3 Süpap akış katsayısının değişimi

Normal çalışma şartlarında gerçek motorda süpap kalkışı ve süpap serbest kesiti boyunca basınç değişimi çok hızlı olmaktadır. Süpap serbest kesitinden dinamik şartlar altında geçen gerçek hava debisini bulmak için akış katsayısının bilinmesi gereklidir.



Şekil 3.27 Akış katsayısının süpap kalkışı / kanal yarı çapın oranına göre değişimi  
(Gülen, 1981)

Süpabın dar kesiti bir diafram gibi çalıştığından akış katsayısının içinde konstraksiyon sayısının da bulunması gereklidir. Prof. H. List bununla ilgili olarak bir grafik belirlemiştir. Şekil 3.27'de akış katsayı ile  $h/D$  (süpap stroku / emme kanalı çapı) arasındaki ilişki görülebilmektedir. Şekil 3.28'de süpap kalkışının akışa nasıl etki ettiğini görmektedir.



Şekil 3.28 Akış serbest kesit alanının değişimi

#### 3.2.4.2.4 Silindir içi basıncının hesaplaması

Silindir içindeki gazların enerjilerinin değişimi, içeriye giren taze dolgunun enerjisi ve dışarı çıkışan yanma gazlarının enerjileri arasındaki fark ile ifade edilebilir.

$$C_v \frac{d(T_z G_z)}{d\theta} + A.P_z \frac{dV_z}{d\theta} = C_p T_1 \frac{dG_s}{d\theta} - C_p T_2 \frac{dG_a}{d\theta} \quad (3.33)$$

- $C_v$  : Sabit hacimdeki gazların özgül ısınma ısısı ( $J/kg.^{\circ}K$ )  
 $C_p$  : Sabit basınçdaki gazların özgül ısınma ısısı ( $J/kg.^{\circ}K$ )  
 $V_z$  : Silindir hacmi ( $m^3$ )  
 $T_1$  : Emme kanalından geçen gazın sıcaklığı ( $^{\circ}K$ )  
 $T_2$  : Egsoz kanalından geçen gazın sıcaklığı ( $^{\circ}K$ )  
 $T_z$  : Silindir içindeki gazın sıcaklığı ( $^{\circ}K$ )  
 $P_z$  : Silindir içindeki gazın basıncı ( $N/m^2$ )  
 $G_z$  : Silindir içindeki gazın ağırlığı (kg)  
 $G_a$  : Egzos süpabından geçen gazın ağırlığı (kg)  
 $G_s$  : Emme süpabından geçen gazın ağırlığı (kg)  
 $A$  : Mekanik işin ısıl eşdeğeri ( $J/kg.m$ )  
 $\theta$  : Krank mili açısı ( $KMA^{\circ}$ )

Yukarıdaki enerji denkleminin yazımında şu kabuller yapılmaktadır:

- Rezervuardaki gazın kinetik enerjisi çok küçüktür.
- Silindirdeki gazın kinetik enerjisi ihmali edilebilir.
- Dolgu değişimine katılan gazlar ideal gaz durumuna uymaktadır.
- Dolgu değişiminin izentropik olduğu kabul edilip, gazlar ile cidarlar arasında ısı alış verisi ihmali edilmiştir.
- Süpap serbest kesitinden geçen gazların ivmelenmesinden doğan dalga hareketlerinin etkisi ihmali edilmiştir.

Yukarıdaki eşitliğin sol tarafında bulunan ilk ifade iç enerjiyi, ikinci ifade hacim ısını; eşitliğin sağ tarafındaki ilk ifade giren gazların entalpisini, ikinci ifade ise çıkan gazların entalpisini göstermektedir.  $T_1$  ve  $T_2$  sıcaklıklar sırasıyla emme ve egsoz süpaplarının içinden geçen akışkan sıcaklıklar olup bunlar silindire doğru veya silindirden dışarı doğru olan akış şecline göre aşağıda gösterildiği gibi tayin edilmektedirler.

Dolgu değişimini sırasında:

Taze dolgu, silindire giriyorsa;

$$\frac{dG_s}{d\theta} > 0 \Rightarrow T_1 = T_s$$

Taze dolgu, silindirden emme kanalı içinden dışarı atılıyorsa;

$$\frac{dG_s}{d\theta} < 0 \Rightarrow T_1 = T_z$$

Egsoz gazları, egsoz kanalından dışarı atılıyorsa;

$$\frac{dG_a}{d\theta} > 0 \Rightarrow T_2 = T_z$$

Egsoz gazları, egsoz kanalının içinden silindire doğru yol alıyorsa;

$$\frac{dG_a}{d\theta} < 0 \Rightarrow T_2 = T_a$$

Yukarıda gösterilen bu sıcaklık değişimlerine, basınç farkı ve akışın yön değiştirmesi neden olmaktadır.

İdeal gaz durum denklemi:

$$P_z \cdot v_z = R \cdot T_z \quad (3.34)$$

Sabit basınçtaki özgül ısı:

$$C_p = \frac{A \cdot R \cdot k}{k - 1} \quad (3.35)$$

Sabit hacimdeki özgül ısı:

$$C_v = \frac{A \cdot R}{k - 1} \quad (3.36)$$

$v_z$ , Silindir içerisindeki gazın özgül hacmi olmak üzere

$$v_z \cdot G_z = V_z \quad (3.37)$$

eşitlikleri enerji denkleminde yerlerine yazıldığında,

$$\frac{A \cdot R}{k - 1} \frac{d}{d\theta} \left( \frac{P_z \cdot V_z \cdot V_z}{R \cdot v_z} \right) + A \cdot P_z \frac{dV_z}{d\theta} = A \cdot R \frac{k}{k - 1} T_1 \frac{dG_s}{d\theta} - A \cdot R \frac{k}{k - 1} T_2 \frac{dG_a}{d\theta} \quad (3.38)$$

denklemine varılır. Sadeleştirilmeler yapılp, parantez içinde olan ifade difrensiyel alınacak olursa;

$$\frac{A}{k - 1} \left( P_z \frac{dv_z}{d\theta} + V_z \frac{dP_z}{d\theta} \right) + A \cdot P_z \frac{dV_z}{d\theta} = A \cdot R \frac{k}{k - 1} T_1 \frac{dG_s}{d\theta} - A \cdot R \frac{k}{k - 1} T_2 \frac{dG_a}{d\theta} \quad (3.39)$$

Denklemde paydaların eşitlenmesi yoluna gidilecek olursa;

$$\frac{A}{k-1} P_z \frac{dV_z}{d\theta} + \frac{A}{k-1} V_z \frac{dP_z}{d\theta} + \frac{k}{k-1} A P_z \frac{dV_z}{d\theta} - \frac{l}{k-1} A P_z \frac{dV_z}{d\theta} = A R \frac{k}{k-1} T_1 \frac{dG_s}{d\theta} - A R \frac{k}{k-1} T_2 \frac{dG_a}{d\theta} \quad (3.40)$$

Buradan sadeleştirilmeler ve eşitliğin her iki tarafının  $\frac{A}{k-1}$  bölümmesi sonucu,

$$P_z \frac{dV_z}{d\theta} + V_z \frac{dP_z}{d\theta} + k P_z \frac{dV_z}{d\theta} - P_z \frac{dV_z}{d\theta} = k R T_1 \frac{dG_s}{d\theta} - k R T_2 \frac{dG_a}{d\theta} \quad (3.41)$$

$$\frac{dP_z}{d\theta} = \frac{k}{V_z} \left[ R \left( T_1 \frac{dG_s}{d\theta} - T_2 \frac{dG_a}{d\theta} \right) - P_z \frac{dV_z}{d\theta} \right] \quad (3.42)$$

olarak basınç değişim denklemi elde edilir.

Süpapdan geçen dolgunun debisi süreklilik denkleminden hesaplanabilir:

$$G = \mu F C \gamma \quad (3.43)$$

$G$  : Akışkan debisi

$\mu$  : Akış katsayısı

$F$  : Serbest kesit alanı

$C$  : Akışkan hızı

$\gamma$  : Akışkanın yoğunluğu

Süpapdan geçen akışkanın hızını belirlemek için enerji denklemi kullanılabilir. Akışkanlar için genel enerji denklemi:

$$\frac{P_1}{\gamma_1} + z_1 \cdot g + \frac{C_1^2}{2} + U_1 = \frac{P_2}{\gamma_2} + z_2 \cdot g + \frac{C_2^2}{2} + U_2 \quad (3.44)$$

$P$  : Akışkanın basıncı ( $N/m^2$ )

$\gamma$  : Akışkanın yoğunluğu ( $kg/m^3$ )

$z$  : Referans düzlemden yükseklik (m)

$C$  : Akışkanın hızı ( $m/s$ )

$g$  : Yerçekimi ivmesi ( $m/s^2$ )

$U$  : Akışkanın iç enerjisi ( $J/kg$ )

Emme kanalından silindir içérisine akış ele alındığında (1) noktası emme kanalı (2) noktası da süpap kesiti olarak kabul edilmelidir. Başta da belirtildiği gibi "Rezervuardaki gazın kinetik enerjisi çok küçütür." dolayısıla  $C_1 \approx 0$ 'dır.

$$\frac{P_s}{\gamma_s} + U_s = \frac{P_z}{\gamma_z} + \frac{C_2^2}{2} + U_z \quad (3.45)$$

Entalpi:

$$h = U + \frac{P}{\gamma} \text{ dir.}$$

ve denklem:

$$h_s = h_z + \frac{C_2^2}{2} \quad (3.46)$$

halini alır.  $h_s = C_p T_s$  ve  $h_z = C_p T_z$  denklemde yerlerine yazılıp  $C_2^2$  çekildiğinde:

$$C_2^2 = 2 C_p T_s \left( 1 - \frac{T_z}{T_s} \right) \quad (3.47)$$

$C_p = R \frac{k}{k-1}$ ,  $T_s = \frac{P_s}{R \gamma_s}$  ve  $\frac{T_z}{T_s} = \left( \frac{P_z}{P_s} \right)^{\frac{k-1}{k}}$  denklemde yerlerine yazıldığında;

$$C_2 = \sqrt{2 \frac{k}{k-1} \frac{P_s}{\gamma_s} \left[ 1 - \left( \frac{P_z}{P_s} \right)^{\frac{k-1}{k}} \right]} \quad (3.48)$$

akış hızı bulunacaktır. Hız süreklilik denkleminde yerine yazılsrsa;

$$G_s = \mu_s F_s \sqrt{2 \frac{k}{k-1} \frac{P_s}{\gamma_s} \left[ 1 - \left( \frac{P_z}{P_s} \right)^{\frac{k-1}{k}} \right] \cdot \gamma_z} \quad (3.49)$$

$\gamma_z$  kök içine alınır ve kök içi ( $\gamma_s / \gamma_z$ ) ile çarpılıssa;

$$G_s = \mu_s F_s \sqrt{2 \frac{k}{k-1} P_s \left( \frac{\gamma_z}{\gamma_s} \right)^2 \gamma_s \left[ 1 - \left( \frac{P_z}{P_s} \right)^{\frac{k-1}{k}} \right]} \quad (3.50)$$

$$\left(\frac{\gamma_z}{\gamma_s}\right)^2 = \left(\frac{P_z}{P_s}\right)^{\frac{2}{k}} \text{ ve } \gamma_s = \frac{P_s}{R.T_s} \text{ denklemde yerlerine yazıldığında;}$$

$$G_s = \mu_s \cdot F_s \sqrt{2 \cdot \frac{k}{k-1} P_s \frac{P_s}{R.T_s} \left[ \left(\frac{P_z}{P_s}\right)^{\frac{2}{k}} - \left(\frac{p_z}{P_s}\right)^{\frac{k+1}{k}} \right]} \quad (3.51)$$

elde edilir. Zamana göre denklem türəvi alındığında;

$$dG_s = \mu_s \cdot F_s \cdot P_s \sqrt{\frac{2}{R.T_s} \frac{k}{k-1} \left[ \left(\frac{P_z}{P_s}\right)^{\frac{2}{k}} - \left(\frac{p_z}{P_s}\right)^{\frac{k+1}{k}} \right]} dt \quad (3.52)$$

olur.  $dt = \frac{d\theta}{360 \frac{n}{60}}$  şeklinde devre ve KMA° bağlı olarak yazılırsa;

$$\frac{dG_s}{d\theta} = \frac{\mu_s \cdot F_s}{6.n} P_s \sqrt{\frac{2}{R.T_s} \frac{k}{k-1} \left[ \left(\frac{P_z}{P_s}\right)^{\frac{2}{k}} - \left(\frac{p_z}{P_s}\right)^{\frac{k+1}{k}} \right]} \quad (3.53)$$

elde edilir. Bu debi denklemi basınç değişim denkleminde yerine yazıldığında ve egsoz süpabının kapalı ya da çok açık olup egsoz süpabından geçen gaz miktarının sıfır yakını olduğu kabul edilirse;

$$\frac{dP_z}{d\theta} = \frac{k}{V_z} \left[ R \left( T_1 \frac{\mu_s \cdot F_s}{6.n} P_s \sqrt{\frac{2}{R.T_s} \frac{k}{k-1} \left[ \left(\frac{P_z}{P_s}\right)^{\frac{2}{k}} - \left(\frac{p_z}{P_s}\right)^{\frac{k+1}{k}} \right]} \right) - P_z \frac{dV_z}{d\theta} \right] \quad (3.54)$$

(1) noktası emme kanalı olduğundan  $T_1 = T_s$  dir.

$$\frac{dP_z}{d\theta} = \frac{k}{V_z} \frac{\mu_s \cdot F_s}{6.n} P_s \sqrt{2.R.T_s \frac{k}{k-1} \left[ \left(\frac{P_z}{P_s}\right)^{\frac{2}{k}} - \left(\frac{p_z}{P_s}\right)^{\frac{k+1}{k}} \right]} - P_z \frac{k}{V_z} \frac{dV_z}{d\theta} \quad (3.55)$$

Benzer şekilde silindir içerisinde emme kanalına doğru akış olması durumunda; (1) noktası silindir içi (2) noktası da süpap kesiti olarak kabul edilmelidir. Başta da belirtildiği gibi "Silindirdeki gazın kinetik enerjisi ihmal edilebilir." dolayısıyla  $C_1 \approx 0$  dir.

$$\frac{P_z}{\gamma_z} + U_z = \frac{P_s}{\gamma_s} + \frac{C_2^2}{2} + U_s \quad (3.56)$$

ve denklem:

$$h_z = h_s + \frac{C_2^2}{2} \quad (3.57)$$

halini alır.  $h_s = C_p \cdot T_s$  ve  $h_z = C_p \cdot T_z$  denklemde yerlerine yazılıp  $C_2^2$  çekildiğinde:

$$C_2^2 = 2 \cdot C_p \cdot T_z \left( 1 - \frac{T_s}{T_z} \right) \quad (3.58)$$

$C_p = R \frac{k}{k-1}$ ,  $T_z = \frac{P_z}{R \cdot \gamma_z}$  ve  $\frac{T_s}{T_z} = \left( \frac{P_s}{P_z} \right)^{\frac{k-1}{k}}$  denklemde yerlerine yazıldığında;

$$C_2 = \sqrt{2 \cdot \frac{k}{k-1} \frac{P_z}{\gamma_z} \left[ 1 - \left( \frac{P_s}{P_z} \right)^{\frac{k-1}{k}} \right]} \quad (3.59)$$

Benzer şekilde hız sürekli denkleminde yerine yazıldığında ve zamana göre türevi alınıp zaman devir ve KMA° olarak ifade edildiğinde debi denklemi elde edilir. Ancak akış ters olduğu için sonuç negatifdir.

$$\frac{dG_s}{d\theta} = - \frac{\mu_s F_s}{6 \cdot n} P_z \sqrt{\frac{2}{R \cdot T_z} \frac{k}{k-1} \left[ \left( \frac{P_s}{P_z} \right)^{\frac{2}{k}} - \left( \frac{P_s}{P_z} \right)^{\frac{k+1}{k}} \right]} \quad (3.60)$$

Bu denklem basınç değişim denkleminde yerine yazıldığında;

$$\frac{dP_z}{d\theta} = \frac{k}{V_z} \left[ R \left( - T_1 \frac{\mu_s F_s}{6 \cdot n} P_z \sqrt{\frac{2}{R \cdot T_z} \frac{k}{k-1} \left[ \left( \frac{P_s}{P_z} \right)^{\frac{2}{k}} - \left( \frac{P_s}{P_z} \right)^{\frac{k+1}{k}} \right]} \right) - P_z \frac{dV_z}{d\theta} \right] \quad (3.61)$$

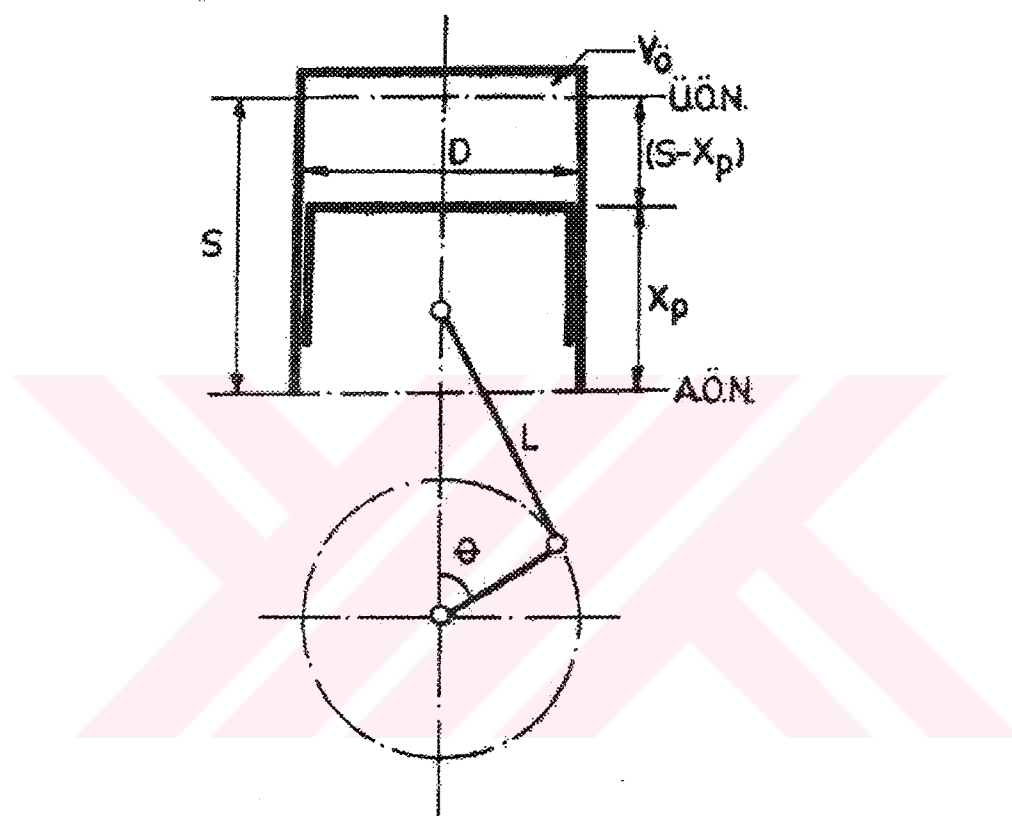
ve (1) noktası silindir içerisinde olduğundan  $T_1 = T_z$ 'dır. Sadeleştirmeler yapıldığında denklem;

$$\frac{dP_z}{d\theta} = - \frac{k}{V_z} \frac{\mu_s F_s}{6 \cdot n} P_z \sqrt{2 \cdot R \cdot T_z \frac{k}{k-1} \left[ \left( \frac{P_s}{P_z} \right)^{\frac{2}{k}} - \left( \frac{P_s}{P_z} \right)^{\frac{k+1}{k}} \right]} - P_z \frac{k}{V_z} \frac{dV_z}{d\theta} \quad (3.62)$$

olarak elde edilir. Bu durumda silindir içerisindeki basınç azalacaktır.

### 3.2.4.2.5 Silindir hacmi ve değişim fonksiyonu

Silindir içerisindeki basıncın hesaplanabilmesi için her KMA° için silindir hacminin belirlenmesi gereklidir. Silindir hacmi krank açısının fonksiyonu olup, pistonun katetmiş olduğu yol ile orantılıdır.



Şekil 3.29 Silindir hacminin değişimi

$V_z$  : Silindir hacmi

$V_0$  : Kompresyon hacim

$L$  : Biyel boyu

$S$  : Strok

$\theta$  : KMA°

$D$  : Silindir çapı

$x_p$  : Piston yolu

$$V_z = V_0 + \frac{\pi D^2}{4} (S - x_p) \quad (3.63)$$

$$x_p = L + \frac{S}{2}(1 - \cos \theta) - \sqrt{L^2 - \frac{S^2}{4} \sin^2 \theta} \quad (3.64)$$

$V_h$  : Strok hacmi

$\varepsilon$  : Sıkıştırma oranı

$\lambda$  : krant yarı çapı, biyel boyu oranı ;

$$\lambda = (S/2)/L \quad (3.65)$$

$$V_z = V_b \left( \frac{1}{\varepsilon - 1} + \frac{1}{2} (1 - \cos \theta) + \frac{1}{2\lambda} \left( 1 - \sqrt{1 - \lambda^2 \sin^2 \theta} \right) \right) \quad (3.66)$$

### 3.2.4.2.6 Elde edilen diferansiyel denklemlerin integrasyon yöntemiyle çözümü

Elde edilen denklemlerin bilgisayar ortamında çözümü için integrasyon yöntemi kullanılması gerekmektedir. Metodun temeli; hesaplanacak noktaya olan mesafenin yarısı boyunda adımlarla ilerleyerek eğrinin eğiminin hesaplanması ve buradan artış değerlerinin bulunmasıdır. Kullanılan metodu şu şekilde açıklayabiliriz:

Başlangıç değerleri  $x_0$  ve  $y_0$ 'dır.

Bu noktada eğrinin eğimi :  $y_1' = f(x_1, y_1) = f_1$

Adım uzunluğu  $h$  olmak üzere fonksiyon artış değeri  $\Delta y_1 = f_1 \cdot h$  'dır.

Adım uzunluğu ve artış değeri kullanılarak;

$$x_2 = x_1 + (1/2) \cdot h$$

$$y_2 = y_1 + (1/2) \cdot \Delta y_1$$

hesaplanır ve işleme devam edilir.

$$y_2' = f(x_2, y_2) = f_2$$

$$\Delta y_2 = f_2 \cdot h$$

$$x_3 = x_2 = x_1 + (1/2) \cdot h$$

$$y_3 = y_2 = y_1 + (1/2) \cdot \Delta y_2$$

$$y_3' = f(x_3, y_3) = f_3$$

$$\Delta y_3 = f_3 \cdot h$$

$$x_4 = x_1 + h$$

$$y_4 = y_1 + \Delta y_3$$

$$y_4' = f(x_4, y_4) = f_4$$

$$\Delta y_4 = f_4 \cdot h$$

Elde edilen artma değerlerinin ortalaması alınır

$$\Delta y = \frac{1}{6} (\Delta y_1 + 2\Delta y_2 + 2\Delta y_3 + \Delta y_4) \quad (3.67)$$

Böylece başlangıç noktasında  $h$  uzaklıkta fonksiyonun artış değeri hesaplanmış olur. Bunu bir örnekle açıklayalım;

$$y' = x + y$$

$$x_0 = 0 \text{ ve } y_0 = y(x_0) = 1$$

Yukarıda açıklanan yöntemi kullanarak 2 adımda  $x = 0,4$  noktasına ulaşalım ( $h = 0,2$ )

$$k_1 = h \cdot f(x_0, y_0) = 0,2 (0 + 1) = 0,2$$

$$k_2 = h \cdot f(x_0 + (h/2), y_0 + (k_1/2)) = 0,2 (0 + 0,1 + 1 + 0,1) = 0,24$$

$$k_3 = h \cdot f(x_0 + (h/2), y_0 + (k_2/2)) = 0,2 (0 + 0,1 + 1 + 0,12) = 0,244$$

$$k_4 = h \cdot f(x_0 + h, y_0 + k_3) = 0,2 (0 + 0,2 + 1 + 0,244) = 0,2888$$

$$y_1 = y_0 + \frac{1}{6} (k_1 + 2k_2 + 2k_3 + k_4) = 1 + (1/6)(0,2 + 0,48 + 0,488 + 0,2888) = 1,24280$$

$$x_1 = 0,2 ; y_1 = 1,24280$$

$$x_0 = 0,2 ; y_0 = 1,24280$$

$$k_1 = 0,2 (0,2 + 1,24280) = 0,288560$$

$$k_2 = 0,2 (0,3 + (1,24280 + 0,14428)) = 0,337416$$

$$k_3 = 0,2 (0,3 + (1,24280 + 0,16871)) = 0,342302$$

$$k_4 = 0,2 (0,4 + 0,2 + 1 + 0,244) = 0,397020$$

$$y_1 = 1,24280 + (1/6)(0,288560 + 0,674832 + 0,684604 + 0,397020) = 1,58364$$

$$x_1 = 0,4 ; y_1 = 1,58364$$

Bir de aynı yöntemi kullanarak tek adımda  $x = 0,4$  noktasına ulaşalım ( $h = 0,4$ )

$$x_0 = 0 ; y_0 = 1$$

$$k_1 = 0,4 ( 0 + 1 ) = 0,4$$

$$k_2 = 0,4 ( 0,2 + 1,2 ) = 0,56$$

$$k_3 = 0,4 ( 0,2 + 1,28 ) = 0,592$$

$$k_4 = 0,4 ( 0,4 + 1,592 ) = 0,7968$$

$$y_1 = 1 + (1/6). ( 0,4 + 0,56 + 0,592 + 0,7968 ) = 1,58345$$

$$x_1 = 0,4 ; y_1 = 1,58345$$

Her iki örnekte de  $y_1$ 'nin aynı  $x = 0,4$  noktasında alacağı değer hesaplanmıştır. İlk örnekte daha düşük bir adım uzunluğu, kullanılarak iki adımda; ikinci örnekte ise daha büyük bir adım uzunluğu kullanarak tek adımda aynı  $x = 0,4$  noktasına ulaşılmıştır.

Bu örneğin, analitik çözümü  $y = 2.e^x - x - 1$  'dir.

Bu fonksiyonun türev değeri  $y' = 2.e^x - 1$ 'dir. Bir başka şekilde  $y' = y + x$ 'dır.

Bu fonksiyon  $x = 0,4$  için  $y = 1,583649395$  değerine sahiptir. Bu tam daha önce elde edilen 1,58364 ve 1,58345 değerleri ile karşılaşacaktır olursak;  $h = 0,2$  adım uzunluğu ile yapılan hesaplamanın neredeyse hiç hata vermediği,  $h = 0,4$  adım uzunluğunun ise oldukça iyi bir sonuç verdiği görülmektedir.

Bu nümerik metodla yapılan bu hesaplamalarda hata miktarı  $h^4$  ile orantılıdır. Yani adım uzunluğunun yarısı alınarak, hata 16 defa küçültülebilir. örnekte  $h = 0,4$  adım uzunluğu için hata miktarı 0,00019'dur. Adım uzunluğunun yarısı alındığında,  $h = 0,2$  için hata miktarı  $0,00019 / 16 = 0,00001$  olur. Bu da hemen hemen hiç hata yapılmadığı anlamına gelmektedir.

### **3.2.4.2.7 Basınç değişiminin bilgisayarda hesaplanması**

Yukarıda açıklanan integrasyon yöntemi ile daha önce elde edilen basınç değişim denklemleri Visual Basic programlama dilinde yazarak silindir içérisine akış sırasında basınç değişimini hesaplamak üzerre;

$$\frac{dP_z}{d\theta} = \frac{k}{V_z} \left( \frac{\mu_s F_s}{6n} P_s \sqrt{2.R.T_s} \frac{k}{k-1} \left[ \left( \frac{P_z}{P_s} \right)^{\frac{2}{k}} - \left( \frac{P_z}{P_s} \right)^{\frac{k+1}{k}} \right] - P_z \frac{dV_z}{d\theta} \right) \quad (3.68)$$

- XN : Motor devri ( $d/d$ )  
 G : Yerçekimi ivmesi ( $m/s^2$ )  
 R : Gaz Sabiti ( $J/kg.^{\circ}K$ )  
 Ts : Taze dolgu sıcaklığı ( $^{\circ}K$ )  
 Ps : Emme dolgusu basıncı ( $N/m^2$ )  
 ep : Sıkıştırma oranı  
 rol : Krank yarı çapı / Biyel Boyu  
 vh : Silindir hacmi ( $m^3$ )  
 SS : Silindir başına emme süpap sayısı  
 B : Adım uzunluğu ( $2 ^{\circ}KMA$ )  
 US : KMA' ve süpap kalkışına karşılık gelen süpap akış katsayısı  
 FS : KMA' ve süpap kalkışına karşılık gelen serbest kesit alanı

$vz$ (alfa, rol, ep, vh), hesaplanan adımdaki silindir hacmi ve  $vzg$ (gama, rol, ep, vh), hesaplanan adımdan  $2 ^{\circ}KMA$  önceki silindir hacmi fonksiyonları olmak üzere;

$$\frac{dV_z}{d\theta} = (vz - vzg) / B \quad (3.69)$$

hesaplanabilir.

Visual Basic ortamında açı birimi radyan olduğunda PI ve rad çevrimi için kullanılacak katsayı aşağıdaki gibi tanımlanır.

$$PI = Atn(1) * 4$$

$$rad = PI / 180$$

'kma' programda kullanılan KMA değişkenidir. 'kma' hesaplanacak açıyı kma-2 integrasyonun başlayacağı noktayı ifade eder. EG işlem başlangıcındaki silindir içi basınç değeridir. Bir başka deyişle bir önceki basınç değeridir.

$$B = 2$$

$$A = B * rad$$

$$alfa = (kma-2) * rad$$

$$gama = (kma - 4) * rad$$

$$EG = pz(kma - 2)$$

$$uus = US(kma - 2)$$

$$ffs = FS(kma - 2)$$

$$TK1 = \frac{1.38}{vz(\alpha, \rho_l, e_p, v_h)} * \left( SS * uus * ffs * P_s / (6 * X_N) * \text{Sqr}(\text{Abs}(2 * R * T_s * 1.38 / 0.38 * ((EG / P_s)^{(2 / 1.38)} - (EG / P_s)^{(2.38 / 1.38)}))) - EG * (vz(\alpha, \rho_l, e_p, v_h) - vzg(\gamma, \rho_l, e_p, v_h)) / B) \right)$$

İlk değer hesaplandıktan sonra yarım adım ileri gidilir. TK2 ve TK3 hesaplanır.

$$EG2 = EG + (TK1 * B / 2)$$

$$\alpha = \alpha + A / 2$$

$$\gamma = \gamma + A / 2$$

$$uus = (US(kma - 2) + US(kma)) / 2$$

$$ffs = (FS(kma - 2) + FS(kma)) / 2$$

$$TK2 = \frac{1.38}{vz(\alpha, \rho_l, e_p, v_h)} * \left( SS * uus * ffs * P_s / (6 * X_N) * \text{Sqr}(\text{Abs}(2 * R * T_s * 1.38 / 0.38 * ((EG2 / P_s)^{(2 / 1.38)} - (EG2 / P_s)^{(2.38 / 1.38)}))) - EG2 * (vz(\alpha, \rho_l, e_p, v_h) - vzg(\gamma, \rho_l, e_p, v_h)) / B) \right)$$

$$EG3 = EG + (TK2 * B / 2)$$

$$TK3 = \frac{1.38}{vz(\alpha, \rho_l, e_p, v_h)} * \left( SS * uus * ffs * P_s / (6 * X_N) * \text{Sqr}(\text{Abs}(2 * R * T_s * 1.38 / 0.38 * ((EG3 / P_s)^{(2 / 1.38)} - (EG3 / P_s)^{(2.38 / 1.38)}))) - EG3 * (vz(\alpha, \rho_l, e_p, v_h) - vzg(\gamma, \rho_l, e_p, v_h)) / B) \right)$$

$$EG4 = EG + (TK3 * B)$$

Son olarak yarım adım daha ilerlenir ve adım sonuna gelinir ve son hesaplama yapılır.

$$\alpha = \alpha + A / 2$$

$$\gamma = \gamma + A / 2$$

$$uus = US(kma)$$

$$ffs = FS(kma)$$

$$TK4 = \frac{1.38}{vz(\alpha, \rho_l, e_p, v_h)} * \left( SS * uus * ffs * P_s / (6 * X_N) * \text{Sqr}(\text{Abs}(2 * R * T_s * 1.38 / 0.38 * ((EG4 / P_s)^{(2 / 1.38)} - (EG4 / P_s)^{(2.38 / 1.38)}))) - EG4 * (vz(\alpha, \rho_l, e_p, v_h) - vzg(\gamma, \rho_l, e_p, v_h)) / B) \right)$$

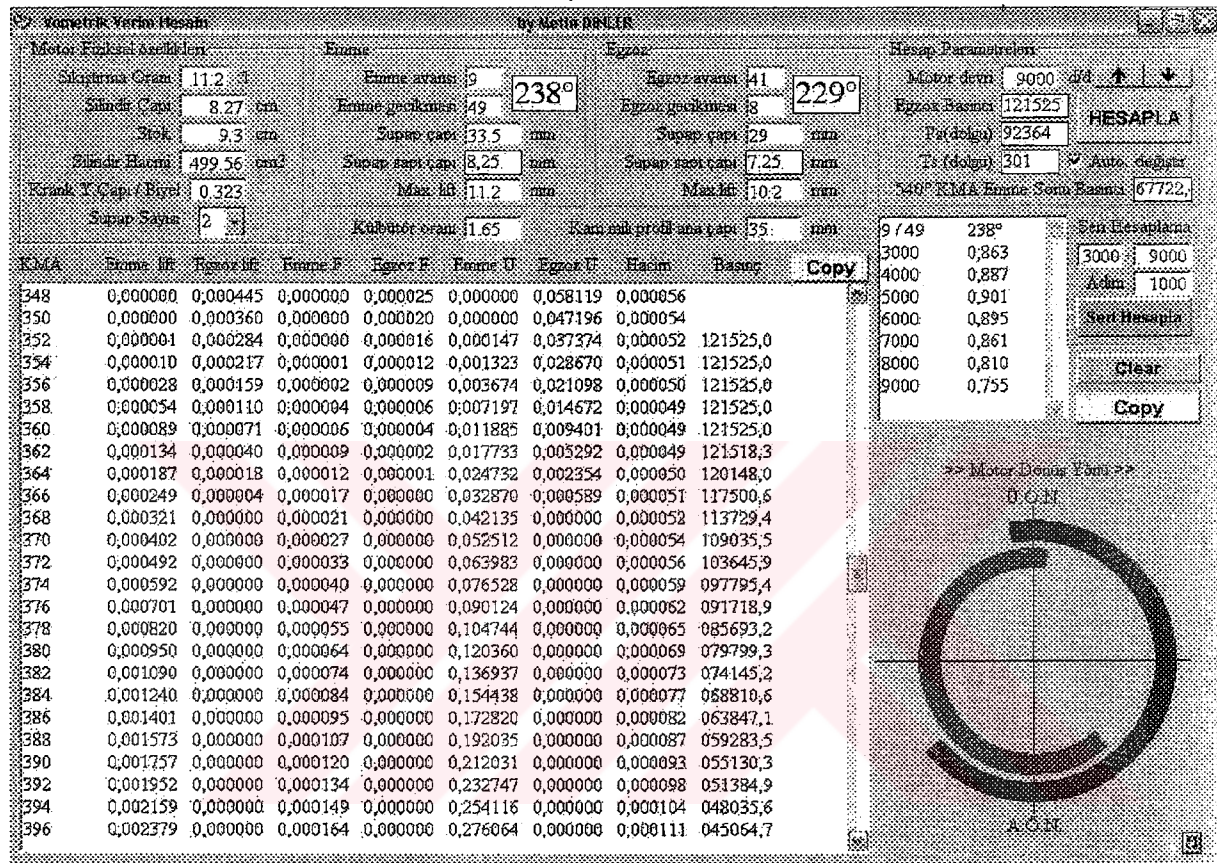
Değerlerin ortalamaları alınır ve adım sonu basınc bulunur.

$$pz(kma) = EG + ((B / 6) * (TK1 + (2 * TK2) + (2 * TK3) + TK4))$$

#### **3.2.4.2.8 Volumetrik verimin Visual Basic programlama dili ile hesaplanması**

#### **3.2.4.2.8.1 Program ara yüzü ve programın kullanım özellikleri**

Program Visual Basic 5.0 programında yazılmış ve derlenmiştir. Aşağıda görülen ara yüz kullanılarak motorla ilgili parametreler girilerek bir çok değer hesaplanabilir.



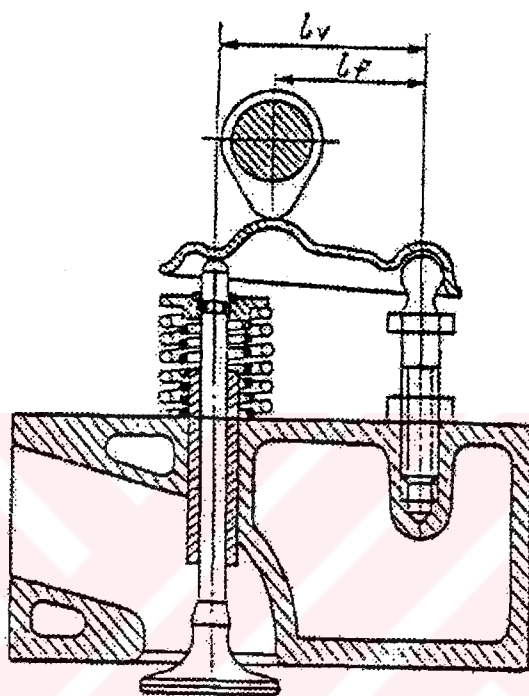
Şekil 3.30 Volumetrik verim Hesabı Programı arayüzü

Program çalıştırıldıktan sonra öncelikle motorun fiziksel özelliklerinin girilmesi gereklidir. Sıkıştırma oranı girildikten sonra, silindir hacmi ve strok yanlarında yazan birim yani cm olarak girilir. program bu bilgilerle motor hacmini hesaplayarak değerini ekrana getirir. Krank yarı çapı biyel uzunluğu oranı piston hareketi hesabında kullanılmak üzere girilir ve silindir başı süpap sayısı en alttaki kutudan seçilir.

Emme bölümünde emme süpabı ile ilgili bilgiler girilir. Süpap açılma avansı ve kapanma gecikmesi girilirken hem toplam kam mili açısı hem de ekranın sağ alt köşesindeki süpap zamanlama grafiği güncellenir. Program süpap kafası çapı milimetre olarak girildiğinde süpap sapi çapını yaklaşık  $\frac{1}{4}$  oranında hesaplayarak ekrana getirir. İstenirse bu değer elle de girilebilir. Son olarak maksimum süpap kalkışı milimetre cinsinden “Max. Lift” bölümüne

yazılır. Egsoz kısmında aynı özelliklere sahiptir ve aynı şekilde giriş yapılır.

Bu bölümlerin altında külbütor oranı ve kam mili profil ana çapı bilgilerinin girileceği kutular yer alır. Külbütor oranı Şekil 3.31'de gösterilen iv uzunluğunun lf uzunluğuna bölünmesiyle elde edilir. Kam mili profil ana çapı da milimetre olarak girildiğinde motorun hesaplamalarda kullanılacak tüm fiziksel özellikleri programa girilmiş olur.



Şekil 3.31 Süpap mekanizması ve külbütor oranı (Kolchin ve Demidov, 1984)

Hesap parametreleri bölümünde motor devri parametresinin girilmesi yeterlidir. "Auto. değiştir" kısmı işaretli ise egzos sonu basıncı, emme dolgusu basıncı ve sıcaklığı otomatik olarak motor devri ve süpap zamanları bilgilerine göre ekranda gerekli yerlere getirilir. Bu değerler alınırken şu kabuller yapılır;

- Egsoz sonu basıncı motor devri artıkça artar.
- Emme dolgusu basıncı motor devri artıkça emme kanalındaki kayıplar artacağından azalır.
- Taze dolgu sıcaklığı motor devri artıkça, dolgu debisi artacağından emme kanalından dolguya olan ısı transferi azalır ve dolgu sıcaklığı motor devri artıkça azalır.

İstenirse "Auto. değiştir" seçeneği kaldırılarak bu değerler elle de girilebilir. Emme sonu basıncı hesaplama sonunda ekrana getirilen bir değerdir. Programda tüm basınç değerleri  $N/m^2$  cinsindendir.

"HESAPLA" tuşuna basılarak hesaplama başlatılır. Motor devri bilgisi yanında bulunan

yukarı ve aşağı oklar kullanılarak motor devri 500 d/d arttırılarak veya azaltılarak hesaplamalar tekrarlatılabilir. Seri hesap yapmanın başka bir yöntemi de “Seri Hesaplama” kısmının kullanılmasıdır. Burada başlangıç ve bitiş devirleri ve hesaplama adımları girilerek, “Seri Hesapla” tuşuna basılır ve bu araliktaki her adımda hesaplar arkaya yapılır.

Hesap sonuçları iki ayrı pencerede ekrana getirilir. Sağdaki küçük pencerede en son hesap yapılan devir bilgisi ile yanında volumetrik verim değeri gösterilir. “Seri hesapla” tuşu kullanıldığında bu pencerede ilk satırda emme süpap zamanlamaları ve emme kam profili açı değeri yazılır ardından seri olarak hesaplanan motor devir ve volumetrik verim değerleri yazılır. Bu pencere dokuz satırdan oluşmaktadır ve her hesaplama sonucu en altsatırdan itibaren yazılır. Bu nedenle son hesap sonuçları için pencere yanında bulunan çubuk yardımıyla en alt sonuçlara ulaşmak gerekebilir. Bunu engellemek için pencerenin hemen sağındaki “CLEAR” tuşıyla seri hesaplamlar öncesi pencere temizlenebilir. Soldaki büyük pencerede en son hesaplama yapılan devirde elde edilen sonuçlar krank mili açısının fonksiyonu olarak ekrana getirilir. Bu bilgiler sırasıyla şöyledir:

KMA : Krank mili açısı

Emme lift : Emme süpabının kalkış değeri (m)

Egsoz lift : Egsoz süpabının kalkış değeri (m)

Emme F : Emme süpabı akış alanı ( $m^2$ )

Egsoz F : Egsoz süpabı akış alanı ( $m^2$ )

Emme U : Emme süpabı akış katsayısı

Egsoz U : Egsoz süpabı akış katsayısı

Hacim : Silindir hacmi ( $m^3$ )

Basınç : Silindir içi basıncı ( $N/m^2$ )

Pencerenin hemen üst sağ köşesinde bulunan “Copy” tuşıyla bu pencereye dökümü alınan tüm sonuçlar hafızaya alınır ve Microsoft Excel gibi bir programa yapıştırılaral grafik çıktı elde edilebilir.

Benzer bir mantığa sahip bir “Copy” tuşu da volumetrik verim çıktılarının yazıldığı pencerenin yanında bulunur. Bu tuşa basıldığında pencere içerisindeki tüm veriler hazırlaya alınır. Buradan elde edilen grafikle bir motorun devre bağlı volumetrik verimi incelenebilir.

Program üzerine başka bir pencere açılığında süpap zamanlama grafiğinde bazı sorunlar çıkabilir. Bu durumda ekranın en alt sağ köşesinde bulunan güncelleme tuşuna basılarak grafiğin güncellenmesi sağlanabilir.

### 3.2.4.2.8.2 Programın yazılımı

Dim TK1, TK2, TK3, TK4, ITETA, EG, EG2, EG3, EG4, UUA, FFA, XN, G, R, Y, X, B,  
gama, alfa, rol, ep, vh As Variant

Dim A, Ps, Ts, Tz, PI, SS As Variant

Dim ua(720), fa(720), US(720), FS(720), pz(720), emlift(720), eglift(720) As Variant

Dim kma, uus, ffs, rad, pzn As Variant

---

```
Private Sub Command1_Click()
```

```
Text1.Text = ""
```

```
Call HESAP
```

```
End Sub
```

---

```
Private Sub Command2_Click()
```

```
Text2.Text = Val(Text2.Text) + 500
```

```
Text1.Text = ""
```

```
Call HESAP
```

```
End Sub
```

---

```
Private Sub Command3_Click()
```

```
Text2.Text = Val(Text2.Text) - 500
```

```
If Val(Text2.Text) < 500 Then Text2.Text = 500
```

```
Text1.Text = ""
```

```
Call HESAP
```

```
End Sub
```

---

```
Private Sub Command5_Click()
```

```
Text12.Text = ""
```

```
textverim = ""
```

```
End Sub
```

---

```
Private Sub Command6_Click() 'SERİ HESAP
```

```
textverim = Text12.Text & Text8.Text & " / " & Text9.Text & Chr(9) & Text10.Text &  
Chr(13) & Chr(10)
```

```
Text12.Text = textverim
```

---

For XN = Val(Text13.Text) To Val(Text14.Text) Step Val(Text15.Text)

Text2.Text = XN

Text1.Text = ""

Call HESAP

Next XN

End Sub

---

Private Sub Command4\_Click() 'basınç ve diğer değerler COPY

Clipboard.Clear ' Clear Clipboard.

Clipboard.SetText Text1.Text

End Sub

---

Private Sub Command7\_Click() 'devir / verim COPY

Clipboard.Clear ' Clear Clipboard.

Clipboard.SetText Text12.Text

End Sub

---

Private Sub Command8\_Click()

Call ciz

End Sub

---

Private Sub Form\_Load()

Show

rad = Atn(1) \* 4 / 180

PI = Atn(1) \* 4

Text2.Text = 3000

Text1.Text = ""

Text = ""

textverim = ""

Call ciz

Call HESAP

End Sub

---

Private Sub HESAP()

## On Local Error GoTo HATA

Show

rad = Atan(1) \* 4 / 180

PI = Atan(1) \* 4

XN = Val(Text2.Text)

'devir

G = 9.81

'G

R = 290

'gaz Sabiti j/kg.k

Ts = Val(Text16.Text)

'sıcaklık Ts 340

Tz = 950

'Silindir içi sıcaklık 950

pz0 = Val(Text11.Text)

'Silindir içi basıncı (107500-130000)/(1000-10000)

Ps = Val(Text3.Text)

'Emme kanal Basıncı (104000-95000)/(1000-10000)

ep = Val(Text5.Text)

'sıkıştırma oranı

rol = Val(Text24.Text)

'biyel krank oranı

vh = Val(Text23.Text) / 1000000

'silindir hacmi

emds = Val(Text18.Text) / 1000

'supap sapi çapı

ems = 0.0018

'supap Oturma yüzeyi genişliği

emd = Val(Text17.Text) / 1000 - 2 \* ems

'emme kanalı çapı

egds = Val(Text28.Text) / 1000

'supap sapi çapı

egs = 0.0018

'supap Oturma yüzeyi genişliği

egd = Val(Text27.Text) / 1000 - 2 \* egs

'egzoz kanalı çapı

beta = 45 \* rad

SS = Val(Combo1.Text)

ega = Val(Text25.Text)

EGG = Val(Text26.Text)

ema = Val(Text8.Text)

EMG = Val(Text9.Text)

ro = Val(Text20.Text) / 2 / 1000 "kam mili ana çapı

EGMAXLIFT = Val(Text29.Text) / 1000 / Val(Text4)

EmMAXLIFT = Val(Text19.Text) / 1000 / Val(Text4)

egaa = 180 - ega

egga = 360 + EGG

emaa = 360 - ema

EMGA = 540 + EMG

EgKAMACI = (ega + EGG + 180) / 4

EmKAMACI = (ema + EMG + 180) / 4

EGR2 = ro - EGMAXLIFT \* Cos(EgKAMACI \* rad) / (1 - Cos(EgKAMACI \* rad))

EmR2 = ro - EmMAXLIFT \* Cos(EmKAMACI \* rad) / (1 - Cos(EmKAMACI \* rad))

SINIREG = Atn((EGR2 \* Sin(EgKAMACI \* rad)) / (ro + EGMAXLIFT - EGR2 + EGR2 \* Cos(EgKAMACI \* rad))) / rad

SINIREM = Atn((EmR2 \* Sin(EmKAMACI \* rad)) / (ro + EmMAXLIFT - EmR2 + EmR2 \* Cos(EmKAMACI \* rad))) / rad

For kma = 0 To 720 Step 2

eglift(kma) = 0: emlift(kma) = 0: FS(kma) = 0: fa(kma) = 0: US(kma) = 0: ua(kma) = 0

If kma >= egaa And kma <= egga Then GoSub EGZOZ

If kma >= emaa And kma <= EMGA Then GoSub EMME

Next kma

For kma = 0 To 720 Step 2

pz(kma) = ""

pz(360) = pz0

If kma >= emaa And kma < 360 Then pz(kma) = pz0

If kma >= emaa And kma >= 362 And kma <= EMGA Then GoSub basınç

If kma > 360 And kma < emaa Then pz(kma) = pz(kma - 2) \* (vzg((kma - 2) \* rad, rol, ep, vh) / vz(kma \* rad, rol, ep, vh)) ^ 1.38

Text = Text & Format(kma, "000") & Chr(9) & Format(emlift(kma), "0.000000") & Chr(9) & Format(eglift(kma), "0.000000") & Chr(9) & Format(FS(kma), "0.000000") & Chr(9) & Format(fa(kma), "0.000000") & Chr(9) & Format(US(kma), "0.000000") & Chr(9) & Format(ua(kma), "0.000000") & Chr(9) & Format(vzg(kma \* rad, rol, ep, vh), "0.000000") & Chr(9) & Format(pz(kma), "000000.0") & Chr(13) & Chr(10)

Next kma

Text6.Text = Format(pz(540), "0.000")

fch = 0.05 / 1500 \* XN + 0.9 + 0.05 / 3 'grafik değerleri (lineer)

vrm = Format((293 / Ts) \* (fch \* ep \* pz(540) - pz0) / ((ep - 1) \* 101325), "0.000")

Text = Text & XN & Chr(9) & emd \* 1000 & Chr(9) & egd \* 1000 & Chr(9) & ro \* 1000 & Chr(9) & Val(Text4) & Chr(9) & Val(Text21) / 100 & Chr(9) & Chr(13) &

Chr(10)

Text1.Text = Text

textverim = Text12.Text & XN & Chr(9) & Format(vrm, "0.000") & Chr(13) & Chr(10)

Text12.Text = textverim

Exit Sub

HATA:

D = MsgBox("Bir hata oluştu." & Chr(13) & "Girilen değerleri kontrol ediniz" & Chr(13) & "Program yaniltıcı sonuç verebilir.", vbCritical, "DİKKAT !")

Exit Sub

basınç:

If pz(kma - 2) <= Ps Then GoTo KUCUK

BUYUK:

'Silindir içi basınçın BÜYÜK olma durumu

B = 2

A = B \* rad

alfa = (kma - 2) \* rad

gama = (kma - 4) \* rad

uus = US(kma - 2)

ffs = FS(kma - 2)

EG = pz(kma - 2)

TK1 = -1.38 \* EG / vz(alfa, rol, ep, vh) \* (SS \* uus \* ffs / (6 \* XN) \* Sqr(Abs(2 \* R \* Tz \* 1.38 / 0.38 \* ((Ps / EG) ^ (2 / 1.38) - (Ps / EG) ^ (2.38 / 1.38)))) + (vz(alfa, rol, ep, vh) - vzg(gama, rol, ep, vh)) / B)

alfa = alfa + A / 2

gama = gama + A / 2

uus = (US(kma - 2) + US(kma)) / 2

ffs = (FS(kma - 2) + FS(kma)) / 2

EG2 = EG + (TK1 \* B / 2)

TK2 = -1.38 \* EG2 / vz(alfa, rol, ep, vh) \* (SS \* uus \* ffs / (6 \* XN) \* Sqr(Abs(2 \* R \* Tz \* 1.38 / 0.38 \* ((Ps / EG2) ^ (2 / 1.38) - (Ps / EG2) ^ (2.38 / 1.38)))) + (vz(alfa, rol, ep, vh) - vzg(gama, rol, ep, vh)) / B)

$$EG3 = EG + (TK2 * B / 2)$$

$$TK3 = -1.38 * EG3 / vz(alfa, rol, ep, vh) * (SS * uus * ffs / (6 * XN) * Sqr(Abs(2 * R * Tz * 1.38 / 0.38 * ((Ps / EG3) ^ (2 / 1.38) - (Ps / EG3) ^ (2.38 / 1.38)))) + (vz(alfa, rol, ep, vh) - vzg(gama, rol, ep, vh)) / B)$$

$$EG4 = EG + (TK3 * B)$$

$$alfa = alfa + A / 2$$

$$gama = gama + A / 2$$

$$uus = US(kma)$$

$$ffs = FS(kma)$$

$$TK4 = -1.38 * EG4 / vz(alfa, rol, ep, vh) * (SS * uus * ffs / (6 * XN) * Sqr(Abs(2 * G * Tz * 1.38 / 0.38 * ((Ps / EG4) ^ (2 / 1.38) - (Ps / EG4) ^ (2.38 / 1.38)))) + (vz(alfa, rol, ep, vh) - vzg(gama, rol, ep, vh)) / B)$$

$$pz(kma) = EG + ((B / 6) * (TK1 + (2 * TK2) + (2 * TK3) + TK4))$$

If kma > 405 And kma <= 540 Then pz(kma) = Ps

Return

KUCUK:

'Silindir içi basıncın KÜÇÜK olma durumu

$$B = 2$$

$$A = B * rad$$

$$alfa = (kma - 2) * rad$$

$$gama = (kma - 4) * rad$$

$$uus = US(kma - 2)$$

$$ffs = FS(kma - 2)$$

$$EG = pz(kma - 2)$$

$$TK1 = 1.38 / vz(alfa, rol, ep, vh) * (SS * uus * ffs * Ps / (6 * XN) * Sqr(Abs(2 * R * Ts * 1.38 / 0.38 * ((EG / Ps) ^ (2 / 1.38) - (EG / Ps) ^ (2.38 / 1.38)))) - EG * (vz(alfa, rol, ep, vh) - vzg(gama, rol, ep, vh)) / B)$$

$$alfa = alfa + A / 2$$

$$gama = gama + A / 2$$

$$uus = (US(kma - 2) + US(kma)) / 2$$

$$ffs = (FS(kma - 2) + FS(kma)) / 2$$

$$EG2 = EG + (TK1 * B / 2)$$

$$TK2 = 1.38 / vz(alfa, rol, ep, vh) * (SS * uus * ffs * Ps / (6 * XN) * Sqr(Abs(2 * R * Ts * 1.38 / 0.38 * ((EG2 / Ps) ^ (2 / 1.38) - (EG2 / Ps) ^ (2.38 / 1.38)))) - EG2 * (vz(alfa, rol, ep, vh) - vzg(gama, rol, ep, vh)) / B)$$

$$1.38 / 0.38 * ((EG2 / Ps) ^ (2 / 1.38) - (EG2 / Ps) ^ (2.38 / 1.38))) - EG2 * \\(vz(alfa, rol, ep, vh) - vzg(gama, rol, ep, vh)) / B)$$

$$EG3 = EG + (TK2 * B / 2)$$

$$TK3 = 1.38 / vz(alfa, rol, ep, vh) * (SS * uus * ffs * Ps / (6 * XN) * Sqr(Abs(2 * R * Ts * \\1.38 / 0.38 * ((EG3 / Ps) ^ (2 / 1.38) - (EG3 / Ps) ^ (2.38 / 1.38))) - EG3 * \\(vz(alfa, rol, ep, vh) - vzg(gama, rol, ep, vh)) / B))$$

$$EG4 = EG + (TK3 * B)$$

$$alfa = alfa + A / 2$$

$$gama = gama + A / 2$$

$$uus = US(kma)$$

$$ffs = FS(kma)$$

$$TK4 = 1.38 / vz(alfa, rol, ep, vh) * (SS * uus * ffs * Ps / (6 * XN) * Sqr(Abs(2 * R * Ts * \\1.38 / 0.38 * ((EG4 / Ps) ^ (2 / 1.38) - (EG4 / Ps) ^ (2.38 / 1.38))) - EG4 * \\(vz(alfa, rol, ep, vh) - vzg(gama, rol, ep, vh)) / B))$$

$$pz(kma) = EG + ((B / 6) * (TK1 + (2 * TK2) + (2 * TK3) + TK4))$$

Return

EGZOZ:

$$EgMILACI = Abs((kma - egaa) / 2 - EgKAMACI)$$

$$\text{If } EgMILACI \geq SINIREG \text{ Then } eglift(kma) = Val(Text4) * (ro / Cos(EgKAMACI - EgMILACI) * rad) - ro$$

$$\text{If } EgMILACI < SINIREG \text{ Then } eglift(kma) = Val(Text4) * (Cos(EgMILACI * rad) * (ro + EGMAXLIFT - EGR2) + Sqr(EGR2 ^ 2 - ((ro + EGMAXLIFT - EGR2) * Sin(EgMILACI * rad)) ^ 2) - ro)$$

$$FA1 = PI * eglift(kma) * Cos(beta) * (egd + eglift(kma) * Cos(beta) * Sin(beta))$$

$$FA2 = PI * (egd + egs) * (egs ^ 2 / Cos(beta) ^ 2 + eglift(kma) ^ 2 - 2 * egs * eglift(kma) * Tan(beta)) ^ (0.5)$$

$$FA3 = PI / 4 * (egd ^ 2 - egds ^ 2)$$

$$fa(kma) = FA3$$

$$\text{If } FA3 \geq FA2 \text{ Then } fa(kma) = FA2$$

$$\text{If } fa(kma) \geq FA1 \text{ Then } fa(kma) = FA1$$

$$\text{If } (eglift(kma) / egd) > 0.35 \text{ Then } hd = 0.35 \text{ Else } hd = eglift(kma) / (egd)$$

'lift/kanal çapı

$ua(kma) = -4.9 * (hd^2) + 3.4 * hd$

'AKIŞ KATSAYISI SERİSİ

Return

EMME:

$EmMILACI = Abs((kma - emaa) / 2 - EmKAMACI)$

If  $EmMILACI \geq SINIREm$  Then  $emlift(kma) = Val(Text4) * (ro / Cos(EmKAMACI - EmMILACI) * rad) - ro$

If  $EmMILACI < SINIREm$  Then  $emlift(kma) = Val(Text4) * (Cos(EmMILACI * rad) * (ro + EmMAXLIFT - EmR2) + Sqr(EmR2^2 - ((ro + EmMAXLIFT - EmR2) * Sin(EmMILACI * rad))^2) - ro)$

$FS1 = PI * emlift(kma) * Cos(beta) * (emd + emlift(kma) * Cos(beta) * Sin(beta))$

$FS2 = PI * (emd + ems) * (ems^2 / Cos(beta)^2 + emlift(kma)^2 - 2 * ems * emlift(kma) * Tan(beta))^{0.5}$

$FS3 = PI / 4 * (emd^2 - emds^2)$

$FS(kma) = FS3$

If  $FS3 \geq FS2$  Then  $FS(kma) = FS2$

If  $FS(kma) \geq FS1$  Then  $FS(kma) = FS1$

If  $(emlift(kma) / emd) > 0.3$  Then  $hd = 0.3$  Else  $hd = emlift(kma) / (emd)$  lift/kanal çapı

$US(kma) = -6.666666 * (hd^2) + 4 * hd$

'AKIŞ KATSAYISI SERİSİ

Return

End Sub

Public Function  $vz(alfa, rol, ep, vh)$

$vz = vh * (1 / (ep - 1) + 0.5 - 0.5 * Cos(alfa) + 0.5 / rol - Sqr(0.25 / rol^2 - 0.25 * Sin(alfa)^2))$

End Function

Public Function  $vzg(gama, rol, ep, vh)$

$vzg = vh * (1 / (ep - 1) + 0.5 - 0.5 * Cos(gama) + 0.5 / rol - Sqr(0.25 / rol^2 - 0.25 * Sin(gama)^2))$

End Function

Private Sub Text17\_Change()

Text18.Text = Val(Text17.Text) / 4

End Sub

```
Private Sub Text8_Change()
Text10.Text = Format(Val(Text8.Text) + Val(Text9.Text) + 180, "000°")
Call ciz
If Check1.Value = 1 Then Call yaklaşım
End Sub
```

---

```
Private Sub Text9_Change()
Text10.Text = Format(Val(Text8.Text) + Val(Text9.Text) + 180, "000°")
Call ciz
If Check1.Value = 1 Then Call yaklaşım
End Sub
```

---

```
Private Sub Text2_Change()
If Check1.Value = 1 Then Call yaklaşım
End Sub
```

---

```
Private Sub Check1_Click()
If Check1.Value = 0 Then
Text3.Text = 91675
Text11.Text = 115800
Text16.Text = 303
Exit Sub
End If
If Check1.Value = 1 Then Call yaklaşım
End Sub
```

---

```
Private Sub Text25_Change()
Text31.Text = Format(Val(Text25.Text) + Val(Text26.Text) + 180, "000°")
Call ciz
End Sub
```

---

```
Private Sub Text26_Change()
Text31.Text = Format(Val(Text25.Text) + Val(Text26.Text) + 180, "000°")
Call ciz
```

---

End Sub

---

```
Private Sub Text27_Change()
Text28.Text = Val(Text27.Text) / 4
End Sub
```

---

```
Private Sub Text21_Change()
Text23.Text = Format(Val(Text21.Text) ^ 2 / 4 * PI * Val(Text22.Text), "0.00")
End Sub
```

---

```
Private Sub Text22_Change()
Text23.Text = Format(Val(Text21.Text) ^ 2 / 4 * PI * Val(Text22.Text), "0.00")
End Sub
```

---

```
Sub ciz()
Cls
For t = 1800 To 1550 Step -10
Circle (13000, 8000), t, RGB(0, 0, 255), (270 - Val(Text9.Text)) * rad, (90 +
Val(Text8.Text)) * rad
Next t
For t = 1450 To 1200 Step -10
Circle (13000, 8000), t, RGB(255, 0, 0), (90 - Val(Text26.Text)) * rad, (270 +
Val(Text25.Text)) * rad
Next t
End Sub
```

---

```
Sub yaklaşım()
Text11.Text = Int(103255 + 1.93 * Val(Text2.Text) - ((20 / Val(Text9.Text)) * 3000 -
Val(Text2.Text)) * (55 - Val(Text9.Text)) * 0.0193) 'egzoz
Text3.Text = Int(88780 + (6000 - Val(Text2.Text)) * (90 - Val(Text9.Text)) / 621.761 +
Val(Text9.Text) * 77.2) 'emme
Text16.Text = Int((-0.00003 * (Val(Text9.Text) / 45) * Val(Text2.Text) + 0.6) *
(Val(Text9.Text) - 10) + 290) 'sıcaklık
End Sub
```

### 3.2.4.2.8.3 Yazılan program ile elde edilen sonuçlar

Öncelikle Renault Clio II Sport 2.0 RS model araçta kullanılan 1998 cm<sup>3</sup> silindir hacmine sahip, silindir başına 4 süpaplı, 4 silindirli, 6250 d/d'da 172 BG güç ve 5400 d/d 200 Nm tork üretebilen F4R 730 indisli motor incelenmiştir. Bu motorun dolgu değişimi ile ilgili değerleri Çizelge 3.1'de verilmiştir. Motor oldukça sportif özelliklere sahiptir.

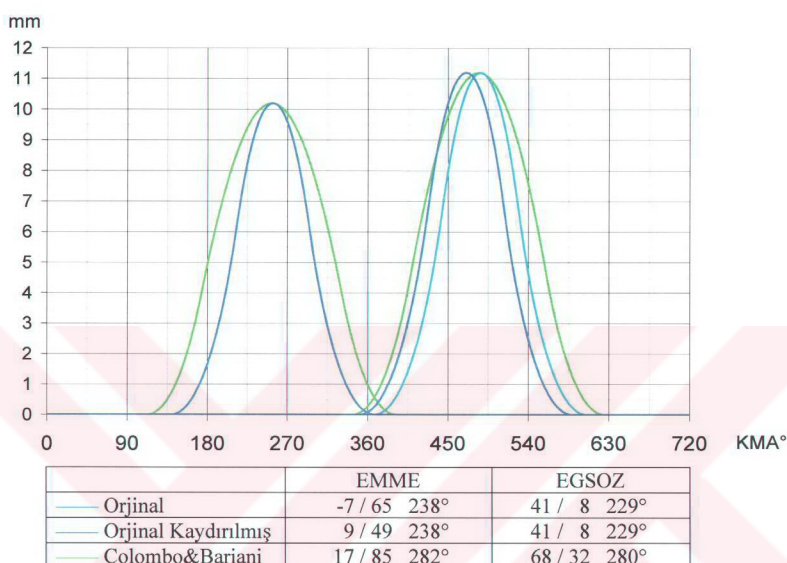
Bu motor emme kam mili üzerinde bir açı kaydırıcı ile donatılmıştır. Açı kaydırıcının beslemesi 16°'lik bir kayma sağlar. Motor ilk çalıştırıldığında beslenir ve emme süpapı açılma avansı 9°'ye çekilir. 3000 d/d'ya kadar beslenen açı kaydırıcının bu devirden sonra beslemesi kesilir ve emme süpapı açılma avansı -7°'ye kaydırılır. Avansın eksi (-) değeri süpapın açılmasına başladığı noktanın Ü.O.N.dan sonra olduğunu gösterir. Bu kaydırma işlemi sonucu düşük devirlerde 49°'de kapanan emme süpapının, yüksek devirlerde 65°'de kapanması sağlanmış olur.

Çizelge 3.1 Renault F4R 730 indisli 1998 cm<sup>3</sup> hacimli motorun özellikleri.

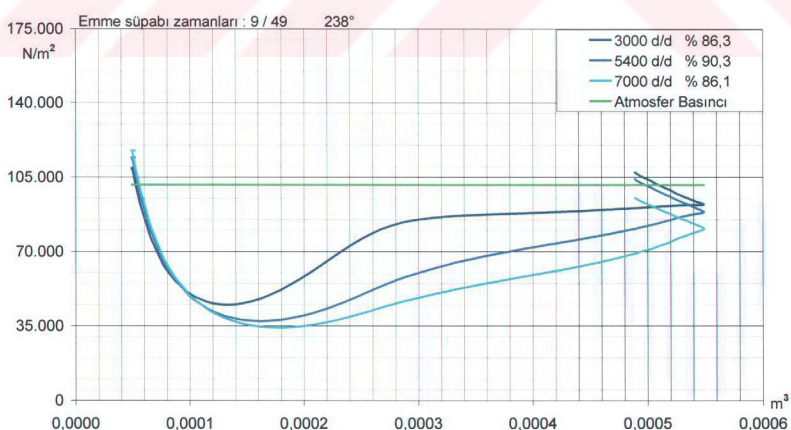
Motor	F4R 730
Sıkıştırma Oranı	11,2
Silindir Çapı	82,7 cm
Strok	93 cm
Biyel Boyu	144 mm
Krank yarıçapı / Biyel Boyu Oranı	0,323
Emme Açılma Avansı	-7 KMA°
Emme Kapanma Geçikmesi	65 KMA°
Emme Açılma Avansı (kaydırılmış)	9 KMA°
Emme Kapanma Geçikmesi (kaydırılmış)	49 KMA°
Emme Süpap çapı	33,5 mm
Emme max. süpap kalkışı	11,2 mm
Egsoz Açılma Avansı	41 KMA°
Egsoz Kapanma Geçikmesi	8 KMA°
Egsoz Süpap çapı	29 mm
Egsoz max. Süpap kalkışı	10,2 mm
Külbütör Oranı	1,65
Profil Ana Çapı	35 mm
Kam Mili Yatak Çapı	25 mm

Ayrıca bu motora Colombo&Bariani marka, 280°'lik, aynı süpap kalkışına sahip emme ve egsoz kam mili uygulaması yapıldığında volumetrik verimin, silindir içi basıncın ve süpap kalkışlarının nasıl etkilendiği de incelenmiştir. Bu eksantrik milleri ile birlikte enjeksiyon

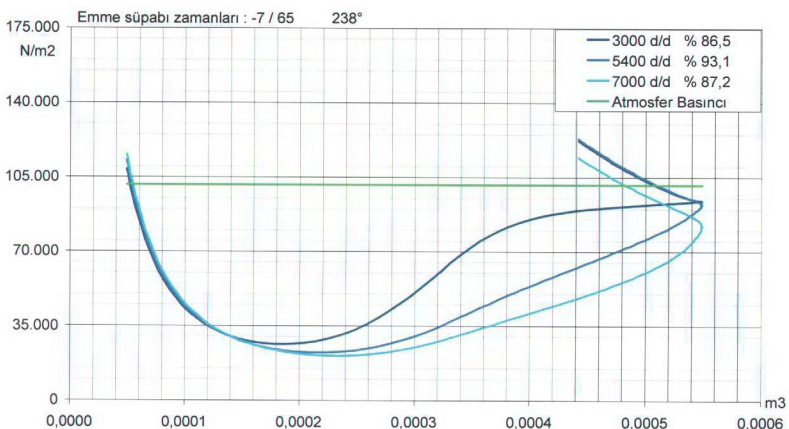
beynine uygun kartografi yüklenliğinde yaklaşık 20 BG güç artışı elde edilmektedir. Orjinal kam mili ile 7000 d/d'da %87,2 seviyesine düşen volumetrik verim 280 derecelik eksantrik mili ile %98,8 seviyesine ulaşabilmektedir.



Şekil 3.32 F4R 730 motorunun KMA'na göre süpap kalkışları



Şekil 3.33 F4R 730 motorunun P-V diagramı (kam mili düşük devir pozisyonunda)

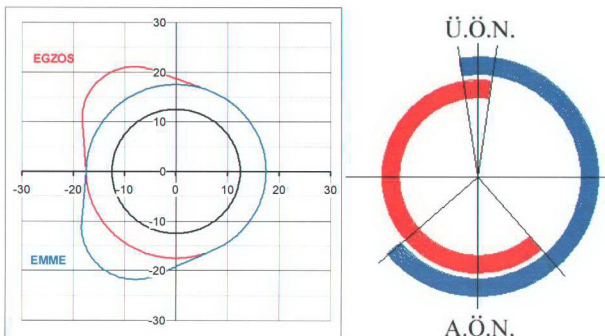


Şekil 3.34 F4R 730 motorunun P-V diagramı (kam mili yüksek devir pozisyonunda)

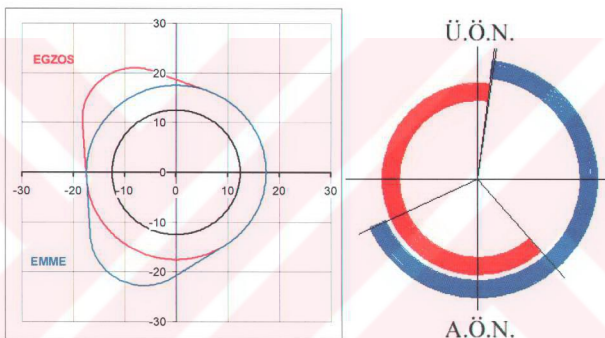


Şekil 3.35 F4R 730 motorunun P-V diagramı (Colombo&Bariani marka, 280°lik yarıs tipi eksantrik ile)

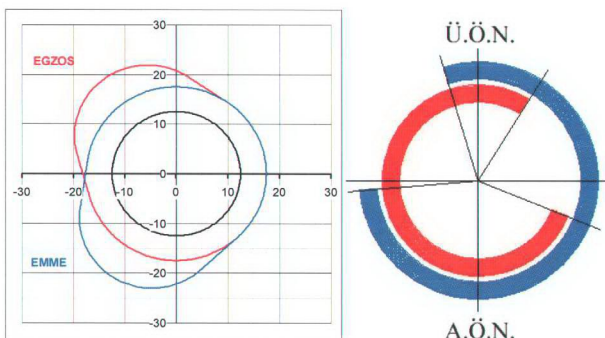
Şekil 3.38 de görülen geniş açılı, yarıs tipi eksantriklerin giriş açıları çok yüksektir. Bunun sebebi tepe çaplarının çok yüksek olmasıdır. Bu durum süpap üzerinde çok yüksek ivmelenmelere yol açmaktadır. Yüksek ivme değerlerinin süpaplara zarar vermesini engellemek için, özellikle profiline süpap açılış yönündeki kısmı içe doğru işlenir.



Şekil 3.36 F4R düşük devir pozisyonu; Emme : 9 / 49 ( 238° ), Egsoz : 41/ 8 (228°)

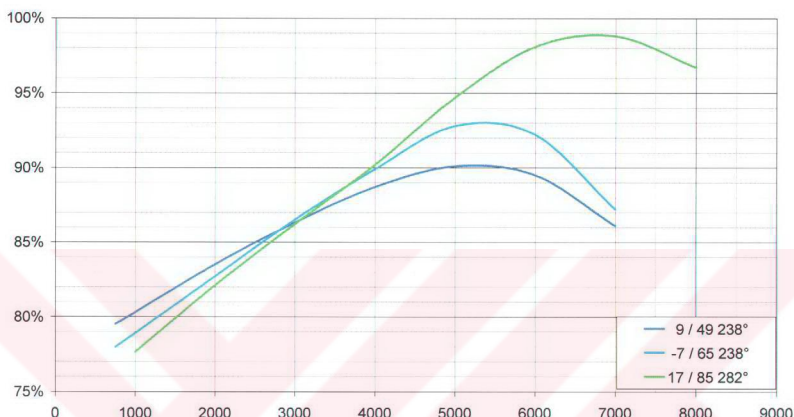


Şekil 3.37 F4R yüksek devir pozisyonu; Emme : -7 / 65 ( 238° ), Egsoz : 41/ 8 (228°)



Şekil 3.38 F4R için yarış tipi eksantrik; Emme : 17 / 85 ( 282° ), Egsoz : 68/ 32 (280°)

Bu işlem yüksek sıkıştırma oranlı motorlarda süpabın pistona çarpmasını da engeller. Daha önce de bahsedildiği gibi bu yüksek ivme değerleri daha sert süpap yaylarına ihtiyaç duyulmasına sebep olur. Süpap yayları sertleşikçe eksantrik kasnak ve kayışya binen yük artacaktır. Bu tip eksantrik uygulamalarında süpap yayları ile birlikte eksantrik kayışının ve kasnakların da özenle seçilmesi gereklidir.



Şekil 3.39 Değişik Emme süpabı zamanlaması ile F4R 730 motorunun volumetrik verimi

Şekil 3.39 da görülen volumetrik verim değerleri motorun genel performansı hakkında fikir verece de elde edilen güç sıkıştırma sonu basıncı, yanma verimi, egzos süpabı açılma zamanlaması gibi bir çok faktöre bağlıdır. Yüksek dereceli eksantrikli motorlarda süpaplara super pozisyonu yüksek olması, emme süpabının sıkıştırma prosesi sırasında uzunca bir süre açık kalması düşük devirlerde beklenen performansın elde edilemesine sebep olur. Bu tip yüksek eksantrik derecelerine sahip motorlarda düşük devirlerde kararsızlık gözlemlenir. Ralantide ki kararsızlık motorun stop etmesi dahi sebep olabilecek değerdedir. Bu nedenle eksantrik uygulaması yapılmış motorların ralantı değerlerinin de yükseltilmesi gereklidir. Ralantı devri motor ve eksantrik karakteristiğine göre  $1500 \text{ d/d'}$  mertebesine çıkabilir. Yarış koşullarında yakıt ekonomisi söz konusu olmadığı için bu durum sorun teşkil etmemektedir. Yarış koşullarında düşük devirler kullanılmadığı için bu devirlerdeki performans eksikliği önemini kaybetmektedir. Motorun yüksek devirlere çıkabilmesi daha önemlidir. Ralli ve pist yarışlarında kullanılan motorlar  $9000 \text{ d/d'}$ ya çıkabilecek yapıdadırlar. Hatta Formula 1 motorları  $18.000 \text{ d/d'}$  mertebesine ulaşabilmektedir.

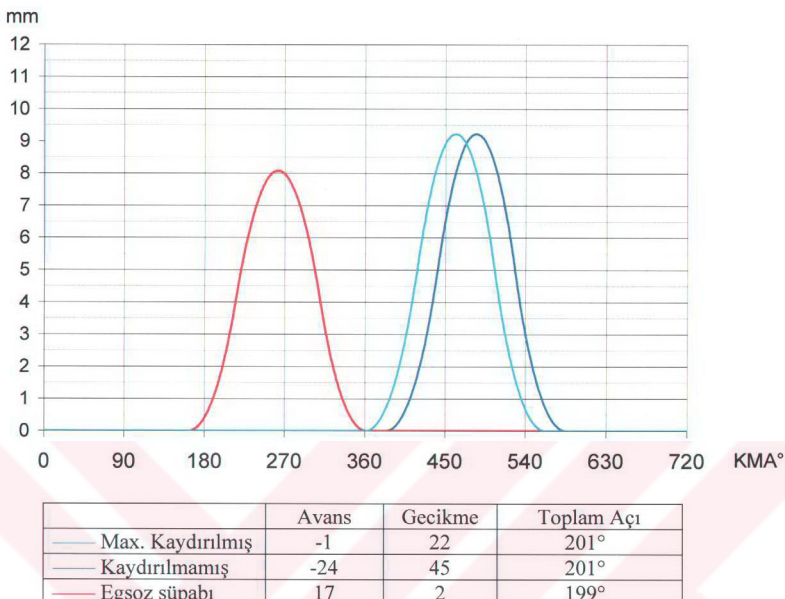
Bir diğer inceleme de Renault Megane II 1.6 model araçta kullanılan  $1598 \text{ cm}^3$  silindir hacmine sahip, silindir başına 4 süpaplı, 4 silindirli, 6000 d/d'da 115 BG güç ve 4200 d/d 152 Nm tork üretebilen K4M 760 indisli motordur. Bu motorun dolgu değişimi ile ilgili değerleri Çizelge 3.2'de verilmiştir. Motor düşük devirlerde ekonomik bir karaktere sahipken yüksek devirlerde hacmine göre oldukça iyi güç değerine ulaşabilmektedir.

Bu motor emme kam mili üzerinde bir açı kaydırıcı ile donatılmıştır. Ayrıca gaz kelebeğinin pozisyonu enjeksiyon beyni tarafından kontrol edilmektedir. Gaz pedali üzerinde bulunan bir potansiyometre sürücünün istediği enjeksiyon beynine iletir. Enjeksiyon beyni motor devrine göre uygun eksantrik açısını ve gaz kelebek pozisyonu belirleyerek sürücü isteğine cevap verir. Açı kaydırıcı kademeli olarak beslenme kapasitesine sahiptir ve enjeksiyon beyninin stratejisine göre  $0\text{--}23^\circ$  kayma sağlar. 3500 d/d'dan sonra beslemesi kesilir ve emme süpabı kapanma geçikmesi  $45 \text{ KMA}^\circ$ 'da gerçekleşir.

Çizelge 3.2 Renault K4M 760 indisli  $1598 \text{ cm}^3$  hacimli motorun özellikleri

Motor	K4M 760
Sıkıştırma Oranı	10,0
Silindir Çapı	79,5 cm
Strok	80,5 cm
Biyel Boyu	128 mm
Krank yarıçapı / Biyel Boyu Oranı	0,314
Emme Açılma Avansı	-24 KMA°
Emme Kapanma Geçikmesi	45 KMA°
Emme Açılma Avansı (kaydırılmış)	-1 KMA°
Emme Kapanma Geçikmesi (kaydırılmış)	22 KMA°
Emme Süpap çapı	32,7 mm
Emme max. süpap kalkışı	9,221 mm
Egsoz Açılma Avansı	17 KMA°
Egsoz Kapanma Geçikmesi	2 KMA°
Egsoz Süpap çapı	28 mm
Egsoz max. Süpap kalkışı	8,075 mm
Külbütör Oranı	1,85
Profil Ana Çapı	33 mm
Kam Mili Yatak Çapı	25 mm

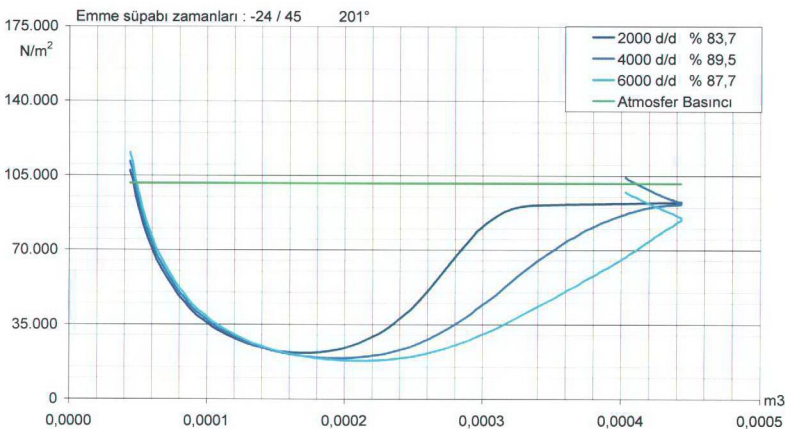
Burada ki uygulamanın amacı yüksek devirlerde yüksek güç elde etmekten daha çok düşük devirlerde ekonomik çalışabilen bir motor elde etmektir. Düşük devirlerde silindire fazla hava girmesine izin verilmeyerek yanabilir yakıt hava karışımı için daha az yakıta ihtiyaç duyulur.



Şekil 3.40 K4M 760 motorunun KMA'na göre süpap kalkışları



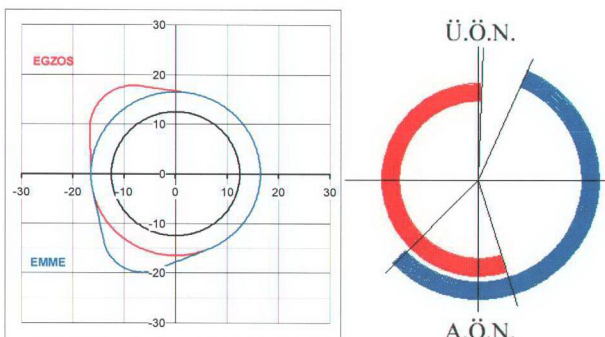
Şekil 3.41 K4M 760 motorunun P-V diagramı (kam mili düşük devir pozisyonunda)



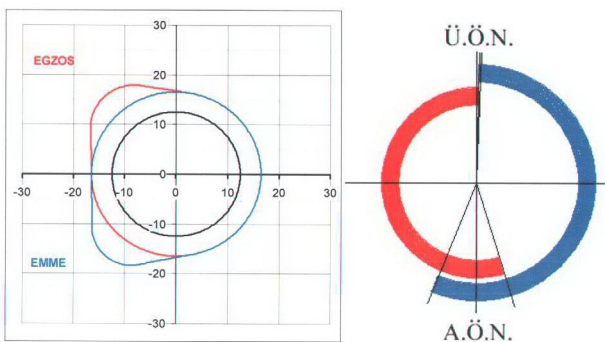
Şekil 3.42 K4M 760 motorunun P-V diagramı (kam mili yüksek devir pozisyonunda)

Şekil 3.42 de emme süpabının Ü.O.N.'dan sonra açılması ile silindir içerisinde yüksek mikarda vakum oluştuğu gözlemlenebilmektedir. Motor bu konumda çalışırken emme prosesi sırasında 22° boyunca her 4 süpapda kapalıdır. Vakum etkisini yaratan ve silindir içerisindeki basıncı düşüren olay da süpapların kapalı olduğu anda pistonun A.O.N.'ya doğru yoluna devam ediyor olmasıdır.

23° kayma açısı oldukça büyük bir değerdir. Sistemin üzerindeki, süpap ivmelerinin oluşturduğu yükü azaltabilmek için basık bir profil kullanılmıştır. Gerek duyulan süpap kalkışı külbüktör oranın yükseltilmesi ile sağlanmıştır.

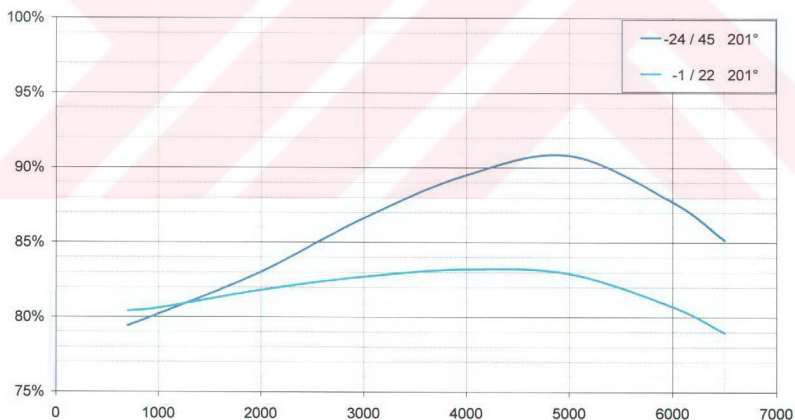


Şekil 3.43 K4M 760 yüksek devir pozisyonu; Emme : -24 / 45 ( 201° ), Egzoz : 17 / 2 ( 199° )



Şekil 3.44 K4M 760 düşük devir pozisyonu; Emme : -1 / 22 ( 201° ), Egsoz : 17/ 2 (199°)

Ayrıca emme kam mili üzerinde kam profillerinin yarattığı kayış gerginliğini azaltacak yönde ek bir profil yerleştirilmiştir. Dört köşe biçimindeki bu profilen her bir köşesi bir silindirin süpapları açılırken yarattığı karşı kuvveti yenecek bir kuvvet oluşturur. Böylece kayış üzerindeki gerilme kuvvetleri azaltılmış olur. Bu profilen süpaplarla bir ilişkisi yoktur ve külbütör kapağı üzerine yerleştirilmiş bir yay ve makara sistemi ile birlikte kullanılır.



Şekil 3.45 Değişik Emme süpabı zamanlaması ile K4M 760 motorunun volumetrik verimi

Enjeksiyon beyni sürücünün isteğine göre kam açısını ve kelebek pozisyonunu kullanarak Şekil 3.45 de görülen iki eğri arasında kalan bölgeyi kullanır. Düşük devirlerde az hava, az yakıtla hacmine göre ekonomik bir motor olarak çalışır.

#### 4. SONUÇ

Genel anlamda daha fazla güç elde etmek için daha fazla yakıt kullanmak gerekmektedir. Ancak yakıt hava karışımının belli bir sınırı vardır. İlk bölümlerde açıklandığı gibi maksimum güç elde etmek için hava fazlalık katsayısının 0,85 mertebesinde olması gereklidir. Bu şartta uyan bir hava yakıt karışımında yanmaya katılmadan silindirden atılan oksijen miktarının sıfır yakın olmalıdır. Yakıtın bir kısmı tam olarak yakılmasına da havanın tamamı kullanılmış olur. Yarış ortamında yakıt harcamının pek de önemi yoktur. Bir miktar yakıtın tam olarak yanmaması da büyük bir problem yaratmaz. Hava fazlalık katsayısının 0,85 altına düşmesi yani karışımın daha da zenginleşmesi hem motora zarar verecek hem de güç kaybına sebep olacak bazı olayların meydana gelmesine sebep olmaktadır. Aşırı zengin karışım ile çalışan bir motorda piston üst yüzü ve yanma odası cidarları kurulanır. Kurulanma, diğer bir değişle karbon tabakasının yanma odası cidarlarında birikmesi kontolsuz ateşlemenin yanı vurunun ortaya çıkmasına sebep olur. Silindir bloğu, segman ve piston yüzeylerindeki aşınmalar hızlanır. Zengin karışımla çalışan bir motorun ömrünün azalacağı açıklıdır. Zengin karışım oluşumu sırasında homojenliği sağlamak için yakıt basıncının yükseltilmesi genel bir uygulama örneğidir. Böylece küçük parçalara ayrılabilen yakıt damlacıkları hava ile daha kolay etkileşime girer.

Ateşlemenin belli bir avansla gerçekleştirilmesinin amacı yanmanın başlaması ile yükselen basınç artışını ve pistonun Ü.O.N.dan A.O.N.ya doğru hareketi ile hacim artışı ve basınç düşüşünü dengeleyerek, silindir içi basıncının pik noktasını Ü.O.N.ya mümkün olduğu kadar yaklaşımaktır. Avansı artırarak bu pik noktası Ü.O.N.ya doğru çekilir ve daha fazla güç elde edilir. Motorda vurunu olayın engellenmesi için ateşleme avansı azaltılır. Böylece yanma sonu basıncı düşer vurunu olayı ortadan kalkınca ateşleme avansı tekrar artırılır. Ancak bu arada güç kaybı olur. Vurunu riskini azaltmak için yüksek oktanlı yakıt kullanmak gereklidir.

Motorlarda güç artırımı tek bir modifikasyonla sağlıklı bir şekilde gerçekleştirilebilecek bir olay değildir. Yapılan her modifikasyonun getirileri yanında eksiyi yönlerini de düşünmek gereklidir. Motor devrinin yükseltilmesi, gücü direk olarak etkiler ancak motor ömrünü azaltacağı da açıklıdır. Bunun nedeni, atalet kuvetlerinin motorun emniyet sınırlarını zorlaması ve motorun dizaynı sırasında belirlenen yağlama şartlarının bozulmasıdır. Bununla birlikte emme kanalında gerekli düzenlemeler yapılmadığı sürece yüksek devirlere çokluşturma motor verimi düşecektir. Bir başka uygulama da sıkıştırma oranının artırılmasıdır. Sıkıştırma oranının yükseltilmesi motor termik verimini de yükseltecektir. Sıkıştırma sonu basıncı yükseldiği gibi yanma sonu basıncı da yükselecektir. Vurunu riskinin arttığı bu durumda

pistonlar, biyel kolu ve silindir kapağı civataları özellikle zorlanacaktır. Motor vuruntulu çalıştığı sürece yüksek güç elde etmek mümkün olmayacağı. Sıkıştırma oranını kullanacak yakıtta göre iyi belirlemek gereklidir. Aşırı doldurmalı bir motorun doldurma basincının yükseltilmesi de yaklaşık olarak sıkıştırma oranının arttırılması ile aynı riskleri taşımaktadır.

Atmosferik bir motora sonradan aşırı doldurma uygulaması köklü değişiklikleri de beraberinde getirmektedir. Aşırı doldurma uygulamasında emme manifoldfunda da bir değişilik yapılmış zorunlu olacağı açıklıdır. Kompresörün tahrığı, bir kayış, dişli veya zincir ile motorun kendisinden sağlanacak ise uygulama basitleşse de kasnak veya dişli sisteminin yerleştirilmesi güçlükler ortaya çıkacaktır. Bir turboşarj ünitesi kullanılacak ise egzoz manifoldunun sisteme uygun hale getirilmesi gerekmektedir. Böyle bir uygulama, silindir basınclarını artıracagından piston, biyel kolları, silindir kapak civatalarının ve silindir kapak contası başta olmak üzere bir çok modifikasyon gerektirmektedir. Motor mukavemeti artırılmışdan yapılan uygulamalarda kompresör basıncı fazla yükseltilmeyeceğinden fazla bir güç artışı elde edilemediği gibi motor emniyet sınırları da zorlanmış olacaktır. Sonradan aşırı doldurma köklü değişiklikler gerektirdiği ve yarıya katılacak bir araçta sınıf değişikliğine sebep olacağından pek tercih edilmemektedir. Daha önce de bahsedildiği gibi yarınlarda aşırı doldurma motorlarının sınıfları belirlenirken motor hacmi 1,7 kat sayı ile çarpılmaktadır. Bunun anlamı atmosferik bir motora aşırı doldurma uygulaması yapıldığında %70 güç artışı elde edilemeyorsa yapılan modifikasyonun yarıda bir avantaj getirmeyecek olmasıdır. %70 güç artışı ile silindir basıncının da aynı oranda artacağını düşünmek çok da yanlış olmaz. Silindir basıncında bu mertebedeki bir artış motorda köklü değişikler yapılmasına sebep olacak bir artıktır. Günümüzde yarınlara katılan 2 lt turbo motorlu araçların güçleri 300 BG seviyesindedir. Konvensiyonel 2 lt bir motor yaklaşık 140 BG üretebilmektedir. Bu motorları aşırı doldurma uygulaması ile 300 BG üretecek hale getirmek oldukça masraflı ve detaylı çalışmalar gerektirmektedir. 2 lt silindir hacmine sahip bir motora aşırı doldurma uygulayarak sınıfını yükseltmektense volumetrik verimi, sıkıştırma oranı ve motor devrini yükselterek performansını artırmak daha avantajlı olacaktır. Bu sayede 3,4 lt silindir hacmine ait sınıf yerine, 2 lt silindir hacmine sahip otomobilere aynı sınıfta kalacaktır.

Dolgu değişiminin iyileştirilmesi hem yarış ortamında hem günlük kullanımda ekstra performans isteyen kullanıcılar için en önemli konudur. Bu konudaki modifikasyonlar emme, egzoz hattı ve supap zamanlamaları ile ilgilidir. Dolgu değişiminin iyileştirilmesinin esas amacı egzoz gazlarının silindirden dışarı atılmasını ve taze dolgunun silindire girişini kolaylaştırmaktır. Böylece silindir hacmi sabit kaldığı halde daha fazla yakıt yakarak daha

fazla güç elde edilebilir.

Otomobilin performansını etkileyen başlıca unsurlardan biri motorun yeterli miktarda havayı yeterli hızda ve yeteri kadar düşük sıcaklıkta alabilmesidir. Otomobillerde üreticinin kullandığı hava filtreleri, çoğunlukla kağıt veya kağıt kökenli maddelerden imal edilmiş, geçirgenliği zayıf, kolay ve hızlı kirlenerek işlevini kaybedebilecek elemanlardır. Otomobil üreticisi birkaç sebepten dolayı bu mükemmelliğten uzak yöntemi tercih etmektedir; kağıt bazlı filtreler daha ucuzdur, daha sessizdir, daha kısa ömürlüdür ve çabuk yenilenmesi gerekecektir. Böylece yedek parça satışı da artacaktır.

Sonuçta bu standart filtreler, yeni ve temiz haliyle günlük kullanımında ihtiyaca cevap verebilir. Fakat performansa yönelik kullanımlarda ve yüksek devirlerde, motorun dışarıdaki havayı, ihtiyaç duyduğu miktarda ve ihtiyaç duyduğu hızda emmesi standart filtre ile mümkün olmayacağındır. Bu filtre belli bir süre sonra, üzerinde biriken toz ve kirden dolayı artık görevini yapamaz hale gelecek ve tam anlamıyla motoru nefessiz bırakacaktır. Bunun sonucunda, kayda değer ölçüde performans kaybı, benzin tüketiminde artışlar ve benzeri istenmeyen durumlar ortaya çıkacaktır.

Otomotiv yan sanayi tarafından koton malzemeden üretilen filtreler ise hem havayı kağıttan daha iyi süzerek içeri giren hava miktarını ve hızını artırmakta, hem de toza karşı daha uzun süre hassas kalarak motoru koruyabilmektedir. Bunun yanında koton bazlı filtreler, özel solüsyonlarla ortalama 10 bin km'de bir temizlenip özel yağı ile yağlanmak üzere 100 bin km'ye kadar kullanılabilirler.

Yine yan sanayi tarafından üretilen diğer bir tür de sünger bazlı hava filtreleridir. Bunların yarınlarda kullanımı oldukça yaygındır. Çünkü bu filtreler, yapı ve malzeme yönünden havayı koton filtrelerden daha fazla alır ve bundan dolayı çoğu zaman kısa vadede daha iyi performans verirler. Fakat sünger filtreler toz tutma ve muhafaza etmede kotonlar kadar başarılı olmadıkları için, sık temizlenmezlerse tıkanıklık yaratırlar ve performans düşüşüne sebep olurlar. Bu filtrelerin ömrü koton filtrelerle göre daha kısalıdır.

Performansa yönelik hava filtreleri kullanım yeri olarak kutu içi ve açık olmak üzere iki gruba ayrılırlar. Kutu içi koton hava filtreleri; hemen hemen tüm hava滤resi üreticilerinin, çoğu otomobil modeli için ürettiği filtrelerdir, otomobilin standart hava滤resinin kutusu içinde, standart kağıt filtresinin yerine yerleştirilir. Motor sesini artırmaması, havayı standart filtrede daha temiz, daha bol süzebilmesi ve uzun ömürlü oluşu avantajlarıdır. Ancak performansa olan katkıları açık hava filtrelerine oranla daha zayıftır. Açık hava filtreleri, koton veya sünger

filtreler olmak üzere, otomobilin standart filtre kutusu komple iptal edilerek veya sadece kutunun kapağı çıkartılarak, filtre açıkta kalacak şekilde monte edilirler. Doğru yere ve doğru şekilde monte edildikleri takdirde hava girişini rahat, hızlı ve daha serin hale getirerek performansa ciddi ölçüde katkıda bulunurlar. Açıkta olduğlarından dolayı motor sesini hissedilir şekilde artırmaları dezavantajlarıdır, fakat yarış ortamında motor sesinin yükselmesinin bir önemi yoktur. Açık hava filtrelerinin montajında dikkat edilmesi gereken hususlar vardır. Hava filtresinin bağlı olduğu boru, olabildiğince düz yüzeyli ve düz bir parkurda monte edilebilecek şekilde olmalıdır. Motora giren havanın ısımması performansı olumsuz etkileyecektir. Soğuk hava giriş için hava filtersi motor sıcaklığından olabildiğince az etkilenecek şekilde monte edilmelidir. Bunun için kaputun altında motor blokundan mümkün olduğu kadar uzak, mümkün olduğunda serin hava alabilecek şekilde hava girişlerine yakın olmalıdır. Otomobilin motor kompartimani bu yapıya izin vermiyorsa, açık filtre motora çok yakın mesafede kalyorsa motor ile filtre arasında ısıya dayanıklı izolasyon malzemeleri gerilerek filtre motordan gelen ısından korunabilir. Hatta yarış otomobillerinde tüm emme hattı ısı izolasyon malzemeleri ile kaplanmaktadır. Bir diğer önlem de filtrenin üzerine soğuk hava gelecek şekilde kaput dışına açılan kanallar yerleştirmektir. Ancak bu kanalların dışarıdan su girişine imkan vermemesi gereklidir. Çünkü filtre ıslanırsa görevini yerine getiremez. Benzer şekilde, filtrenin borusunu eğer kaput altındaki boşluklar elveriyorsa arabanın altına doğru uzatmak ve aşağıya bakacak şekilde yerleştirmek bir başka uygulamadır. Burada ise filtrenin hem suya ve çamura maruz kalma, hem de yol bozukluklarına ve tümseklerle çarpma riski artmaktadır. Bu nedenle pek tercih edilen bir yöntem değildir.

Emme hattına yapılan en kapsamlı modifikasyon emme manifoldunun ortadan kaldırılması ve her silindir için ayrı bir kelebek kutusu yerleştirilmesidir. Bu uygulamada her silindirin ayrı bir kelebeği olduğu gibi ayrı debi sensörü de vardır, böylece her silindire ne kadar hava girdiği enjeksiyon beyni tarafından tespit edilir ve uygun karışım oluşacak şekilde yakıt miktarı ayarlanır. Hava akışında silindirler arasında dengesizlik olması durumunda gaz kelebekleri sayesinde her silindire eşit miktarda hava gönderilmesi sağlanır. Tahmin edilebileceği gibi motorun tüm elektronik kontrol sisteminin de değiştirilmesi gerekmektedir.

Genellikle otomobillerde egsoz sistemleri, performansa yönelik en mükemmel şekil ve iç yüzey özellikleri ile üretilmezler. Ucuz maliyetli ve seri üretimleri kolay olacak şekilde tasarlanırlar, çevre koruma ve gürültü azaltma amacıyla katalitik dönüştürücü, büyük ve yoğun susturucularla üretilirler. Egsoz gazi rahat ve hızlı dışarı atılmalıdır, ancak gereğinden

daha rahat dışarı çıkan gaz, motorun ihtiyaç duyduğu sıkışmayı sağlayamayacak ve motorun performansının düşmesine sebep olacaktır. Karşı basıncı az olan atmosferik bir motor özellikle alt devirlerde hızlı kalkış için gerekli torku üretmeyecek, ancak üst devirlerde standardından daha rahat olacaktır. Karşı basıncı fazla olan bir motor ise alt devirlerde ve ara devirlerde normalden daha yüksek tork üretebilecek, fakat yanmanın ve gaz atışının hızlandığı üst devirlerde motoru sıkıştırarak çalışmasını zorlaştıracak ve gücü düşürecektir.

Yan sanayide her otomobil için özel olarak tasarılanarak, en iyi performans ve en yüksek motor gücü için dinamometre üzerinde defalarca test edilen egzoz sistemleri, kendi içlerinde de farklılıklar göstermekle birlikte, genellikle fabrika standartı egzozlardan çok daha iyi sonuçlar verirler. Bunlar hem malzeme kalitesi, hem iç yüzey pürüzsüzlüğü, hem de performansa yönelik dizayn açısından standart egzozlardan daha itinalı ve profesyonel üretilmişlerdir. Boru genişliğinden susturucuların büyütülüğüne kadar her ayrıntı yoğun hesapların ve çok sayıda denemenin sonucudur. Bu sayede manifolddan itibaren başlayan komple performans egzoz sistemleri, %5'ten %10'a kadar artı güç sağlayabilmektedir.

Egzoz sisteminde ilk olarak, egzoz manifoldunun yapısı incelendiğinde, otomobilin silindirlerinin adedine göre bir çok koldan ayrı ayrı çıkan atık gazi çoğulkla bir veya iki ana boruda toplayarak bir veya iki çıkıştan dışarı atmak üzere tasarlanmış olduğu görülür. Bir egzoz manifoldunun randımanını etkileyen başlıca faktörler boruların şekli ve iç yüzeyidir. Bu boruların şekli, gazın ilk çıkış anında ilk karşı basınc noktasına gidinceye kadar hiçbir engelle veya keskin köşeye çarpmadan hızla ilerlemesi için uzun ve yumuşak kıvrımlı olmalıdır. İç yüzeyin mümkün olduğunda pürüzsüz olmasında fayda vardır. 4 veya daha fazla çıkışın birleşeceği ve tek boruya düşeceği nokta kuşkusuz ilk karşı basınc noktası olacaktır.

Standart sistemlerde buradan sonra, egzoz gazının yolu üzerinde bir orta susturucu bulunmaktadır. Performans sistemlerinde bulunmayan bu susturucunun amacı özellikle gürültünün engellenmesidir. Performans sistemleri bu aşamada karşı basıncı boruların dizayniyla sağlanırken, gürültüyü de olabildiği ölçüde malzeme kalitesiyle önlemeye gayret ederler. Ancak elbette performans için üretilmiş bir egzoz sisteminin gürültüsü standart bir sistemden daha fazla olacaktır.

Son susturucuya gelindiği zaman, standart sistemdeki susturucunun, genellikle gazı en az 2 kez 180 derece döndürdüğü veya arka arkaya birçok odaciğa sokarak sıratını ve gürültüsünü kestiği görülür. Performans egzozları ise son susturucuda kullandıkları elyaf yalıtm tabakasını standarttan daha kalın ve daha kaliteli tutarak gürültüyü keserken, gazı direkt ve

dolaysız bir şekilde dışarı atarak motoru rahatlatırlar.

Dolgu değişimi sırasında en büyük kayıp süpaplarda gerçekleşir. Buradaki kayıpları azaltmak için süpap çapları büyütülebilir. Hem emme hem egzoz süpaplарının kesitinin büyütülmesi hidro mekanik dirençleri azaltacaktır. Günümüzde motorlar çoğunlukla silindir başına dört süpaplı olarak dizayn edilmektedir. Silindir kafasına yerleştirilmiş süpaplарın çapları büyütüldükçe süpaplар arasında kalan bölge daralacaktır. Bir tarafından sıcak egzoz gazları bir tarafından soğuk taze dolgu geçen bu bölge yüksek ısıl gerilimlere maruz kalır. Orjinal silindir kapağındaki süpap yuvalarının genişletilmesiyle yapılan modifikasyonlar arada kalan bu bölgeyi ısıl gerilmeler açısından zorlayacaktır. Silindir kafasının daha etkin soğutulması gerekmektedir. Bu da silindir kafasının yeniden dizayn edilmesi anlamına geleceğinden çoğunlukla tercih edilmemektedir.

Süpap serbest kesitinin büyülüğu süpap kalkışları ile de ilgilidir. Süpap kalkışlarının artırılması süpap serbest kesitinin aynı oranda artması anlamına gelmez. Kısıtların en dar kesitte gerçekleşeceği düşünülürse, emme kanalı ve süpap sapı arasında kalan bölge süpap kafası ile silindir kapağı arasında kalan kesit alanından küçük olduğu sürece süpap kalkışı ne kadar artırılırsa artırılsın etkin kesit emme kanalı ile süpap sapı arasında kalan bölge olacaktır. Emme kanalının genişletilmesi yine silindir kafasının yeniden dizaynını gerektirir. Görüldüğü gibi tek başına süpap kalkışını artırmak bir işe yaramayacaktır.

Dolgu değişiminin iyileştirilmesi için en önemli faktör süpap zamanlamalarıdır. Süpaplарın avansla açılıp gecikmeyle kapanması yüksek devirlerde silindir içeresine alınabilen taze dolgu kütlesini artıracaktır. Ancak emme süpabının avansla açılması sırasında piston da Ü.O.N.ya yaklaşmaktadır. Süpap zamanlamasını kısıtlayan en büyük faktör, süpabın pistona çarpmaya riskidir. Süpaplарın hareketleri, atalet kuvvetleri sebebiyle istenildiği kadar hızlı olamamaktadır. Süpap ivmeleri çok yüksek değerlerdedir. Süpap kalkışının artırılması bu ivme değerlerini de artıracaktır. Yüksek devirlerde süpabın kam mili profili tam olarak takip edebilmesi için süpap yaylarının sertleştirilmesi gereklidir. Bu durum mekanik kayıpları artıracak ve kam mili tahrif sisteminde zorlanmalara yol açacaktır. Süpap hareketlerini keskinleştirmeye çalışmak süpap üzerine binen yükleri artıracaktır.

Süpap zamanlamalarının artırılması sayesine yüksek devirlerde dolgu değişimi sırasında oluşan gaz ataletlerinden faydalılarak volumetrik verim yükseltebilir. Ancak düşük devirlerde gaz ataletleri daha düşük seviyede olacağından geç kapanan emme süpabından, sıkıştırma prosesi sırasında silindirden emme kanalına doğru akış gerçekleşecektir, volumetrik

verim düşecek ve etkin bir sıkıştırma sağlananamayacaktır. Bu durum motorun ralanti devrinde stabil çalışmasına engel olacaktır. Gaz ataletlerinin yeterli olacağı seviyeye kadar ralanti devrinin yükseltilmesi gerekecektir. Eksantrik mili zamanına göre ralanti devri 1500-2000 d/d'ya kadar yükseltilerebilir. Bu nedenle performans kam milleri güç aralıklarına göre sınıflandırılır. Aracın kullanılacağı ortama göre uygulanacak kam mili belirlenir. Çizelge 4.1'de Kent kam üreticisinin Renault F4R, 2 lt silindir hacmine sahip motoru için ürettiği ve değişik etkin devir aralıklarına sahip kam milleri ve zamanlamaları görülmektedir.

Çizelge 4.1 Renault F4R motoru için üretilmiş Kent marka kam milleri özellikleri [2]

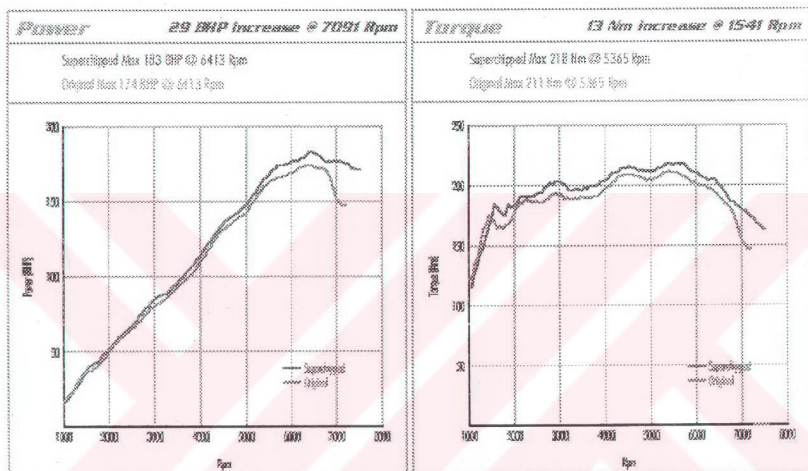
ETKİN DEVİR ARALIĞI	EMME			EGSOZ		
	Toplam Zaman	Açılma avansı	Kapanma gecikmesi	Toplam Zaman	Açılma avansı	Kapanma gecikmesi
2000 - 6500	260°	20°	60°	260°	60°	20°
3000 - 7500	286°	38°	68°	278°	67°	31°
3000 - 8000	314°	51°	83°	296°	74°	42°
4500 - 8500	316°	53°	83°	314°	81°	53°

Kam milleri piyasada bu devir aralıklarına göre cadde tipi ve yarış tipi olarak sınıflandırılmaktadır. Cadde tipi eksantrik milleri daha çok günlük kullanım şartlarında araçlarından daha fazla güç almak isteyen kullanıcılar için uygundur. Bu eksantrikler kullanıldığından ralanti devrinde fazla bir yükseltme yapmaya gerek kalmamaktadır. Ancak bu tip eksantrik millerin devir aralıkları 2000-6500 d/d arasında olduğundan bu uygulamanın yapıldığı motorları 6500 d/d'nin üzerinde çalıştırmanın bir faydası yoktur. 280° ve üstündeki eksantrik milleri yarış tipi eksantrikler olarak adlandırılır ve devir aralıkları 3000-8500 d/d arasındadır. Bu tip eksantrik mili uygulanmış motorların ralantileri oldukça kararsızdır, ralantilerinin yükseltilmesi gereklidir ve günlük kullanım şartlarına uygun değildir.

Günlük kullanım şartlarına uygun dizayn edilen motorların enjeksiyon ve ateşleme stratejileri çoğunlukla ekonomi üzerine yoğunlaşmıştır. Beyin kartografisi yeniden düzenlenerek motordan daha yüksek tork ve güç almak mümkündür. Kartografi değişimi sırasında genelde motor devride bir miktar yükselir. Dünyada bir çok firma bu konu üzzerinde çalışmaktadır ve değişik marka ve modeller için beyin yazılımları geliştirmektedir.

Şekil 4.1'de Superchip firması tarafından Renault Clio Sport da kullanılan F4R 730 motoru için geliştirilen enjeksiyon beyni yazılımının motor tork ve gücü üzerindeki etkileri

görmektedir. Yeni yazılımla motorun maksimum güç ürettiği devir olan 6400 d/d 10 BG kazanılmıştır. Daha önemlisi yeni yazılım, 7100 d/d yaklaşık 30 BG artı güç getirmiştir. Tork eğrisine bakacak olursak, 5400 d/d 7 Nm 1500 d/d 13 Nm tork kazancı olmuştur. Bu da aracın düşük devirlerden itibaren daha rahat hızlanacağı ve yüksek devirlerde daha performanslı olacağını göstermektedir. Bu güç ve tork artışının yanında yakıt tüketiminin de artacağı açıklanır.



Şekil 4.1 Superchip firmasının geliştirdiği enjeksiyon beyni yazılımının etkileri [6]

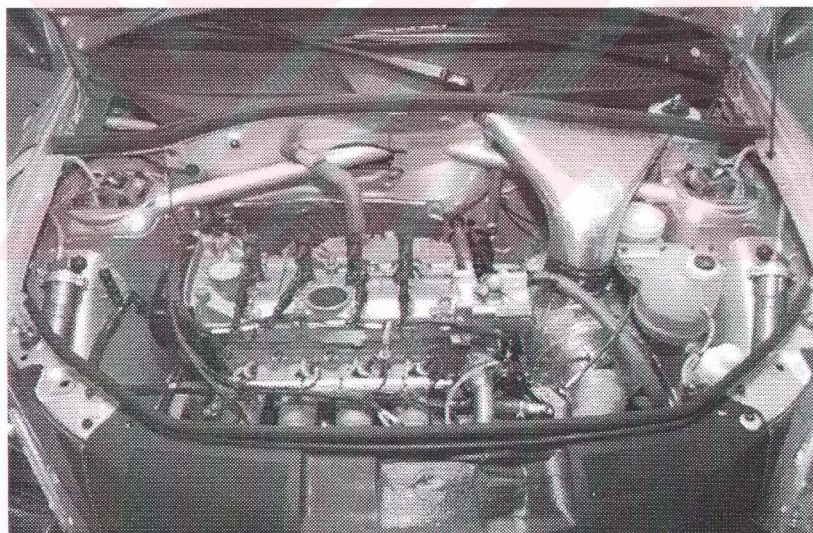
Unutulmamalıdır ki motor bir bütündür ve bir çok değişik parçadan oluşmaktadır. Tek bir parçasına yapılacak modifiye ile kısıtlı bir uyum ve performans sağlanabilir.

Best Servis Performans Centre tarafından gerçekleştirilen uygulamalara örnek olarak; Peugeot 106 GTI üzerindeki 1,6 lt hacmindeki motor üzerinde, açık hava filtresi ve çip uygulanması yapıldığında artı 16 BG alınabilmektedir. Orjinali 120 BG olan motor bu sayede 136 BG güç üretebilmektedir. Bu işleme ek olarak komple egzoz sistemi, cadde tipi eksantrik mili ile 150 BG maksimum güç elde edilebilmektedir. Cadde tipi eksantrik mili yerine yarış tipi eksantrik mili, yarış tipi pistonlar ve her silindire ayrı hava girişi sağlayan dört kanallı dört gaz kelebekli emme manifoldu (single intake) ve buna uygun enjeksiyon yazılımıyla 180 BG güç elde edilebilmektedir.

Yine Best Servis Performans Centre tarafından yapılan başka bir uygulama da Clio Sport

üzerindeki 2 lt hacminde 172 BG üretebilen motora açık hava filtresi, komple egsoz sistemi, yazılım ve cadde tipi eksantrik mili uygulaması ile 28 BG artı güç elde edilmiştir.

Yukarıda bahsedildiği gibi performans üzerine çalışan özel firmalar olduğu gibi üreticiler de yarışlara yönelik otomobil hazırlamak için çalışmaktadır. Renault, Clio'da kullanılan K4M, 1.6 lt hacmine sahip motoru üzerinde yaptığı çalışmalar sonucu 5750 d/d 110 BG ve 3750 d/d'de 151 Nm tork üreten motoru 8800 d/d'de 220 BG ve 7000 d/d'da 200 Nm maksimum tork üretir hale getirmiştir. Bu motora yarış tipi kam mili uygulanmıştır. Emme süpapları sıkıştırma prosesinin büyük bir bölümünde açık kalması nedeni ile düşen efektif sıkıştırma oranını artırmak için sıkıştırma oranı 12,5'e yükseltilmiştir. Egsoz sistemi tamamen değiştirilen motorda emme manifoldu kaldırılarak yerine her silindir için ayrı kelebek kutusu, enjektör ve debi sensörü içeren emme sistemi (single-intake) yerleştirilmiştir. Ayrıca hava girişi kaputun arka tarafına alınmış hava filtresi kutusu ve tüm emme hattı yalıtım malzemesi ile kaplanmıştır. Bunların kontrolü için Magneti Marelli marka yüksek performanslı ateşleme ve enjeksiyon kontrol sistemi kullanılmıştır.



Şekil 4.2 Renault Clio Super 1600'un motor bülmesi [5]

## KAYNAKLAR

- Gülen E., (1981), Motorlarda Dolgu Değişiminin Etüdü, Lisansüstü öğretimi enerji makinaları dalı tezi, İ.D.M.M.A.,İstanbul.
- Karagüle İ. ve Pala Z.,(1997), Microsoft Visual Basic Pro 5.0, Türkmen Kitabevi, İstanbul.
- Kolchin A. ve Demidov V.,(1984), Desing of Automotive Engines, MIR Publishers, Moscow
- Yavaşlıol İ.,(1988), İçten Yanmalı Motorlar, Eğitim Yayımları A.Ş.,İstanbul.'
- Robert Bosch GmbH,(1995), Motronic Engine Management, Automotive Equipment Division, Department For Technical Information ,Germany.
- Renault-MAİS A.Ş.,(2003), Mot. F4R Onarım Kataloğu, İstanbul.
- Renault-MAİS A.Ş.,(2003), Mot K4J ve K4M Onarım Kataloğu, İstanbul.
- Renault-MAİS A.Ş.,(2003), Renault Megane II 3 ve 5 Kapılı Elektro-Mekanik Eğitim, Renault Eğitim Merkezi, İstanbul.
- Renault-MAİS A.Ş.,(2003), Renault Megane II Elektro-Mekanik Eğitim II. Bölüm, Renault Eğitim Merkezi, İstanbul.
- Tofaş Oto Ticaret A.Ş.,(1998) Seviye Motor Eğitimi, Teknik Eğitim Merkezi Bursa.

## İNTERNET KAYNAKLARI

- [1] [www.bestservis.com](http://www.bestservis.com)
- [2] [www.colombo-bariani.com](http://www.colombo-bariani.com)
- [3] [www.honda.co.jp](http://www.honda.co.jp)
- [4] [www.kentcams.com](http://www.kentcams.com)
- [5] [www.performansteam.com](http://www.performansteam.com)
- [6] [www.superchips.co.uk](http://www.superchips.co.uk)
- [7] [www.turbobygarrett.com](http://www.turbobygarrett.com)

**ÖZGEÇMİŞ**

Doğum tarihi 19.11.1976

Doğum yeri İstanbul

Lise 1987-1995 Galatasaray Lisesi

Lisans 1996-2000 Yıldız Üniversitesi Mühendislik Fak.  
Makine Mühendisliği Bölümü

Yüksek Lisans 2000-2004 Yıldız Teknik Üniversitesi Fen Bilimleri Enstitüsü  
Makine Müh. Anabilim Dalı,  
Enerji makinaları Programı

**Çalıştığı kurum**

2000- Devam ediyor Renault-MAİS A.Ş.